



**UNIVERSITAS INDONESIA**

**PENGEMBANGAN AWAL MODEL ADVEKSI PENCEMAR  
LATERAL DUA DIMENSI MENGGUNAKAN *RUNGE-KUTTA*  
SEBAGAI SOLUSI DINAMIKA TEMPORAL**

**SKRIPSI**

**INDAH PURNAMASARI  
0 6 0 6 0 7 2 3 4 5**

**FAKULTAS TEKNIK  
PROGRAM STUDI TEKNIK SIPIL  
DEPOK  
JULI 2010**



UNIVERSITAS INDONESIA

**PENGEMBANGAN AWAL MODEL ADVEKSI PENCEMAR  
LATERAL DUA DIMENSI MENGGUNAKAN *RUNGE-KUTTA*  
SEBAGAI SOLUSI DINAMIKA TEMPORAL**

**SKRIPSI**

Diajukan sebagai salah satu syarat untuk memperoleh gelar Sarjana Teknik

**INDAH PURNAMASARI  
0 6 0 6 0 7 2 3 4 5**

**FAKULTAS TEKNIK  
PROGRAM STUDI TEKNIK SIPIL  
DEPOK  
JULI 2010**

## HALAMAN PERNYATAAN ORISINALITAS

Skripsi ini adalah hasil karya saya sendiri,  
dan semua sumber baik yang dikutip maupun dirujuk  
telah saya nyatakan dengan benar.

Nama : Indah Purnamasari  
NPM : 0606072345  
Tanda Tangan :   
Tanggal : 6 Juli 2010

## HALAMAN PENGESAHAN

Skripsi ini diajukan oleh :

Nama : Indah Purnamasari  
NPM : 0606072345  
Program Studi : Teknik Sipil  
Judul Skripsi : PENGEMBANGAN AWAL MODEL ADVEKSI  
PENCEMAR LATERAL DUA DIMENSI  
MENGGUNAKAN RUNGE-KUTTA SEBAGAI  
SOLUSI DINAMIKA TEMPORAL

telah berhasil dipertahankan di hadapan Dewan Penguji dan diterima sebagai bagian persyaratan yang diperlukan untuk memperoleh gelar Sarjana Teknik pada Program Studi Teknik Sipil, Fakultas Teknik, Universitas Indonesia.

### DEWAN PENGUJI

Pembimbing I : Ir. Herr Soeryantono, M.Sc., Ph.D.

Pembimbing II : RR. Dwinanti Rika M., ST., MT.

Penguji I : Dr.-Ing.Ir. Dwita Sutjiningsih, Dipl HE (

Penguji II : Toha Saleh, ST., MSc. (

Ditetapkan di : Depok  
Tanggal : 6 Juli 2010

## **KATA PENGANTAR/UCAPAN TERIMA KASIH**

Berkat rahmat Allah SWT penulisan skripsi saya dapat diselesaikan. Penulisan skripsi ini dilakukan dalam rangka memenuhi salah satu syarat untuk mencapai gelar Sarjana Teknik Jurusan Teknik Sipil pada Fakultas Teknik Universitas Indonesia. Saya menyadari bahwa tanpa bantuan, bimbingan dan semangat dari berbagai pihak, maka skripsi saya akan sangat sulit diselesaikan. Oleh karena itu, saya mengucapkan terima kasih kepada:

1. Bapak Ir. Herr Soeryantono, M.Sc, Ph.D dan Mbak Dwinanti Rika M, ST, MT selaku dosen pembimbing yang telah sabar membimbing saya, telah menyediakan waktu, pikiran, dan tenaganya untuk memberikan pemahaman dan arahan mulai dari awal penggerjaan skripsi ini sampai dengan selesai,
2. orang tua dan keluarga saya yang tak henti-hentinya memberikan dukungan serta doa kepada saya,
3. teman-teman air yang telah berjuang bersama, selalu memberikan semangat dimasa-masa yang sulit hingga detik-detik terakhir,
4. teman-teman lain dan orang-orang yang tak bisa disebutkan satu per satu yang telah banyak membantu saya dalam menyelesaikan skripsi ini.

Akhir kata, saya berharap Allah SWT berkenan membalaq segala kebaikan semua pihak yang telah membantu. Semoga skripsi ini bermanfaat bagi pembaca dan pengembangan ilmu pengetahuan.

Depok, 6 Juli 2010

Indah Purnamasari

## HALAMAN PERNYATAAN PERSETUJUAN PUBLIKASI TUGAS AKHIR UNTUK KEPENTINGAN AKADEMIS

---

Sebagai sivitas akademik Universitas Indonesia, saya yang bertanda tangan di bawah ini:

Nama : Indah Purnamasari  
NPM : 0606072345  
Program Studi : Teknik Sipil  
Departemen : Teknik Sipil  
Fakultas : Teknik  
Jenis karya : Skripsi

demi pengembangan ilmu pengetahuan, menyetujui untuk memberikan kepada Universitas Indonesia **Hak Bebas Royalti Noneksklusif (Non-exclusive Royalty-Free Right)** atas karya ilmiah saya yang berjudul :

**Pengembangan Awal Model Adveksi Pencemar Lateral Dua Dimensi Menggunakan Runge-Kutta Sebagai Solusi Dinamika Temporal**

beserta perangkat yang ada (jika diperlukan). Dengan Hak Bebas Royalti Noneksklusif ini Universitas Indonesia berhak menyimpan, mengalihmedia/formatkan, mengelola dalam bentuk pangkalan data (*database*), merawat, dan memublikasikan tugas akhir saya selama tetap mencantumkan nama saya sebagai penulis/pencipta dan sebagai pemilik Hak Cipta.

Demikian pernyataan ini saya buat dengan sebenarnya.

Dibuat di : Depok  
Pada tanggal : 6 Juli 2010

Yang menyatakan

  
(Indah Purnamasari)

## ABSTRAK

Nama : Indah Purnamasari  
Program Studi : Teknik Sipil  
Judul : PENGEMBANGAN AWAL MODEL ADVEKSI PENCEMAR LATERAL DUA DIMENSI MENGGUNAKAN *RUNGE-KUTTA* SEBAGAI SOLUSI DINAMIKA TEMPORAL

Perubahan konsentrasi pencemar di danau salah satunya diakibatkan oleh adanya mekanisme adveksi. Secara spasial, konsentrasi pencemar di tepi dan tengah danau berbeda sehingga perlu meninjaunya dalam arah lateral dua dimensi. Besar konsentrasi di tiap sel ruang di danau secara lateral dapat diperkirakan dengan menggunakan model matematika persamaan massa adveksi. Solusi persamaan matematika menggunakan metode numerik, yaitu metode beda hingga untuk menyelesaikan persamaan perubahan konsentrasi pencemar terhadap perubahan ruang dan metode *Runge-Kutta* untuk menyelesaikan persamaan perubahan konsentrasi pencemar terhadap perubahan waktu. Model numerik ini menggunakan *spreadsheet* sebagai simulator. Hasil dari simulator yang berupa grafik perubahan konsentrasi pencemar terhadap waktu kemudian divalidasi menggunakan perbandingan terhadap teori untuk mendapatkan kebenaran terhadap simulator yang telah dibuat.

Kata kunci:

Adveksi, pencemar, persamaan kekekalan massa, metode numerik, beda hingga, *Runge-Kutta*, *spreadsheet*.

## **ABSTRACT**

Name : Indah Purnamasari  
Study Program : Civil Engineering  
Title : PRELIMINARY STUDY ON DEVELOPMENT OF 2-DIMENSIONAL LATERAL ADVECTION MODEL OF POLLUTANT EMPLOYING *RUNGE-KUTTA* PROCEDURE TO SOLVE THE TEMPORAL DINAMIC

One mechanism of pollutant concentration variation in a lake is caused by advection phenomenon. In a space, pollutant concentration at the shore is different to the mid part of a lake, therefore it is necessary to determine the variation at 2-dimensional lateral. The concentration at each cell room of a lake laterally can be determined by employing 2-dimensional mass balance equation that include advection process. The solution is using numerical approaches, that are finite difference method to solve the spatial derivation and *Runge-Kutta* method to solve temporal dynamic. This model used spreadsheet as a simulator. Simulator results in the form of pollutant concentration change with respect to time or space, then it is validated by comparisons with the theoretical response.

Key words:

Advection, pollutant, mass equation, numerical approach, finite difference, *Runge-Kutta*, spreadsheet.

## DAFTAR ISI

HALAMAN JUDUL.....	i
HALAMAN PERNYATAAN ORISINALITAS.....	ii
HALAMAN PENGESAHAN.....	iii
KATA PENGANTAR .....	iv
LEMBAR PERSETUJUAN PUBLIKASI KARYA ILMIAH.....	v
ABSTRAK (INDONESIA).....	vi
ABSTRAK (INGGRIS) .....	vii
DAFTAR ISI.....	viii
DAFTAR TABEL.....	x
DAFTAR GAMBAR .....	xi
DAFTAR PUSTAKA .....	xvi
<b>BAB 1 PENDAHULUAN .....</b>	<b>1</b>
1.1. Latar Belakang .....	1
1.2. Maksud dan Tujuan.....	3
1.3. Ruang Lingkup Masalah .....	3
1.4. Metodologi .....	3
1.5. Sistematika Penulisan .....	4
<b>BAB 2 PERSAMAAN UMUM PENJALARAN PENCEMAR LATERAL DUA DIMENSI .....</b>	<b>6</b>
2.1. Mekanisme Adveksi.....	6
2.2. Mekanisme Dispersi.....	7
2.3. <i>Settling</i> .....	8
2.4. Reaksi Kimia.....	9
2.5. <i>Loading</i> .....	10
2.6. Penurunan Persamaan <i>Mass Balance</i> .....	10
2.7. Respon Teoritis terhadap Berbagai Pembebatan.....	12
<b>BAB 3 PENGEMBANGAN MODEL NUMERIK PERSAMAAN PENJALARAN PENCEMAR LATERAL DUA DIMENSI BERDASARKAN MEKANISME ADVEKSI.....</b>	<b>15</b>
3.1. Metode Numerik .....	15
3.2. Metode Beda Hingga ( <i>Finite Difference</i> ) .....	16
3.3. Metode <i>Runge-Kutta</i> .....	17
3.4. Pengembangan Metode Numerik pada Model Penjalaran Pencemar Dua Dimensi dengan Mekanisme Adveksi .....	18
<b>BAB 4 SIMULASI MODEL DENGAN SPREADSHEET.....</b>	<b>25</b>
4.1. Tinjauan Umum .....	25
4.2. Skenario, Proses Simulasi, dan Analisa Hasil.....	25
4.2.1. Skenario Danau .....	26
4.2.2. Skenario Pencemar.....	30

4.2.3. Skenario Beban Pencemar.....	31
4.2.3.1. Beban Pencemar Konstan terhadap Waktu .....	31
4.2.3.2. Beban Pencemar Berubah terhadap Waktu.....	52
4.2.4. Analisis Hasil .....	72
<b>BAB 5 KESIMPULAN DAN SARAN.....</b>	<b>73</b>
5.1. Kesimpulan .....	73
5.2. Saran.....	73

## LAMPIRAN



## **DAFTAR TABEL**

Tabel 4.1. Data Hidrolik Danau Kenanga.....	27
Tabel 4.2. Data Hidrolik Danau Kenanga.....	28



## DAFTAR GAMBAR

Gambar 1.1 Diagram alir metodologi penelitian.....	4
Gambar 2.1 Transport massa dari tinta dalam ruang dan waktu melalui (a) adveksi dan (b) difusi .....	7
Gambar 2.2 Perbedaan (a) difusi dan (b) dispersi.....	8
Gambar 2.3 Settling diformulakan sebagai mass flux yang melewati permukaan air-sedimen .....	9
Gambar 2.4 Pembebanan dan responnya untuk <i>impulse loading</i> .....	12
Gambar 2.5 Pembebanan dan responnya untuk <i>step loading</i> .....	13
Gambar 2.6 Pembebanan dan responnya untuk <i>linearly increasing loading</i> .....	13
Gambar 2.7 Pembebanan dan responnya untuk <i>exponentially decaying loading</i> .....	13
Gambar 2.8 Pembebanan dan responnya untuk <i>sinusoidal loading function</i> .....	14
Gambar 3.1 Diskritasi pada danau .....	18
Gambar 3.2 Diskritasi berdasarkan interval jarak dan waktu beserta arah alirannya.....	18
Gambar 3.3 Diagram alir proses simulasi pada model .....	20
Gambar 3.4 Implementasi spreadsheet pada formulasi numerik model untuk parameter beban (W) .....	21
Gambar 3.5 Implementasi spreadsheet pada formulasi numerik model untuk parameter kecepatan dalam arah x (u) .....	21
Gambar 3.6 Implementasi spreadsheet pada formulasi numerik model untuk parameter kecepatan dalam arah y (v) .....	22
Gambar 3.7 Implementasi spreadsheet pada formulasi numerik model untuk parameter reaksi (k) .....	22
Gambar 3.8 Implementasi spreadsheet pada formulasi numerik model untuk parameter <i>settling</i> (vs) .....	23
Gambar 3.9 Implementasi spreadsheet pada formulasi numerik model untuk sebaran konsentrasi pencemar pada saat <i>steady</i> .....	23
Gambar 3.10 Implementasi spreadsheet pada formulasi numerik model untuk sebaran konsentrasi pencemar pada saat <i>unsteady</i> .....	24
Gambar 4.1 Proses simulasi pada model .....	26
Gambar 4.2 Danau Kenanga Kampus UI, Depok beserta inlet dan outletnya (tampak atas) ( <i>sumber: data danau 200809_PKAP, 2009</i> ).....	27
Gambar 4.3 Gambar diskritasi Danau Kenanga.....	28
Gambar 4.4 Gambar diskritasi Danau Kenanga untuk dimodelkan.....	28
Gambar 4.5 Sebaran kecepatan aliran air Danau Kenanga arah x (m/hari) .....	29
Gambar 4.6 Sebaran kecepatan aliran air Danau Kenanga arah y (m/hari) .....	29
Gambar 4.7 Sebaran kecepatan aliran air danau Kenanga arah sumbu x yang masuk ke dalam perhitungan model (m/hari) .....	29
Gambar 4.8 Sebaran kecepatan aliran air danau Kenanga arah sumbu y yang masuk ke dalam perhitungan model (m/hari) .....	30
Gambar 4.9 Sebaran konsentrasi TSS di danau Kenanga (g/m <sup>3</sup> ).....	31
Gambar 4.10 Grafik pembebanan konstan di sel (i,j) .....	32
Gambar 4.11 Sebaran konsentrasi TSS dalam kondisi <i>steady</i> (g/m <sup>3</sup> ) .....	32

Gambar 4.12 Grafik respon konsentrasi TSS terhadap waktu di sel (i, j+1) akibat pembebangan konstan.....	33
Gambar 4.13 Grafik respon konsentrasi TSS terhadap waktu di sel (i, j) akibat pembebangan konstan.....	33
Gambar 4.14 Grafik respon konsentrasi TSS terhadap waktu di sel (i+5, j+1) akibat pembebangan konstan.....	34
Gambar 4.15 Grafik respon konsentrasi TSS terhadap waktu di sel (i, j-1) akibat pembebangan konstan.....	34
Gambar 4.16 Grafik respon konsentrasi TSS terhadap waktu di sel (i+5, j-1) akibat pembebangan konstan.....	35
Gambar 4.17 Grafik respon konsentrasi TSS terhadap waktu di sel (i+1, j+2) akibat pembebangan konstan.....	35
Gambar 4.18 Grafik respon konsentrasi TSS terhadap waktu di sel (i+2, j+2) akibat pembebangan konstan.....	36
Gambar 4.19 Grafik respon konsentrasi TSS terhadap waktu di sel (i+3, j+2) akibat pembebangan konstan.....	36
Gambar 4.20 Grafik respon konsentrasi TSS terhadap waktu di sel (i+4, j+2) akibat pembebangan konstan.....	37
Gambar 4.21 Grafik respon konsentrasi TSS terhadap waktu di sel (i+5, j+2) akibat pembebangan konstan.....	37
Gambar 4.22 Grafik respon konsentrasi TSS terhadap waktu di sel (i+1, j-2) akibat pembebangan konstan.....	38
Gambar 4.23 Grafik respon konsentrasi TSS terhadap waktu di sel (i+2, j-2) akibat pembebangan konstan.....	38
Gambar 4.24 Grafik respon konsentrasi TSS terhadap waktu di sel (i+3, j-2) akibat pembebangan konstan .....	39
Gambar 4.25 Grafik respon konsentrasi TSS terhadap waktu di sel (i+4, j-2) akibat pembebangan konstan.....	39
Gambar 4.26 Grafik respon konsentrasi TSS terhadap waktu di sel (i+1, j) akibat pembebangan konstan.....	40
Gambar 4.27 Grafik respon konsentrasi TSS terhadap waktu di sel (i+2, j) akibat pembebangan konstan.....	40
Gambar 4.28 Grafik respon konsentrasi TSS terhadap waktu di sel (i+3, j) akibat pembebangan konstan.....	41
Gambar 4.29 Grafik respon konsentrasi TSS terhadap waktu di sel (i+4, j) akibat pembebangan konstan .....	41
Gambar 4.30 Grafik respon konsentrasi TSS terhadap waktu di sel (i+5, j) akibat pembebangan konstan.....	42
Gambar 4.31 Grafik respon konsentrasi TSS terhadap waktu di sel (i+1, j+1) akibat pembebangan konstan.....	42
Gambar 4.32 Grafik respon konsentrasi TSS terhadap waktu di sel (i+2, j+1) akibat pembebangan konstan.....	43
Gambar 4.33 Grafik respon konsentrasi TSS terhadap waktu di sel (i+3, j+1) akibat pembebangan konstan.....	43
Gambar 4.34 Grafik respon konsentrasi TSS terhadap waktu di sel (i+4, j+1) akibat pembebangan konstan.....	44
Gambar 4.35 Grafik respon konsentrasi TSS terhadap waktu di sel (i+1, j-1)	

akibat pembebangan konstan.....	44
Gambar 4.36 Grafik respon konsentrasi TSS terhadap waktu di sel (i+2, j-1) akibat pembebangan konstan.....	45
Gambar 4.37 Grafik respon konsentrasi TSS terhadap waktu di sel (i+3, j-1) akibat pembebangan konstan.....	45
Gambar 4.38 Grafik respon konsentrasi TSS terhadap waktu di sel (i+4, j-1) akibat pembebangan konstan.....	46
Gambar 4.39 Grafik respon konsentrasi terhadap waktu .....	46
Gambar 4.40 Sebaran konsentrasi pencemar secara lateral 2D pada saat t=0 hari akibat pembebangan konstan.....	47
Gambar 4.41 Sebaran konsentrasi pencemar secara lateral 2D pada saat t=6 hari akibat pembebangan konstan.....	47
Gambar 4.42 Sebaran konsentrasi pencemar secara lateral 2D pada saat t=11 hari akibat pembebangan konstan.....	48
Gambar 4.43 Sebaran konsentrasi pencemar secara lateral 2D pada saat t=19 hari akibat pembebangan konstan.....	48
Gambar 4.44 Sebaran konsentrasi pencemar secara lateral 2D pada saat t=21 hari akibat pembebangan konstan.....	49
Gambar 4.45 Sebaran konsentrasi pencemar secara lateral 2D pada saat t=25 hari akibat pembebangan konstan.....	49
Gambar 4.46 Sebaran konsentrasi pencemar secara lateral 2D pada saat t=32 hari akibat pembebangan konstan.....	50
Gambar 4.47 Sebaran konsentrasi pencemar secara lateral 2D pada saat t=40 hari akibat pembebangan konstan.....	50
Gambar 4.48 Sebaran konsentrasi pencemar secara lateral 2D pada saat t=50 hari akibat pembebangan konstan.....	51
Gambar 4.49 Sebaran konsentrasi pencemar secara lateral 2D pada saat t=60 hari akibat pembebangan konstan.....	51
Gambar 4.50 Grafik pembebangan berubah terhadap waktu di sel (i,j) .....	52
Gambar 4.51 Sebaran konsentrasi TSS dalam kondisi <i>steady</i> ( $\text{g}/\text{m}^3$ ).....	53
Gambar 4.52 Grafik respon konsentrasi TSS terhadap waktu di sel (i, j+1) akibat pembebangan berubah terhadap waktu.....	53
Gambar 4.53 Grafik respon konsentrasi TSS terhadap waktu di sel (i, j) akibat pembebangan berubah terhadap waktu.....	54
Gambar 4.54 Grafik respon konsentrasi TSS terhadap waktu di sel (i+5, j+1) akibat pembebangan berubah terhadap waktu.....	54
Gambar 4.55 Grafik respon konsentrasi TSS terhadap waktu di sel (i, j-1) akibat pembebangan berubah terhadap waktu.....	55
Gambar 4.56 Grafik respon konsentrasi TSS terhadap waktu di sel (i+5, j-1) akibat pembebangan berubah terhadap waktu.....	55
Gambar 4.57 Grafik respon konsentrasi TSS terhadap waktu di sel (i+1, j+2) akibat pembebangan berubah terhadap waktu.....	56
Gambar 4.58 Grafik respon konsentrasi TSS terhadap waktu di sel (i+2, j+2) akibat pembebangan berubah terhadap waktu.....	56
Gambar 4.59 Grafik respon konsentrasi TSS terhadap waktu di sel (i+3, j+2) akibat pembebangan berubah terhadap waktu.....	57
Gambar 4.60 Grafik respon konsentrasi TSS terhadap waktu di sel (i+4, j+2)	

akibat pembebangan berubah terhadap waktu .....	57
Gambar 4.61 Grafik respon konsentrasi TSS terhadap waktu di sel (i+5, j+2) akibat pembebangan berubah terhadap waktu .....	58
Gambar 4.62 Grafik respon konsentrasi TSS terhadap waktu di sel (i+1, j-2) akibat pembebangan berubah terhadap waktu .....	58
Gambar 4.63 Grafik respon konsentrasi TSS terhadap waktu di sel (i+2, j-2) akibat pembebangan berubah terhadap waktu .....	59
Gambar 4.64 Grafik respon konsentrasi TSS terhadap waktu di sel (i+3, j-2) akibat pembebangan berubah terhadap waktu .....	59
Gambar 4.65 Grafik respon konsentrasi TSS terhadap waktu di sel (i+4, j-2) akibat pembebangan berubah terhadap waktu .....	60
Gambar 4.66 Grafik respon konsentrasi TSS terhadap waktu di sel (i+1, j) akibat pembebangan berubah terhadap waktu .....	60
Gambar 4.67 Grafik respon konsentrasi TSS terhadap waktu di sel (i+2, j) akibat pembebangan berubah terhadap waktu .....	61
Gambar 4.68 Grafik respon konsentrasi TSS terhadap waktu di sel (i+3, j) akibat pembebangan berubah terhadap waktu .....	61
Gambar 4.69 Grafik respon konsentrasi TSS terhadap waktu di sel (i+4, j) akibat pembebangan berubah terhadap waktu .....	62
Gambar 4.70 Grafik respon konsentrasi TSS terhadap waktu di sel (i+5, j) akibat pembebangan berubah terhadap waktu .....	62
Gambar 4.71 Grafik respon konsentrasi TSS terhadap waktu di sel (i+1, j+1) akibat pembebangan berubah terhadap waktu .....	63
Gambar 4.72 Grafik respon konsentrasi TSS terhadap waktu di sel (i+2, j+1) akibat pembebangan berubah terhadap waktu .....	63
Gambar 4.73 Grafik respon konsentrasi TSS terhadap waktu di sel (i+3, j+1) akibat pembebangan berubah terhadap waktu .....	64
Gambar 4.74 Grafik respon konsentrasi TSS terhadap waktu di sel (i+4, j+1) akibat pembebangan berubah terhadap waktu .....	64
Gambar 4.75 Grafik respon konsentrasi TSS terhadap waktu di sel (i+1, j-1) akibat pembebangan berubah terhadap waktu .....	65
Gambar 4.76 Grafik respon konsentrasi TSS terhadap waktu di sel (i+2, j-1) akibat pembebangan berubah terhadap waktu .....	65
Gambar 4.77 Grafik respon konsentrasi TSS terhadap waktu di sel (i+3, j-1) akibat pembebangan berubah terhadap waktu .....	66
Gambar 4.78 Grafik respon konsentrasi TSS terhadap waktu di sel (i+4, j-1) akibat pembebangan berubah terhadap waktu .....	66
Gambar 4.79 Sebaran konsentrasi pencemar secara lateral 2D pada saat t=0 hari akibat pembebangan berubah terhadap waktu .....	67
Gambar 4.80 Sebaran konsentrasi pencemar secara lateral 2D pada saat t=1,5 hari akibat pembebangan berubah terhadap waktu .....	68
Gambar 4.81 Sebaran konsentrasi pencemar secara lateral 2D pada saat t=3,5 hari akibat pembebangan berubah terhadap waktu .....	68
Gambar 4.82 Sebaran konsentrasi pencemar secara lateral 2D pada saat t=6,5 hari akibat pembebangan berubah terhadap waktu .....	69
Gambar 4.83 Sebaran konsentrasi pencemar secara lateral 2D pada saat t=14,5	

hari akibat pembebangan berubah terhadap waktu.....	69
Gambar 4.84 Sebaran konsentrasi pencemar secara lateral 2D pada saat t=21 hari akibat pembebangan berubah terhadap waktu.....	70
Gambar 4.85 Sebaran konsentrasi pencemar secara lateral 2D pada saat t=30 hari akibat pembebangan berubah terhadap waktu.....	70
Gambar 4.86 Sebaran konsentrasi pencemar secara lateral 2D pada saat t=40 hari akibat pembebangan berubah terhadap waktu.....	71
Gambar 4.87 Sebaran konsentrasi pencemar secara lateral 2D pada saat t=58 hari akibat pembebangan berubah terhadap waktu.....	71



## **BAB 1**

### **PENDAHULUAN**

#### **1.1. Latar Belakang**

Air merupakan sumber kehidupan. Tanpa air, manusia tidak akan dapat bertahan hidup. Laju pertumbuhan penduduk yang tinggi di suatu daerah atau kota umumnya terdapat permasalahan dalam penyediaan air bersih. Hal ini disebabkan pertambahan jumlah penduduk tidak diimbangi dengan pertambahan jumlah air baku dengan kuantitas dan kualitas yang baik. Kuantitas dan kualitas air semakin mengalami penurunan. Untuk itu, dibutuhkan suatu pengelolaan air yang dapat menjadi solusi terhadap permasalahan tersebut.

Air yang mengalir di permukaan dapat tercemar selama perjalannya menuju badan air sehingga ketika memasuki badan air, kondisi air telah tercemar. Salah satu badan air adalah danau. Air dalam danau pun dapat menjadi alternatif solusi terhadap permasalahan penyediaan air bersih ketika air yang ditampung atau keluar dari danau memenuhi baku mutu air untuk dapat digunakan oleh manusia. Air yang masuk ke dalam danau kemudian akan mengalami berbagai mekanisme di dalamnya. Melalui berbagai mekanisme tersebut, diharapkan air yang keluar dari danau memiliki kualitas yang baik, yaitu konsentrasi pencemarnya telah sesuai dengan baku mutu air sehingga dapat digunakan oleh manusia. Untuk memenuhi hal tersebut, maka diperlukan pengelolaan air dengan melakukan kontrol terhadap konsentrasi pencemar. Dengan mengetahui berbagai mekanisme yang terjadi di dalam suatu danau, maka akan dapat ditentukan perlakuan yang tepat terhadap air tersebut sehingga kontrol pun dapat berjalan.

Untuk memudahkan penelitian terhadap berbagai mekanisme yang terjadi di dalam suatu badan air, maka dibuat permodelan yang sesuai dengan kondisi danau di lapangan. Kontrol terhadap konsentrasi pencemar dapat dilakukan dengan menggunakan simulator, yaitu melalui pendekatan numerik dari model yang merupakan representasi dari berbagai mekanisme

yang terjadi di dalam danau dan spesifik karakteristik pencemarnya. Dengan simulator tersebut, maka berbagai perlakuan akan lebih mudah dilakukan dan didapat perlakuan yang tepat untuk menghasilkan konsentrasi pencemar yang sesuai dengan baku mutu air.

Oleh karena penelitian dilakukan di dalam danau, maka dibuat permodelan danaunya. Berbagai kondisi alamiah danau menjadi batasan di dalam pembuatan modelnya. Aliran air di dalam danau dianggap *steady nonuniform*, yaitu aliran tidak berubah menurut waktu, tetapi berubah menurut ruang. Dilihat dari karakteristik danau yang luas dan tidak terlalu dalam (dangkal), maka penelitian dilakukan dengan meninjauanya dalam arah dua dimensi secara lateral, yaitu arah x dan y.

Konsentrasi pencemar akan bervariasi menurut ruang. Konsentrasi pencemar di tengah danau akan berbeda dengan konsentrasi pencemar yang berada di tepi danau. Selain itu, aliran pencemar bersifat *unsteady*, yaitu terjadi konsentrasi pencemar akan berubah terhadap waktu. Variasi sebaran konsentrasi pencemar ini disebabkan adanya mekanisme adveksi dan dispersi yang terjadi di dalam danau. Mekanisme yang nantinya dibahas dalam tugas akhir ini adalah spesifik hanya adveksi, yaitu perubahan konsentrasi pencemar karena adanya kecepatan air. Terdapat pencemar yang karakteristiknya lebih kepada mekanisme adveksi. Selain itu, hal ini sebagai awalan dalam mengembangkan model transport pencemar secara lateral dua dimensi. Belum adanya pengembangan model transport pencemar dalam arah dua dimensi menyebabkan penulis tertarik untuk mengkajinya dalam tugas akhir ini.

Setelah dilakukan pemodelan terhadap kondisi danau tersebut dan didapat suatu penyelesaian secara numerik, maka hasil dari simulator tersebut perlu divalidasi. Validasi dilakukan melalui perbandingan hasil tersebut dengan teori yang ada. Hal ini bertujuan memperoleh kebenaran terhadap pengembangan model yang telah dilakukan.

## 1.2. Maksud dan Tujuan

Maksud dan tujuan yang ingin dicapai dalam penyusunan tugas akhir ini antara lain sebagai berikut:

1. mengembangkan sebuah model transport pencemar berdasarkan berbagai mekanisme yang dapat terjadi dalam danau, lebih ditekankan pada mekanisme adveksi dan aliran air dua dimensi secara lateral, dengan menggunakan *spreadsheet*,
2. melakukan validasi terhadap output simulator dengan membandingkannya dengan kewajaran teori yang ada.

## 1.3. Ruang Lingkup Masalah

Batasan permasalahan yang akan dikaji dalam tugas akhir ini antara lain sebagai berikut:

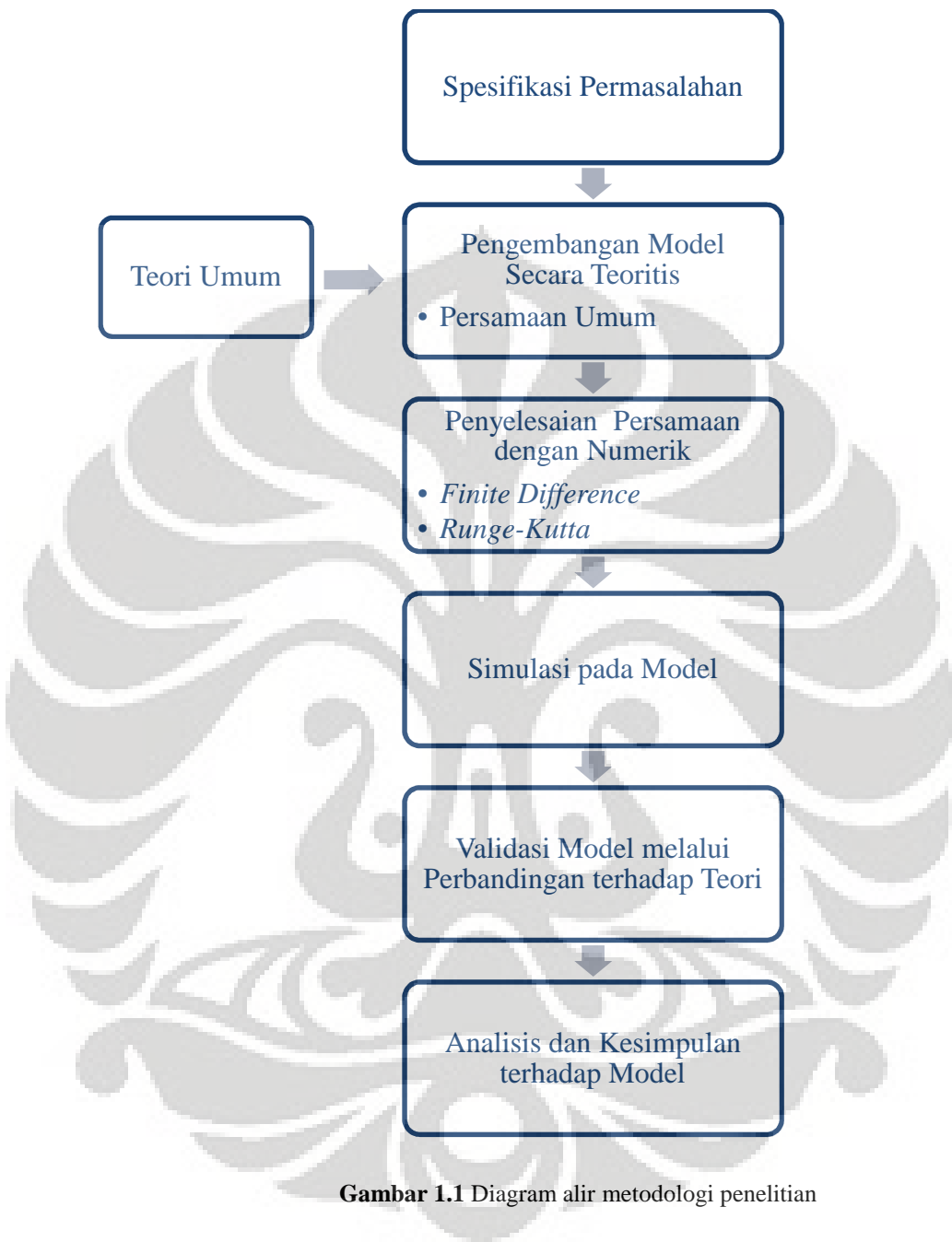
1. aliran air yang ditinjau dalam danau bersifat *steady nonuniform* dalam arah dua dimensi secara lateral, yaitu arah x dan y,
2. mekanisme yang ditinjau pengaruhnya terhadap pengembangan model berupa mekanisme adveksi.

## 1.4. Metodologi

Dalam bab I dijelaskan mengenai latar belakang, maksud dan tujuan, pembatasan masalah, serta metodologi dan sistematika penulisan tugas akhir ini. Pengembangan model transport pencemar harus memenuhi landasan teori yang berlaku sesuai dengan batasan permasalahan yang telah ditentukan. Hal ini akan dijelaskan dalam bab II. Selain itu, dijelaskan pula penguraian rumus sehingga didapat persamaan umum untuk model yang dikaji.

Dari persamaan umum yang telah didapat dalam bab II kemudian akan diformulasikan kedalam metode numerik. Hal ini dijelaskan dalam bab III. Pada bab IV akan dijelaskan simulasi terhadap pengembangan model yang telah dibuat. Kemudian hasil dari simulasi tersebut akan divalidasi dengan membandingkannya terhadap teori yang ada. Hal ini dilakukan untuk memperoleh kebenaran terhadap model yang telah dibuat. Selanjutnya

adalah kesimpulan beserta saran terhadap keseluruhan kajian yang telah dibahas pada bab-bab sebelumnya. Hal ini akan dijelaskan dalam bab V.



Gambar 1.1 Diagram alir metodologi penelitian

## 1.5. Sistematika Penulisan

Secara umum, sistematika penyusunan penulisan tugas akhir ini dibagi ke dalam lima bab, yaitu Pendahuluan; Persamaan Umum Penjalaran Pencemar Lateral Dua Dimensi; Pengembangan Model Numerik Persamaan Penjalaran Pencemar Lateral Dua Dimensi Berdasarkan Mekanisme

Adveksi; Simulasi Model dengan *Spreadsheet* dan Validasi melalui Pembanding Teori, serta Analisa Hasil Simulasi; Kesimpulan dan Saran.

Dalam bab I, Pendahuluan, akan dijelaskan latar belakang masalah, maksud dan tujuan, ruang lingkup batasan masalah dan asumsi yang digunakan, serta metodologi dan sistematika penulisan. Dalam bab II, Persamaan Umum Penjalaran Pencemar Lateral Dua Dimensi, akan dijelaskan penguraian rumus dari persamaan dasar, yaitu hukum kekekalan massa sehingga terbentuk persamaan umum dari model yang nantinya akan digunakan. Dalam bab III, Pengembangan Model Numerik Persamaan Penjalaran Pencemar Lateral Dua Dimensi Berdasarkan Mekanisme Adveksi, akan dijelaskan penyelesaian dengan metode numerik terhadap persamaan umum pengembangan model yang telah didapat dalam bab II dengan menggunakan *finite difference* dan *Runge-Kutta*.

Dalam bab IV, Simulasi Model dengan *Spreadsheet* dan Validasi melalui Pembanding Teori, serta Analisa Hasil Simulasi, akan dijelaskan simulasi terhadap model dengan menggunakan *spreadsheet* kemudian melakukan validasi terhadap hasil *outputnya* dengan membandingkannya terhadap teori yang ada, serta melakukan analisa hasil simulasi. Dalam bab V, Kesimpulan dan Saran, akan dijelaskan kesimpulan dan saran terhadap analisa dan keseluruhan pembahasan yang telah dilakukan dalam tugas akhir ini.

## BAB 2

# PERSAMAAN UMUM PENJALARAN PENCEMAR LATERAL

## DUA DIMENSI

### 2.1. Mekanisme Adveksi

Banyak jenis gerak angkutan materi air didalam badan-badan air alami. Energi angin dan gaya berat memberi gerakan pada air yang dapat menyebabkan terjadinya proses *transport massa*. Dalam kasus ini, gerakan didalam sistem dapat dibagi menjadi dua bagian umum, yaitu adveksi dan difusi.

Adveksi dihasilkan dari aliran yang bersifat *unidirectional* satu arah dan tidak mengubah identitas dari substansi yang dipindahkan. Pada Gambar 2.1 (a) adveksi membawa materi dari satu posisi ke posisi lain di dalam ruang. Contoh sederhana perpindahan secara primer dari gerak angkutan materi air jenis ini adalah aliran air yang melalui *outlet* danau. Besar nilai *mass flux* ( $J$ ) suatu *transport massa* akibat adveksi secara matematis dapat ditulis sebagai berikut.

$$J = u \cdot c \quad (2.1)$$

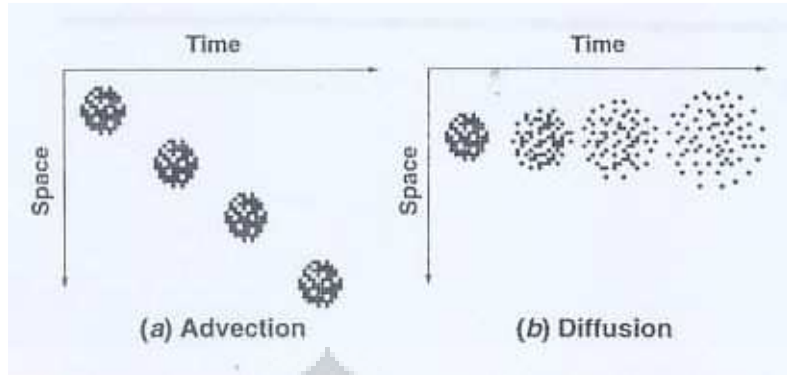
dimana:

$$J = \text{mass flux } (\text{ML}^{-2}\text{T}^{-1})$$

$$u = \text{kecepatan aliran } (\text{LT}^{-1})$$

$$c = \text{konsentrasi } (\text{ML}^{-3})$$

Difusi mengacu pada pergerakan massa akibat gerakan pencampuran air atau *mixing*. Gerakan jenis ini dapat dilihat pada Gambar 2.1 (b), yaitu materi terlihat menyebar dan menipis terhadap waktu, mengabaikan gerakan pusat massa. Dalam skala mikroskopis, difusi molekuler dihasilkan dari gerak acak *Brownian* pada molekul air. Jenis yang sama, yaitu gerak acak yang terjadi pada skala lebih besar akibat pusaran arus disebut *difusi turbulen*. Kedua jenis difusi tersebut memiliki kecenderungan meminimalisasi *gradient*, yaitu perbedaan konsentrasi, dengan memindahkan massa dari daerah berkonsentrasi tinggi menuju berkonsentrasi rendah.



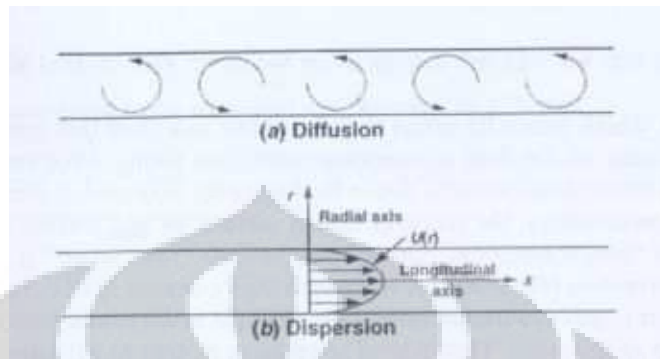
**Gambar 2.1** Transport massa dari tinta dalam ruang dan waktu melalui  
(a) adveksi dan (b) difusi

Pembagian kedalam dua jenis gerakan ini, yaitu adveksi dan difusi dipengaruhi oleh skala fenomena yang dimodelkan. Misalnya, gerakan air dalam sebuah *estuary* dapat dikategorikan sebagai adveksi secara primer dalam skala waktu yang pendek, pasang surutnya air menyebabkan air bergerak *unidirectionally* ke menuju atau keluar dari *estuary*. Apabila masalah permodelan fokus kepada efek polusi bakteri dari *short-term stormwater*, maka karakteristik perpindahan sebagai adveksi adalah mutlak dilakukan. Dalam skala waktu yang lebih lama, bagaimanapun, pergerakan air bolak-balik dalam suatu siklus dapat secara primer diklasifikasikan sebagai difusi. Dalam banyak kasus perpindahan, dapat dilakukan kombinasi dari dua jenis tersebut, dengan titik tekan bergantung pada skala masalah yang terjadi. (Steven C. Chapra, *Surface Water-Quality Modeling*, 1997)

## 2.2. Mekanisme Dispersi

Poin dari pembahasan ini adalah difusi akibat gerak acak dari air (Gambar 2.2a). Dispersi adalah suatu mekanisme yang dapat menyebabkan suatu polutan menyebar di dalam air. Namun, berbeda dengan difusi, dispersi terjadi akibat adanya perbedaan kecepatan di dalam ruang. Sebagai contoh adalah tinta yang masuk (terlarut) ke dalam air yang mengalir melalui pipa (Gambar 2.2b). Dalam kasus ini molekul tinta yang berada di dekat dinding pipa akan bergerak lebih lambat dibandingkan molekul yang berada di tengah. Ini diakibatkan adanya perbedaan gradien kecepatan, profil kecepatan aliran yang berbentuk parabolik atau akibat adanya gaya geser

(shear) pada dinding pipa. Akibat dari perbedaan kecepatan ini, molekul tinta akan tersebar atau tercampur sepanjang sumbu pipa, sejajar arah aliran air. Dispersi ini dapat direpresentasikan ke dalam proses difusi *Fickian*.



Gambar 2.2 Perbedaan (a) difusi dan (b) dispersi

Pada tahun 1855, Adolf Fick, seorang *physiologist* menunjukkan model berdasarkan difusi:

$$J_x = -D \frac{dc}{dx} \quad (2.2)$$

dimana:

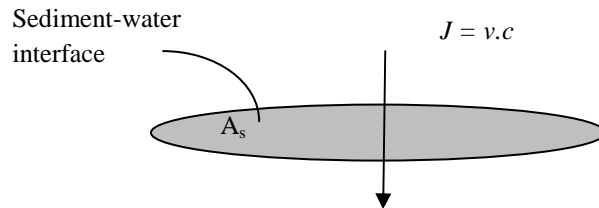
$J_x$  = mass flux dalam arah sumbu x ( $ML^{-2}T^{-1}$ )

D = koefisien difusi ( $L^2T^{-1}$ )

Model ini, yaitu persamaan (2.2) kemudian disebut sebagai *Fick's first law*, bahwa *mass flux* berbanding lurus dengan gradien (dalam hal ini derivatif atau perubahan kecepatan) konsentrasi. Tanda negatif dalam persamaan (2.2) di atas untuk memastikan bahwa proses perpindahan *mass flux* terjadi dalam arah yang benar, yaitu dari daerah yang berkonsentrasi tinggi menuju daerah yang berkonsentrasi lebih rendah. (Steven C. Chapra, *Surface Water-Quality Modeling*, 1997)

### 2.3. Settling

*Settling* dapat diformulasikan sebagai mass flux yang melalui permukaan area dari sedimen air. Hal ini dapat dilihat pada Gambar 2.3.



**Gambar 2.3** Settling diformulakan sebagai mass flux yang melewati permukaan air-sedimen

$$\text{Settling} = vA_s c \quad (2.3)$$

dimana:

$v$  = kecepatan settling ( $\text{LT}^{-1}$ )

$A_s$  = area permukaan sedimen ( $\text{L}^2$ )

$c$  = konsentrasi ( $\text{ML}^{-1}$ )

Oleh karena volume sama dengan perkalian antara kedalaman ( $H$ ) dan area permukaan danau ( $A_s$ ), maka persamaan (2.3) juga dapat dituliskan dalam reaksi orde satu, sebagai:

$$\text{Settling} = k_s Vc \quad (2.4)$$

dimana:

$k_s$  = orde satu kecepatan settling konstan  $= \frac{v}{H}$  ( $\text{T}^{-1}$ )

(Steven C. Chapra, *Surface Water-Quality Modeling*, 1997)

## 2.4. Reaksi Kimia

Meskipun ada banyak cara berbeda dalam memformulasikan reaksi polutan dari air alami, umumnya menggunakan representasi orde pertama.

$$\text{Reaksi} = kM \quad (2.5)$$

dimana:

$k$  = koefisien reaksi orde pertama ( $\text{T}^{-1}$ )

Massa berbanding lurus dengan volume dan konsentrasi polutan, sehingga persamaan (2.5) dapat dituliskan sebagai:

$$\text{Reaksi} = kVc \quad (2.6)$$

(Steven C. Chapra, *Surface Water-Quality Modeling*, 1997)

## 2.5. Loading

Massa yang memasuki danau berasal dari berbagai sumber, dapat berbeda jalannya. Misalnya, massa yang dibawa oleh *effluent* tanaman dan cabang sungai memasuki sebuah danau pada satu titik di kelilingnya. Ini akan berbeda dengan sumber dari atmosfer, misalnya *presipitasi*, yang penyebarannya melalui udara dan permukaan air di permukaan danau. Posisi dan cara masuk *loading* penting dalam kasus *incompletely mixed* suatu badan air, misalnya sungai dan *estuary*, ini tidak penting diperhatikan dalam *completely mixed system*. Hal ini karena semua input didefinisikan secara cepat dan langsung terdistribusi melalui volume. Oleh karena itu, dalam kasus ini, semua *loading* disamaratakan ke dalam persamaan sebagai berikut:

$$\text{Loading} = W(t) \quad (2.7)$$

dimana  $W(t)$  = kecepatan dari *mass loading* ( $\text{MT}^{-1}$ ) dan  $(t)$  mengindikasikan bahwa *loading* merupakan fungsi dari waktu. Selain itu, loading juga dapat direpresentasikan dalam sebuah perkalian:

$$\text{Loading} = Q c_{in}(t) \quad (2.8)$$

dimana  $Q$  = debit dari semua sumber air yang memasuki sistem ( $\text{L}^3\text{T}^{-1}$ ) dan  $c_{in}$  = rata-rata konsentrasi *inflow* dari berbagai sumber ( $\text{ML}^{-3}$ ). Dengan catatan aliran diasumsikan konstan terhadap waktu dan *loading* yang dihasilkan memiliki konsentrasi *inflow* yang bervariasi. (Steven C. Chapra, *Surface Water-Quality Modeling*, 1997)

## 2.6. Penurunan Persamaan Mass Balance

Hukum kekekalan massa:

$$\frac{\partial \rho}{\partial t} + u \frac{\partial \rho}{\partial x} + v \frac{\partial \rho}{\partial y} + w \frac{\partial \rho}{\partial z} + \rho \left( \frac{\partial u}{\partial x} + \frac{\partial v}{\partial y} + \frac{\partial w}{\partial z} \right) = 0 \quad (2.9)$$

dimana:

$u$  = kecepatan aliran dalam arah  $x$  ( $\text{LT}^{-1}$ )

$v$  = kecepatan aliran dalam arah  $y$  ( $\text{LT}^{-1}$ )

$z$  = kecepatan aliran dalam arah  $z$  ( $\text{LT}^{-1}$ )

$\rho$  = massa jenis ( $\text{ML}^{-3}$ )

$t$  = waktu (T)

Untuk aliran dua dimensi dan *steady*, maka hukum kekekalan massa di atas menjadi lebih sederhana, yaitu:

$$\frac{\partial \rho}{\partial t} + u \frac{\partial \rho}{\partial x} + v \frac{\partial \rho}{\partial y} = 0 \quad (2.10)$$

Oleh karena  $\rho$  = massa jenis =  $\frac{m}{V}$  dan  $c$  = konsentrasi reaktan =  $\frac{m}{V}$ ,

sehingga persamaan (2.10) di atas dapat ditulis menjadi:

$$\frac{\partial c}{\partial t} + u \frac{\partial c}{\partial x} + v \frac{\partial c}{\partial y} = 0 \quad (2.11)$$

$$\frac{\partial c}{\partial t} = -u \frac{\partial c}{\partial x} - v \frac{\partial c}{\partial y} \quad (2.12)$$

Persamaan di atas adalah persamaan umum kekekalan massa untuk fluida secara umum (aliran dua dimensi). Dalam pembahasan mengenai kualitas air di dalam suatu *control volume*, kekekalan massanya tidak sesederhana seperti persamaan (2.12), tetapi dalam *control volume* tersebut juga terjadi berbagai proses lain, dapat berupa *settling*, reaksi, dispersi, dan *load*, sehingga persamaan umumnya menjadi:

$$\frac{\partial c}{\partial t} = -U \frac{\partial c}{\partial x} + \frac{\partial}{\partial x} \left( D \frac{\partial c}{\partial x} \right) - S - R + W \quad (2.10)$$

dimana:

$c$  = konsentrasi reaktan

$t$  = waktu

$x$  = jarak

$U$  = kecepatan adveksi dalam arah x

$D$  = koefisien *mixing* dan dispersi

$S$  = *source* dan *sink* karena proses *settling* dan *resuspension*

$R$  = reaksi dari proses kimia dan biologi

$W$  = *loading* eksternal

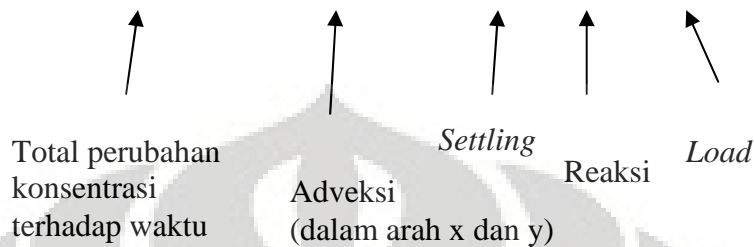
Penelitian yang dilakukan dalam tugas akhir ini adalah fokus terhadap mekanisme adveksi. Mekanisme dispersi tidak diikutsertakan dalam pembahasan selanjutnya, sehingga persamaan (2.13) menjadi:

$$\frac{\partial c}{\partial t} = -U \frac{\partial c}{\partial x} + S + R + W \quad (2.14)$$

Dengan menjadikan persamaan (2.14) berlaku untuk kasus dua dimensi secara lateral, kemudian memasukkan rumus untuk *settling* (S) dan

*reaksi* ( $R$ ), serta mengkalikan semua ruas dengan *volume* ( $\nabla$ ), maka akan didapat persamaan baru, yaitu:

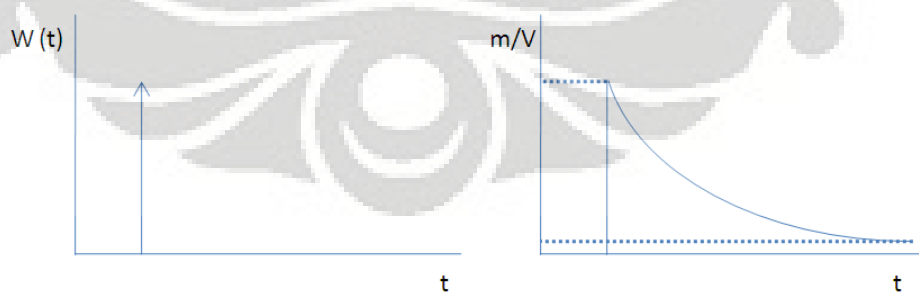
$$\nabla \frac{\partial c}{\partial t} = -\nabla u \frac{\partial c}{\partial x} - \nabla v \frac{\partial c}{\partial y} - v_s A_s c - k \nabla c + W \quad (2.15)$$



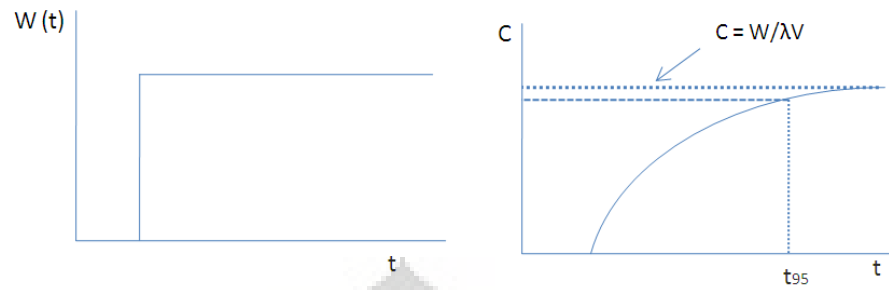
Persamaan (2.15) di atas adalah persamaan umum yang akan digunakan lebih lanjut dalam pembahasan berikutnya.

## 2.7. Respon Teoritis terhadap Berbagai Pembebaan

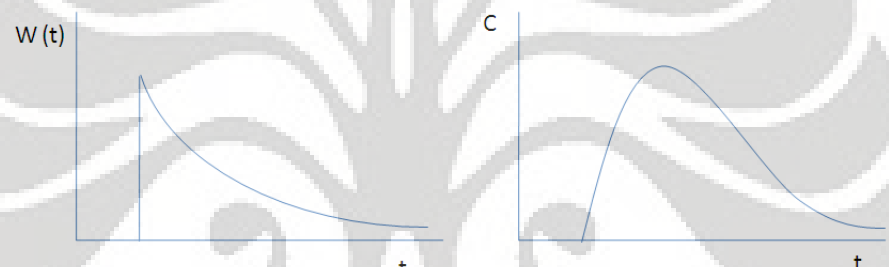
Dalam solusi khusus, ada hubungan antara solusi khusus tersebut dengan spesifik pembebaan  $W(t)$ . Beberapa pembebaan dan responnya secara teoritis dapat dibagi menjadi lima jenis, yaitu *pulse*, *step*, *linear*, *eksponensial*, dan *sinusoidal*. Selain lima tersebut, ada juga jenis pembebaan lain berupa *real*. Masing-masing jenis pembebaan tersebut beserta respon yang akan terjadi (berdasarkan teori) adalah sebagai berikut.



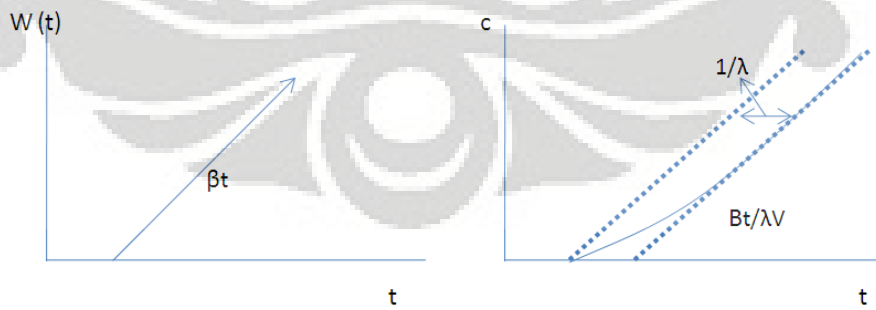
**Gambar 2.4** Pembebaan dan responnya untuk *impulse loading*. (Steven C. Chapra, *Surface Water-Quality Modeling*, 1997)



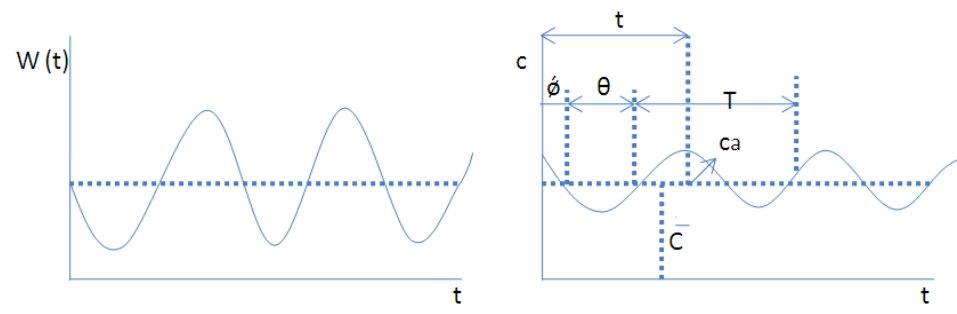
**Gambar 2.5** Pembebaan dan responnya untuk *step loading*. (Steven C. Chapra, *Surface Water-Quality Modeling*, 1997)



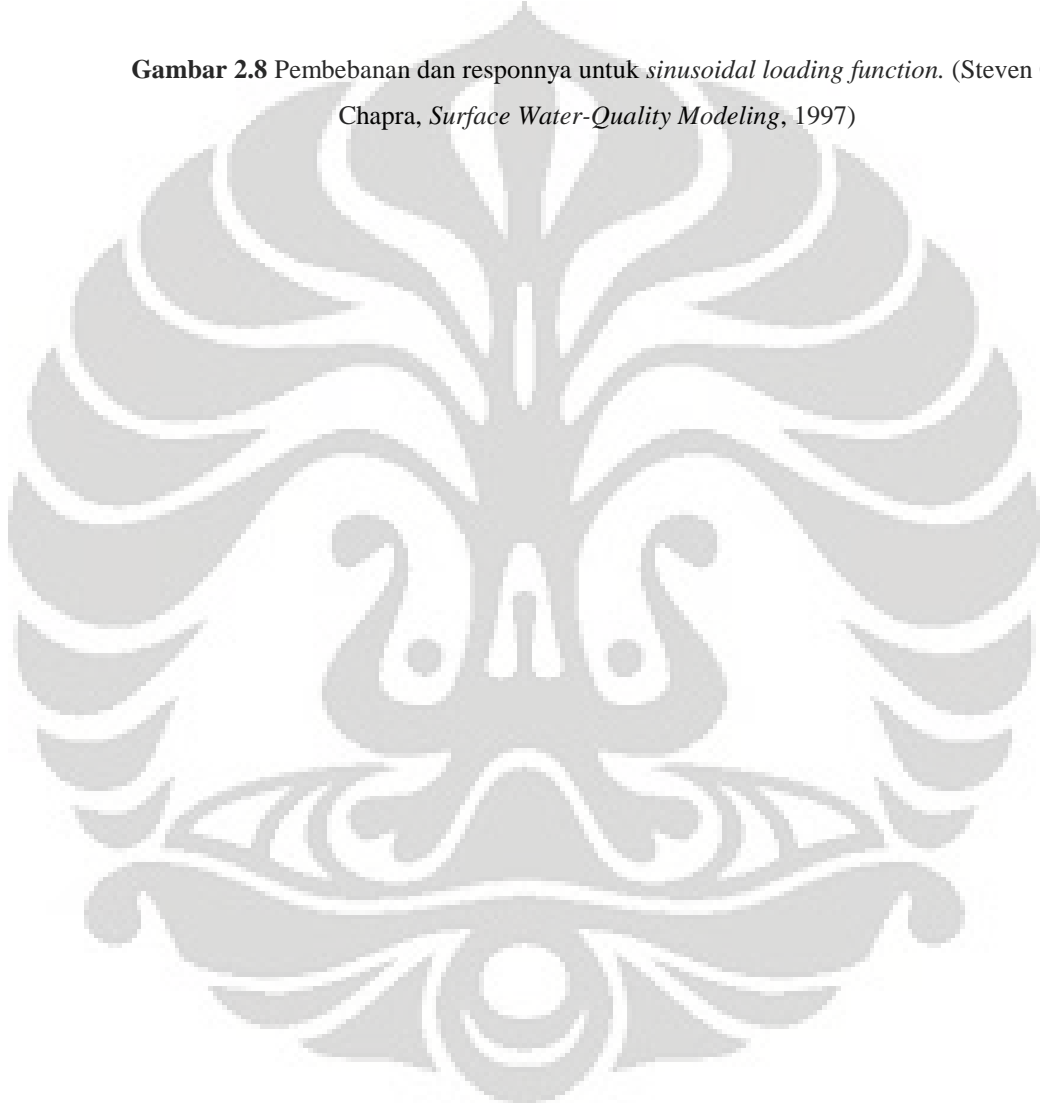
**Gambar 2.6** Pembebaan dan responnya untuk *linearly increasing loading*. (Steven C. Chapra, *Surface Water-Quality Modeling*, 1997)



**Gambar 2.7** Pembebaan dan responnya untuk *exponentially decaying loading*. (Steven C. Chapra, *Surface Water-Quality Modeling*, 1997)



**Gambar 2.8** Pembebaan dan responnya untuk *sinusoidal loading function*. (Steven C. Chapra, *Surface Water-Quality Modeling*, 1997)



## **BAB 3**

# **PENGEMBANGAN MODEL NUMERIK PERSAMAAN PENJALARAN PENCEMAR LATERAL DUA DIMENSI BERDASARKAN MEKANISME ADVEKSI**

### **3.1. Metode Numerik**

Dalam melakukan permodelan kualitas air akan terdapat banyak model matematika mulai dari yang sederhana hingga yang memiliki tingkat kerumitan yang tinggi. Untuk model matematika yang sederhana dapat dengan mudah diselesaikan menggunakan metode analitik, yaitu metode penyelesaian model matematika dengan rumus-rumus aljabar yang sudah ditetapkan atau baku. Penyelesaian metode analitik ini sangat terbatas dan akan menjadi rumit apabila model matematika yang akan diselesaikan memiliki tafsiran geometri yang tidak lagi sederhana dan berorde tinggi. Hal ini akan menjadi masalah karena persoalan permodelan di lapangan seringkali melibatkan bentuk-bentuk dengan tingkat kerumitan yang tinggi.

Selain metode analitik, terdapat pula metode numerik. Metode numerik adalah metode yang digunakan untuk memecahkan model matematika dengan memformulasikannya ke dalam bentuk aritmatika biasa, yaitu penambahan, pengurangan, pembagian, dan perkalian. Hasil dari metode numerik selalu berupa angka, tidak seperti hasil pada metode analitik yang masih dapat berupa persamaan. Melalui metode numerik, didapat solusi yang menghampiri atau mendekati solusi eksak, sehingga akan terdapat selisih diantara keduanya. Oleh karena itu, solusi numerik disebut solusi hampiran (*approximation*). Selisih yang dihasilkan antara solusi hampiran dan solusi eksak disebut *error*. *Error* ini dapat diperkecil nilainya dengan menggunakan parameter komputasi yang lebih kecil, misalnya parameter yang berupa interval jarak atau interval waktu. (Rinaldi Munir, Metode Numerik Edisi Revisi, 2006).

### 3.2. Metode Beda Hingga (*Finite Difference*)

Metode beda hingga merupakan metode yang digunakan untuk menghitung turunan numerik dalam menyelesaikan suatu permodelan yang memiliki bentuk persamaan diferensial. Metode beda hingga yang akan dijelaskan dalam tugas akhir ini adalah deret Taylor, yang diklasifikasikan ke dalam tiga bentuk, yaitu:

a. *forward difference*

$$f(x_0 + \Delta x) = f(x_0) + \Delta x \frac{df(x_0)}{dx} + \varepsilon_{truncation} \quad (3.1)$$

sehingga

$$\frac{df(x_0)}{dx} = \frac{f(x_0 + \Delta x) - f(x_0)}{\Delta x} + \varepsilon_{truncation} \quad (3.2)$$

atau

$$\frac{df(x_0)}{dx} \approx \frac{f(x_0 + \Delta x) - f(x_0)}{\Delta x} \quad (3.3)$$

b. *backward difference*

$$f(x_0 - \Delta x) = f(x_0) - \Delta x \frac{df(x_0)}{dx} + \varepsilon_{truncation} \quad (3.4)$$

$$\frac{df(x_0)}{dx} \approx \frac{f(x_0) - f(x_0 - \Delta x)}{\Delta x} \quad (3.5)$$

c. *central difference*

$$f(x_0 + \Delta x) = f(x_0) + \Delta x \frac{df(x_0)}{dx} + \varepsilon_{truncation}$$

$$f(x_0 - \Delta x) = f(x_0) - \Delta x \frac{df(x_0)}{dx} + \varepsilon_{truncation}$$


---

$$f(x_0 + \Delta x) - f(x_0 - \Delta x) = 2\Delta x \frac{df(x_0)}{dx} \quad (3.6)$$

sehingga

$$\frac{df(x_0)}{dx} \approx \frac{f(x_0 + \Delta x) - f(x_0 - \Delta x)}{2\Delta x} \quad (3.7)$$

(ClasNote-numerical-differentiation)

Pengembangan model dilakukan dengan menggunakan metode *finite difference* (*Taylor Series*), *first derivative*, *forward difference* terhadap ruas kanan pada rumus yang telah didapat dalam Bab II.

Dalam bab II telah didapat persamaan umum yang menjadi dasar dalam pembahasan selanjutnya, yaitu:

$$\nabla \frac{\partial c}{\partial t} = -\nabla u \frac{\partial c}{\partial x} - \nabla v \frac{\partial c}{\partial y} - v_s A_s c - k \nabla c + W \quad (3.8)$$

### 3.3. Metode Runge-Kutta

Metode *Runge-Kutta* (atau RK) adalah bagian dari metode numerik yang digunakan dalam permodelan kualitas air. Metode *Runge-Kutta* mempunyai rumus umum sebagai berikut:

$$c_{i+1} = c_i + \emptyset h \quad (3.9)$$

dimana  $\emptyset = \text{slope/ kemiringan}$  (atau disebut *increment function*). Metode *Euler* adalah orde pertama *Runge-Kutta* dengan  $\emptyset = f(t_i, c_i)$ . Sebagai tambahan, metode *Heun* (tanpa iterasi korektor) merupakan orde dua dari *Runge-Kutta* (Chapra and Canale, 1988).

Kebanyakan metode *Runge-Kutta* yang digunakan adalah orde empat yang memiliki bentuk:

$$c_{i+1} = c_i + \left[ \frac{1}{6} (k_1 + 2k_2 + 2k_3 + k_4) \right] h \quad (3.10)$$

dimana:

$$k_1 = f(t_i, c_i)$$

$$k_2 = f\left(t_i + \frac{1}{2}h, c_i + \frac{1}{2}hk_1\right)$$

$$k_3 = f\left(t_i + \frac{1}{2}h, c_i + \frac{1}{2}hk_2\right)$$

$$k_4 = f(t_i + h, c_i + hk_3)$$

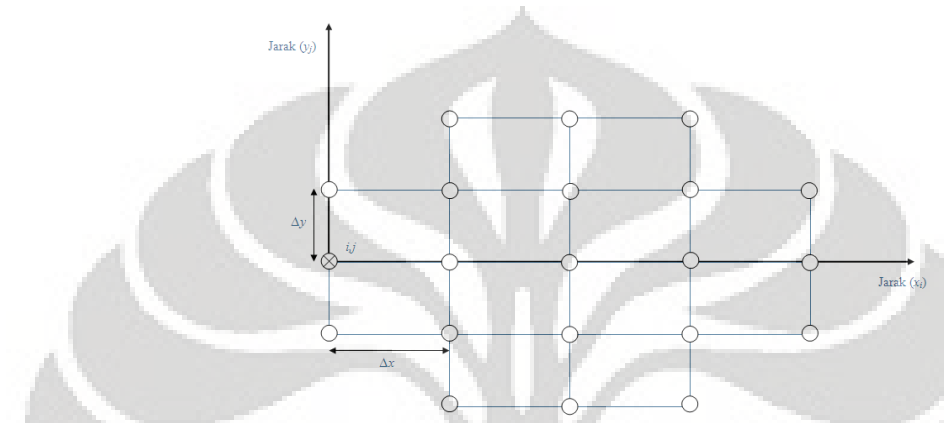
Fungsi tersebut untuk menyelesaikan persamaan diferensial yang memuat nilai  $t$  dan  $c$ , yaitu:

$$f(t, c) = \frac{dc}{dt}(t, c) \quad (3.11)$$

Orde empat *Runge-Kutta* sama dengan pendekatan *Heun* dalam estimasi slope berkali-kali yang dikembangkan pada perubahan rata-rata slope dalam interval. (Steven C. Chapra, *Surface Water-Quality Modeling*, 1997)

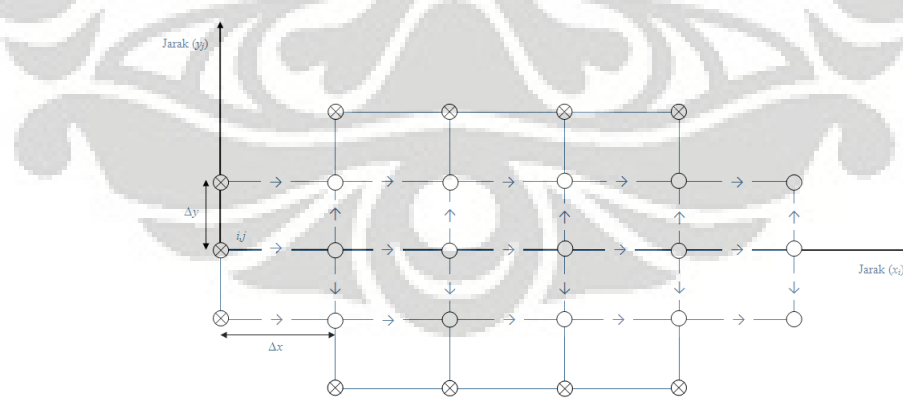
### 3.4. Pengembangan Metode Numerik pada Model Penjalaran Pencemar Dua Dimensi dengan Mekanisme Adveksi

Tahap awal tinjauan terhadap danau yang dikaji adalah melakukan diskritasi. Untuk menyederhanakan, dilakukan diskritasi pada danau dengan membagi danau menjadi sel-sel sebanyak 12 buah (Gambar 3.1). Diskritasi ini dibentuk mendekati kondisi danau di lapangan.



**Gambar 3.1** Diskritasi pada danau

Pada danau terdapat interval jarak dalam dua arah yaitu  $\Delta x$  dan  $\Delta y$ . tahapan selanjutnya adalah menentukan arah aliran. Arah aliran ini nantinya yang akan berpengaruh terhadap konsentrasi pencemar di tiap-tiap selnya (mekanisme adveksi).



**Gambar 3.2.** Diskritasi berdasarkan interval jarak dan waktu beserta arah alirannya

Keterangan:

- ⊗ diketahui
- tidak diketahui

Terdapat kondisi batas, yaitu *boundary condition*, yaitu di sel-sel yang berada di tepi. Hal ini disebabkan sangat kecilnya kecepatan aliran di tepi danau sehingga dapat dianggap tidak ada aliran di sel-sel yang berada di tepi danau. Selain itu, terdapat pula *initial condition*, yaitu kondisi ketika  $t = 0$ . Konsentrasi pencemar di tiap titik akan dapat diketahui untuk waktu berikutnya ( $t + \Delta t$ ) atau bisa disebut kondisi konsentrasi pencemar yang *unsteady* dengan menggunakan metode *Runge Kutta* orde 4.

Dalam bab II telah didapat persamaan umumnya, yaitu:

$$\nabla \frac{\partial c}{\partial t} = -\nabla u \frac{\partial c}{\partial x} - \nabla v \frac{\partial c}{\partial y} - v_s A_s c - k \nabla c + W$$

persamaan tersebut adalah persamaan dasar (*governing equation*) yang parameter-parameter didalamnya merupakan data hipotetik. Persamaan diferensial parsial pada ruas kanan diselesaikan dengan menggunakan metode beda hingga (*finite difference*), yaitu *backward difference* sehingga didapat persamaan:

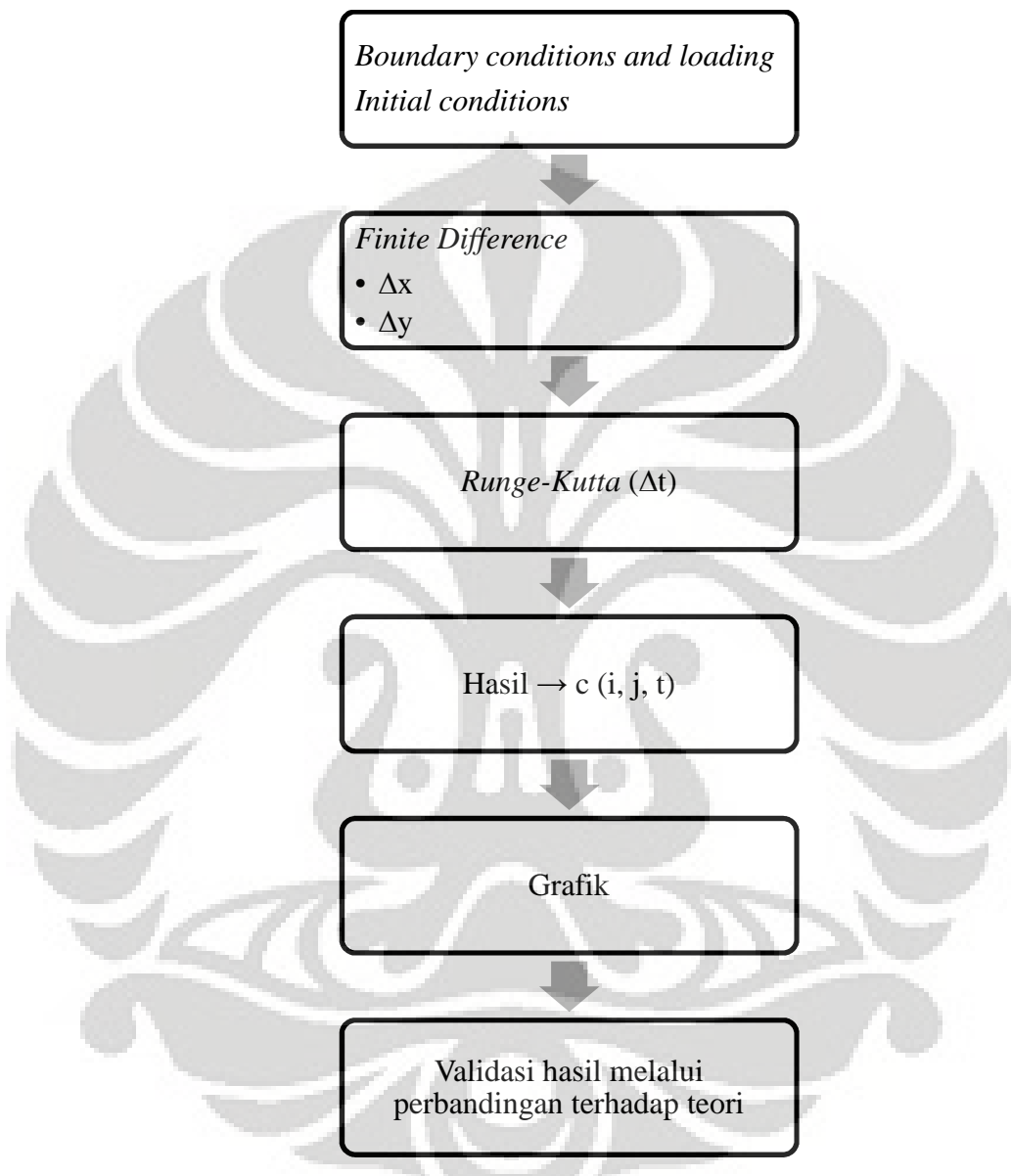
$$\frac{c_{i,j}^{t+1} - c_{i,j}^t}{\Delta t} = \frac{W^t}{\nabla} - u \frac{c_{i,j}^t - c_{i-1,j}^t}{\Delta x} - v \frac{c_{i,j}^t - c_{i,j-1}^t}{\Delta y} - \frac{k c_{i,j}^t}{\nabla} - \frac{v_s A_s c_{i,j}^t}{\nabla} \quad (3.12)$$

Dengan menggunakan persamaan diatas, terlebih dahulu melihat pada kondisi *steady*, yaitu tidak ada berubahan konsentrasi pencemar terhadap waktu, maka akan didapat besaran konsentrasi pencemar untuk semua sel. Setelah mengetahui besaran konsentrasi pada saat  $t = 0$ , maka selanjutnya adalah menyelesaikan persamaan di ruas kanan untuk mengetahui besarnya konsentrasi di tiap sel dalam waktu selanjutnya (interval  $\Delta t$ ) dengan menggunakan metode *Runge Kutta*.

Hasil dari perhitungan *Runge Kutta* ini kemudian diplot dalam bentuk grafik dengan berbagai tipe pembebanan. Grafik yang dihasilkan tersebut harus divalidasi terhadap grafik respon pembebanan dalam buku Chapra untuk mendapatkan kebenaran terhadap hasil yang ada.

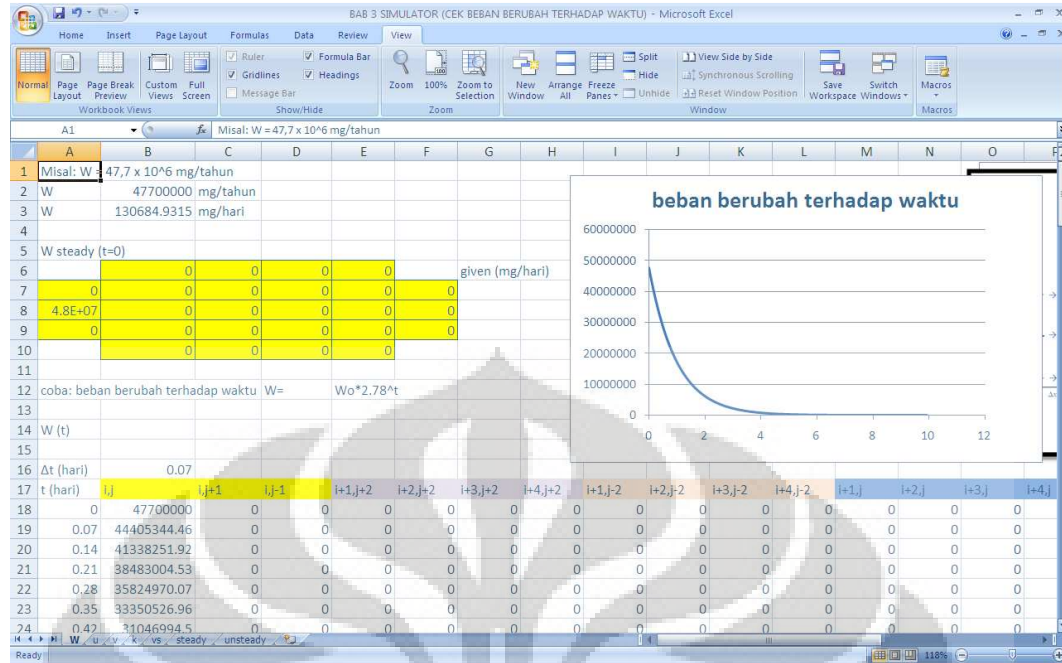
Model yang telah diformulasikan secara numerik, kemudian akan diselesaikan dengan menggunakan alat bantu berupa *spreadsheet*. Hal ini untuk memudahkan permodelan dalam melakukan perhitungan sehingga hasilnya dapat disajikan dalam bentuk berupa grafik yang diinginkan.

Proses yang akan dilakukan selanjutnya yaitu melakukan simulasi pada model. Tahap-tahap yang akan dilakukan pada proses simulasi dapat dilihat pada bagan berikut ini.

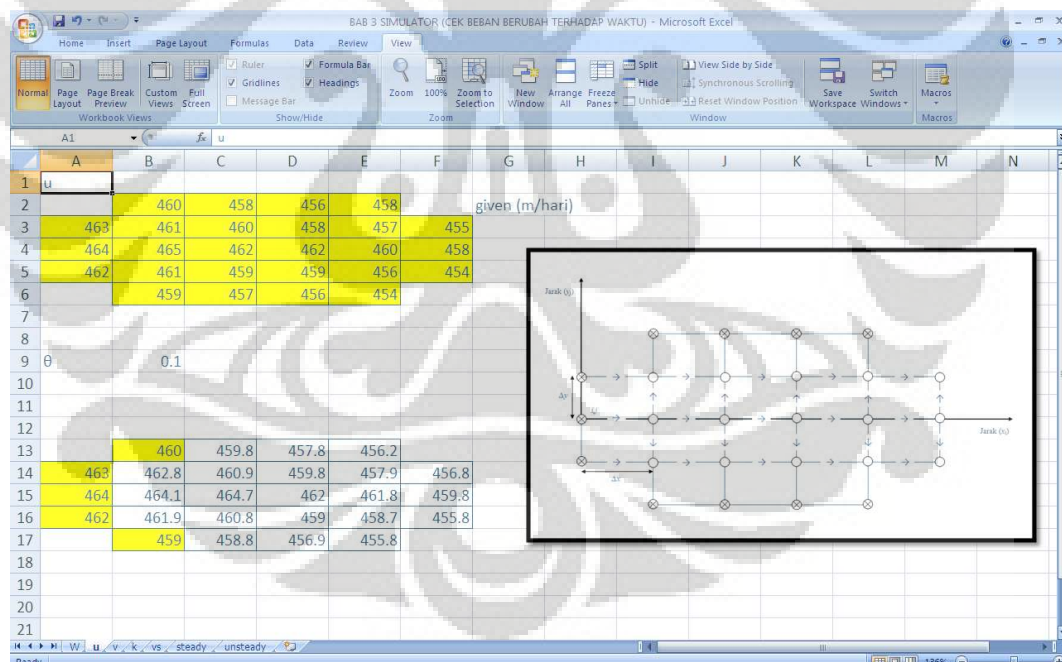


**Gambar 3.3** Diagram alir proses simulasi pada model

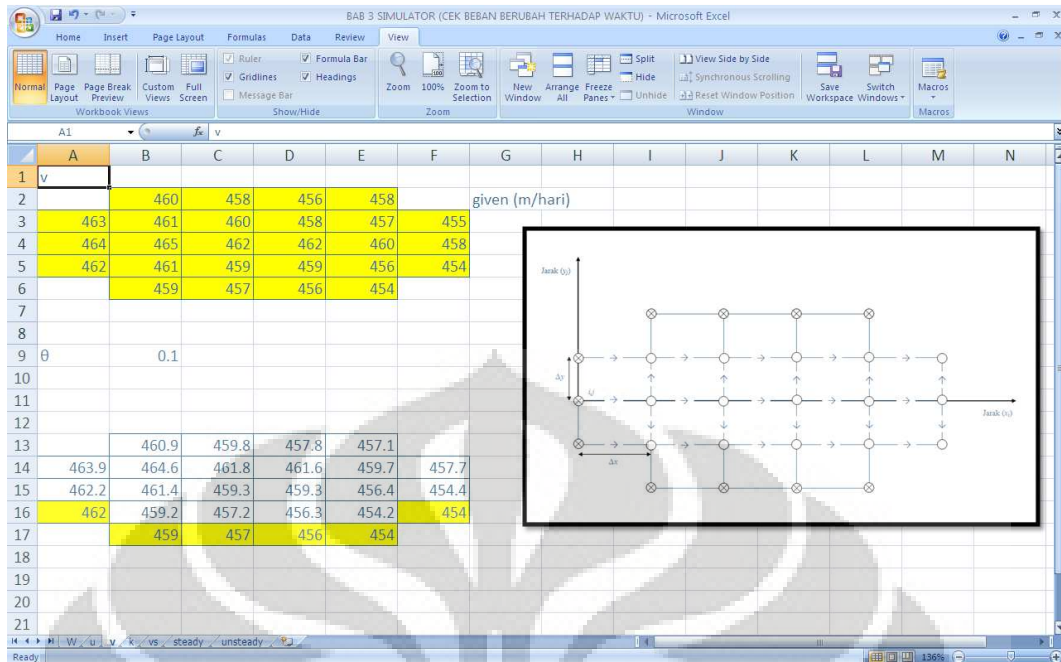
Masing-masing parameter di dalam persamaan ditempatkan pada *sheet* yang berbeda. Berikut ini merupakan *spreadsheet* simulasi model yang telah dilakukan (dengan memasukkan data hipotetik).



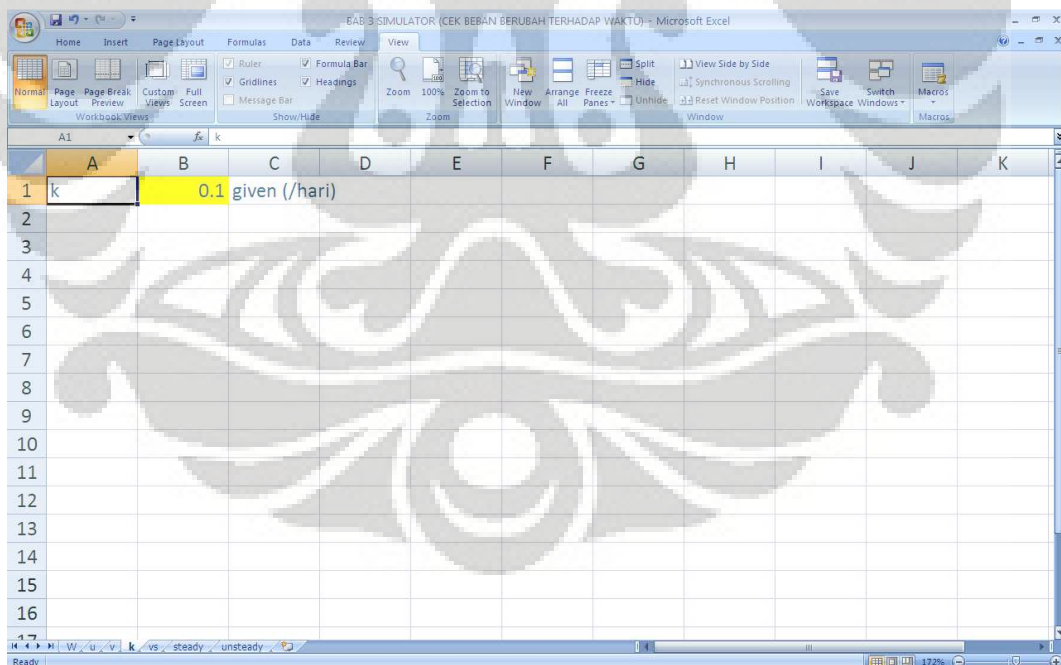
Gambar 3.4 Implementasi spreadsheet pada formulasi numerik model untuk parameter beban (W)



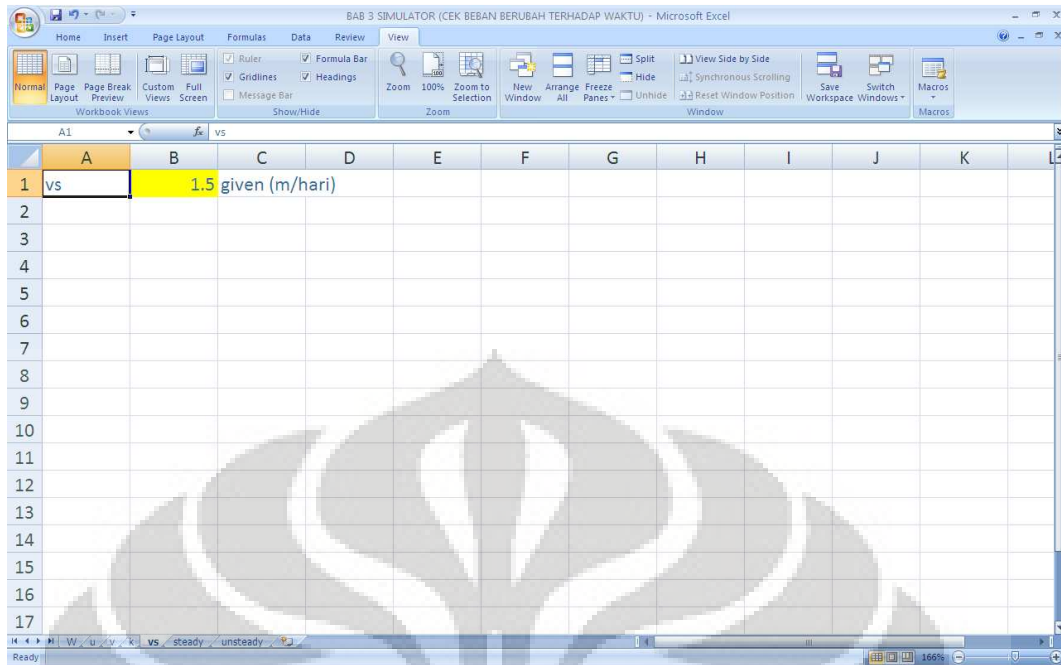
Gambar 3.5 Implementasi spreadsheet pada formulasi numerik model untuk parameter kecepatan dalam arah x (u)



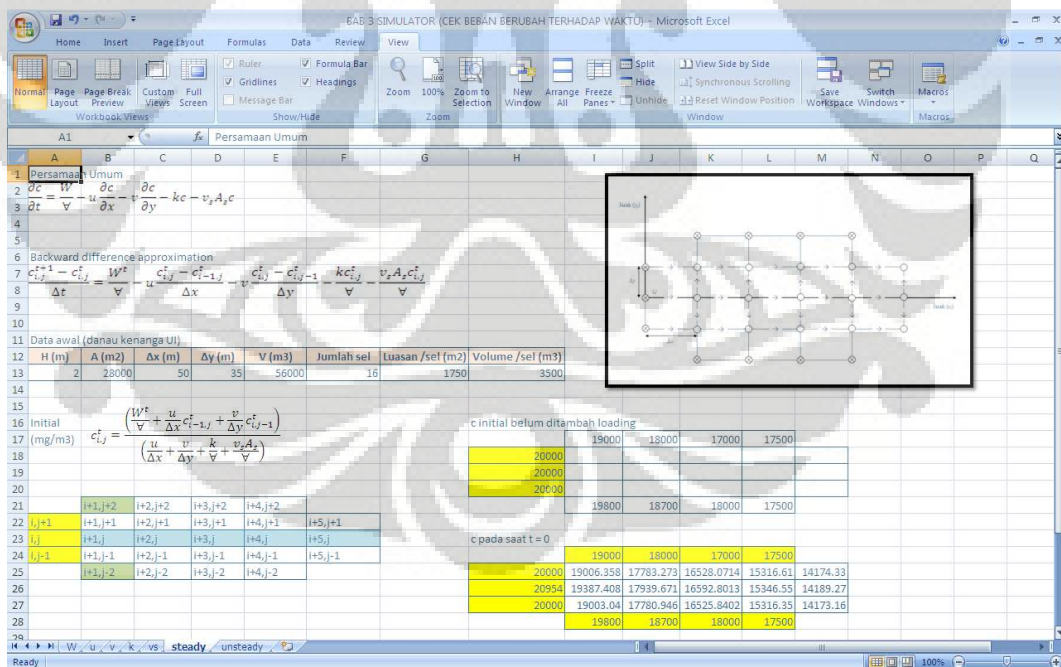
**Gambar 3.6** Implementasi spreadsheet pada formulasi numerik model untuk parameter kecepatan dalam arah y (v)



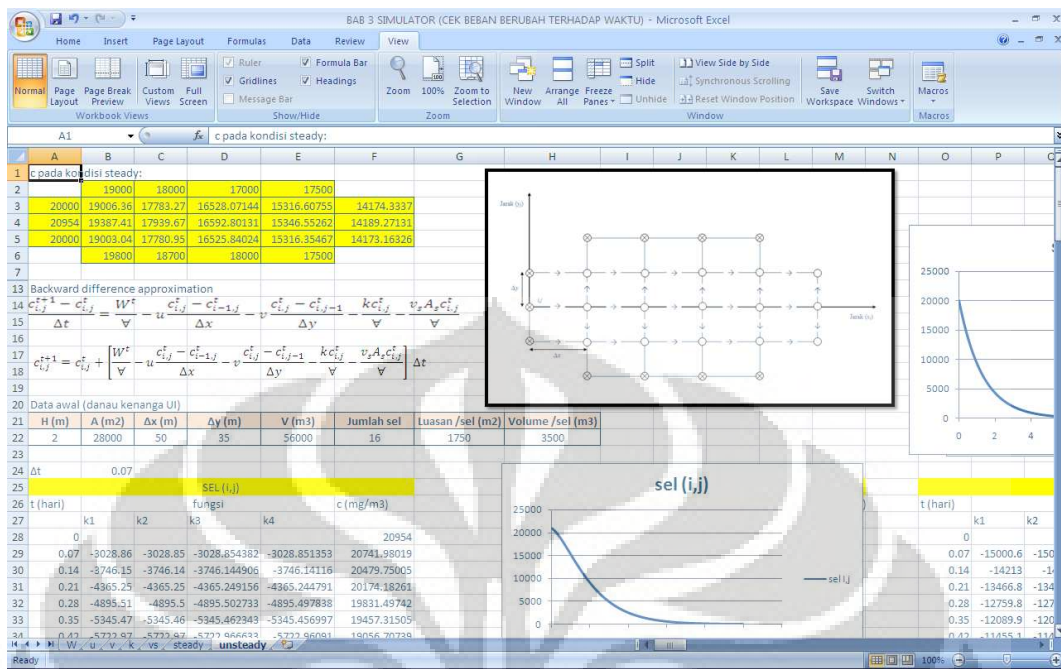
**Gambar 3.7** Implementasi spreadsheet pada formulasi numerik model untuk parameter reaksi (k)



**Gambar 3.8** Implementasi spreadsheet pada formulasi numerik model untuk parameter *settling* (vs)



**Gambar 3.9** Implementasi spreadsheet pada formulasi numerik model untuk sebaran konsentrasi pencemar pada saat *steady*



Gambar 3.10 Implementasi spreadsheet pada formulasi numerik model untuk sebaran konsentrasi pencemar pada saat *unsteady*

## **BAB 4**

### **SIMULASI MODEL DENGAN SPREADSHEET**

#### **4.1. Tinjauan Umum**

Untuk melakukan simulasi pada model, diperlukan nilai parameter awal, misalnya data karakteristik danau yang dimodelkan, kecepatan aliran dalam arah x dan y, besar pembebanan pencemar, serta konstanta yang menyertai mekanisme yang terjadi di dalam danau, misalnya nilai koefisien reaksi apabila terjadi reaksi kimia dan nilai kecepatan pengendapan apabila terjadi mekanisme pengendapan. Diperlukan skenario terhadap danau yang dimodelkan sebelum melakukan simulasi untuk memperlihatkan respon dan sensitivitas model dalam memproses data input berupa data hipotetik yang meliputi data hidrolik danau yang dimodelkan, nilai *initial condition* dan *boundary condition* dari pencemar.

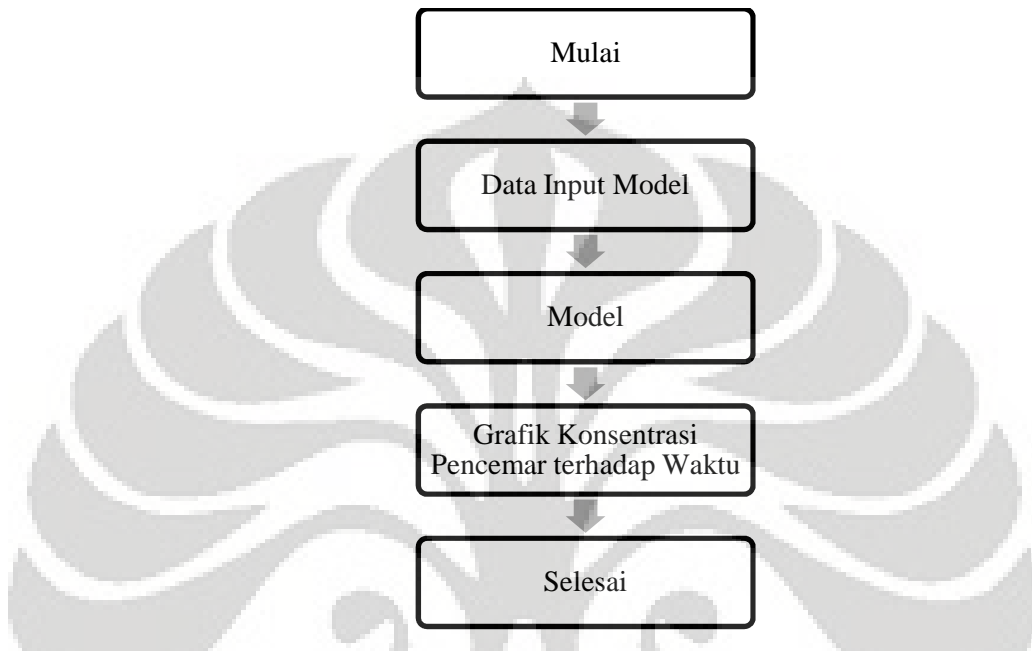
Simulasi pertama yaitu menentukan nilai konsentrasi pencemar menurut jarak dan waktu berdasarkan sebaran beban di salah satu sel yang diberikan secara konstan terhadap waktu. Simulasi kedua dilakukan untuk mengetahui nilai konsentrasi menurut jarak dan waktu berdasarkan sebaran beban di salah satu sel yang berubah terhadap fungsi waktu.

#### **4.2. Skenario, Proses Simulasi, dan Analisa Hasil**

Skenario dilakukan untuk menguji model yang telah dibuat dengan memperhatikan karakteristik formulasi numerik yang dibentuk dalam permodelan danau ini, diantaranya:

1. model bersifat dua dimensi secara lateral, yaitu dalam arah sumbu x dan y,
2. aliran yang disimulasikan bersifat *steady*, yaitu kecepatan aliran konstan terhadap waktu serta *nonuniform*, yaitu kecepatan aliran berubah menurut bidang, yaitu dalam arah sumbu x dan y. Namun, konsentrasi pencemar bersifat *unsteady*, yaitu konsentrasi pencemar berubah terhadap waktu,
3. mekanisme yang diperhitungkan di dalam model adalah mekanisme adveksi, mekanisme reaksi dan *settling*.

Skenario yang telah dibuat kemudian dikonseptualisasikan kedalam bahasa model, selanjutnya memasukkan data parameter awal yang dibutuhkan ke dalam *spreadsheet* dan menjalankan model hingga didapatkan hasil berupa grafik. Data yang digunakan dalam skenario adalah data hipotetik.



**Gambar 4.1** Proses simulasi pada model

#### 4.2.1. Skenario Danau

Kampus UI Depok memiliki sistem jaringan danau. Salah satunya adalah danau Kenanga. Sumber air yang masuk ke danau Kenanga ini berdasarkan pengamatan tidak diolah terlebih dahulu sebelum masuk ke dalam danau. Inflow yang masuk ke dalam danau Kenanga diidentifikasi berasal dari saluran drainase hasil kegiatan domestik Kota Depok.

Berdasarkan data Bagian Fasilitas UI, beberapa karakteristik fisik danau Kenanga UI dapat dilihat pada tabel berikut ini.

Tabel 4.1. Data Hidrolik Danau Kenanga

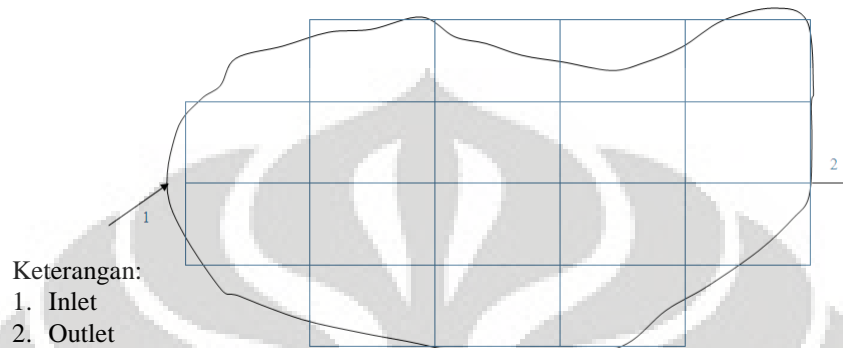
Danau	Luas (m <sup>2</sup> )	Kedalaman Rata-Rata (m)	Volume (m <sup>3</sup> )	Debit (m <sup>3</sup> /hari)
Kenanga	28000	2	56000	25920

Data debit diketahui dari pengukur debit yang dilakukan Laboratorium UI pada tahun 1996, dan dipakai data pada saat kemarau yaitu 0,3 m<sup>3</sup>/det (9460800 m<sup>3</sup>/tahun).



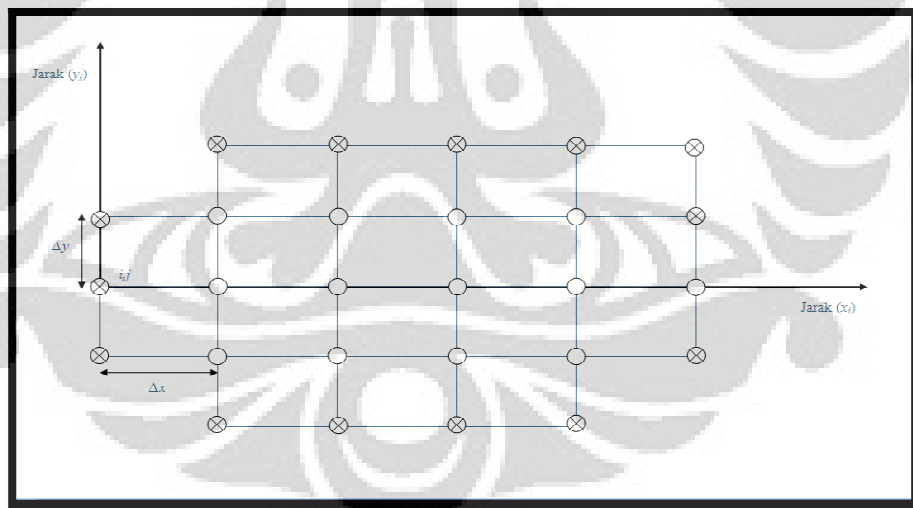
**Gambar 4.2** Danau Kenanga Kampus UI, Depok beserta inlet dan outletnya (tampak atas)  
(sumber: data danau 200809\_PKAP, 2009)

Bentuk danau kenanga tersebut kemudian didiskritisasi menjadi sel-sel yang nantinya masuk kedalam perhitungan spreadsheet. Berdasarkan bentuknya, maka danau Kenanga dapat didiskritasi menjadi 17 sel, yang bisa dilihat pada gambar berikut ini.



**Gambar 4.3** Gambar diskritasi Danau Kenanga

Untuk masuk kedalam model, maka diskritasi danau Kenanga UI dapat ditampilkan pada gambar berikut.



**Gambar 4.4** Gambar diskritasi Danau Kenanga untuk dimodelkan

Tabel 4.2. Data Hidrolik danau Kenanga

H (m)	A (m <sup>2</sup> )	Δx (m)	Δy (m)	V (m <sup>3</sup> )	Jumlah sel	Luasan /sel (m <sup>2</sup> )	Volume /sel (m <sup>3</sup> )
2	28000	50	32.94	56000	17	1647.058824	3294.117647

Kecepatan aliran di danau Kenanga bervariasi di setiap sel. Masing-masing sel diketahui kecepatan alirannya sebagai berikut.

	15.71	15.7	15.69	15.68	15.67
15.73	15.72	15.71	15.7	15.69	15.68
15.74	15.73	15.72	15.71	15.7	15.69
15.72	15.71	15.7	15.69	15.68	15.67
	15.7	15.69	15.68	15.67	

Gambar 4.5 Sebaran kecepatan aliran air danau Kenanga arah sumbu x (m/hari)

	15.71	15.7	15.69	15.68	15.67
15.72	15.72	15.71	15.71	15.69	15.68
15.74	15.73	15.72	15.71	15.7	15.69
15.71	15.71	15.7	15.7	15.69	15.68
	15.69	15.68	15.68	15.67	

Gambar 4.6 Sebaran kecepatan aliran air danau Kenanga arah sumbu y (m/hari)

Kecepatan yang dihitung di dalam model di tiap sel dipengaruhi oleh sel sebelumnya, sehingga digunakan bobot ( $\theta$ ), dengan rumus:  $[\theta u_{i-1,j}^t + (1 - \theta)u_{i,j}^t]$  untuk kecepatan dalam arah x dan  $[\theta v_{i-1,j}^t + (1 - \theta)v_{i-1,j+1}^t]$  untuk kecepatan dalam arah y. Bobot yang dimasukkan kedalam perhitungan sebesar 0,1 sehingga kecepatan aliran air dalam danau UI yang masuk ke dalam perhitungan model adalah sebagai berikut.

	15.71	15.709	15.699	15.689	15.679
15.73	15.729	15.719	15.709	15.699	15.689
15.74	15.739	15.729	15.719	15.709	15.699
15.72	15.719	15.709	15.699	15.689	15.679
	15.7	15.699	15.689	15.679	

Gambar 4.7 Sebaran kecepatan aliran air danau Kenanga arah sumbu x yang masuk ke dalam perhitungan model (m/hari)

	15.719	15.709	15.708	15.689	15.679
15.738	15.729	15.719	15.71	15.699	15.689
15.713	15.712	15.702	15.701	15.691	15.681
15.71	15.692	15.682	15.682	15.672	15.68
	15.69	15.68	15.68	15.67	

**Gambar 4.8** Sebaran kecepatan aliran air danau Kenanga arah sumbu y yang masuk ke dalam perhitungan model (m/hari)

#### 4.2.2. Skenario Pencemar

Bahan padat atau *solids* adalah bahan yang tertinggal sebagai residu pada penguapan dan pengeringan pada suhu  $103^0\text{--}105^0\text{C}$ , atau biasa disebut dengan *Total solids*. (Sawyer *et al.*, 1994). Total padatan tersuspensi (TSS) memberikan gambaran dari kekeruhan air. SS menyebabkan air menjadi tidak jernih atau berlumpur karena hamburan cahaya dari partikel-partikel yang sangat kecil di dalam air. Air yang tercemar umumnya keruh dan perbaikan kualitas biasanya ditandai dengan semakin jernihnya air.

Padatan tersuspensi (SS) merupakan partikel padatan yang kecil dan tetap dalam suspensi dalam air sebagai koloid. SS digunakan sebagai salah satu indikator kualitas air. Padatan tersuspensi penting sebagai polutan dan mengandung patogen yang dibawa pada permukaan partikel.

Berdasarkan pengamatan, terdapat konsentrasi awal TSS sebesar 20 gram/m<sup>3</sup> di inlet danau Kenanga. TSS ini mengalami pengendapan dengan kecepatan 0.2 m/hari. Berdasarkan data sampel yang diambil di lapangan, sebaran untuk nilai konsentrasi awal TSS di beberapa sel danau Kenanga dapat dilihat pada gambar berikut.

	19	18.7	18.5	18.4	18.3
19					18.2
20					
19.5					18.4
	19.2	19	18.7	18.6	

Gambar 4.9 Sebaran konsentrasi TSS di danau Kenanga (g/m<sup>3</sup>)

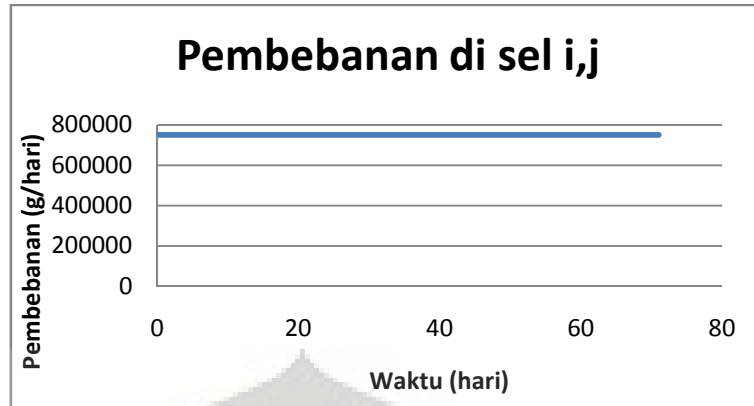
#### 4.2.3. Skenario Beban Pencemar

##### 4.2.3.1. Beban Pencemar Konstan terhadap Waktu

Tingkat pertambahan populasi Kota Depok sangat kecil dan hampir mendekati angka nol sehingga tidak ada perubahan jumlah penduduk yang signifikan di tiap tahunnya. Hal ini disebabkan besarnya rata-rata tingkat kematian di Kota Depok sama dengan rata-rata tingkat kelahiran. Oleh karena itu, banyaknya limbah yang dihasilkan dan masuk ke dalam danau Kenanga UI tidak mengalami perubahan tiap tahunnya atau konstan setiap tahunnya.

Setelah dihitung, ternyata dalam tiap harinya danau UI mendapat buangan limbah domestik dari Kota Depok sebanyak 750 kg/hari yang masuk melalui inlet. Limbah yang masuk danau Kenanga ini dikategorikan sebagai jenis beban yang nilainya konstan atau tetap dan tidak berubah menurut waktu atau *step loading*.

Beban ini masuk melalui inlet sehingga pada formulasi numerik skenario beban ini diberikan hanya pada sel (i,j) sebesar  $W = 750 \text{ kg/hari}$ .



Gambar 4.10 Grafik pembebanan konstan di sel (i,j)

Dengan menggunakan simulasi yang telah dibentuk, TSS di dalam danau hanya mengalami mekanisme adveksi dan pengendapan sehingga persamaan disimulasi untuk mekanisme reaksi diabaikan dengan mengisi nilai decay rate,  $k = 0$ . Untuk kondisi *steady*, maka didapat konsentrasi pencemar:

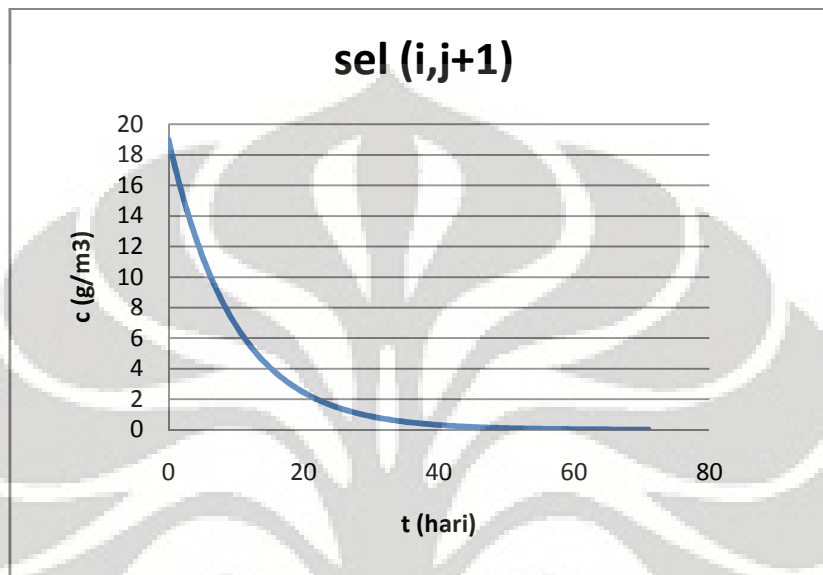
	19	18.7	18.5	18.4	18.3
19	107.3104	114.17618	98.1685711	78.53646	18.2
247.6785714	187.96533	142.6266	108.20732	82.08165	62.2542
19.5	107.40499	114.17521	98.1550448	78.52401	18.4
	19.2	19	18.7	18.6	

Gambar 4.11 Sebaran konsentrasi TSS dalam kondisi *steady* ( $\text{g/m}^3$ )

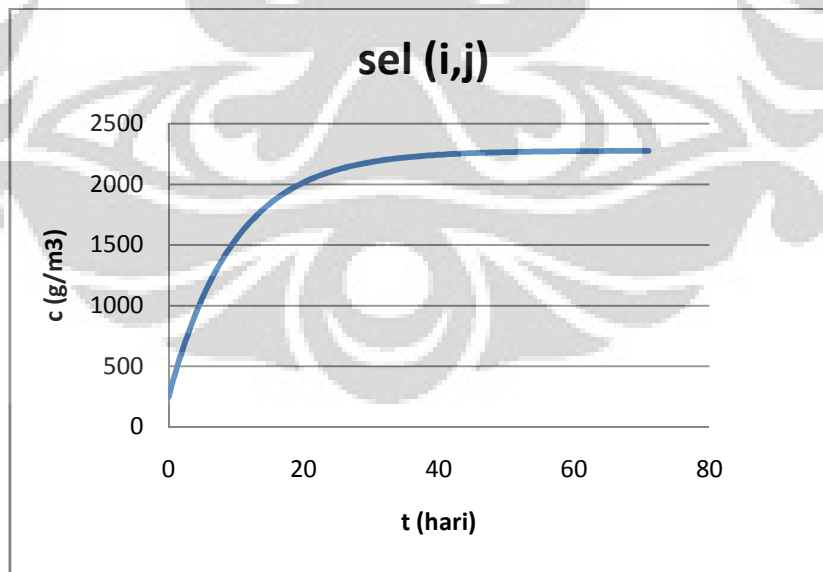
Berdasarkan pembebanan yang ada, maka untuk kondisi *unsteady*, konsentrasi pencemar akan berubah menurut waktu. Dengan menggunakan perubahan waktu (*time step*) sebesar 0,5 hari, maka didapat perubahan konsentrasi TSS untuk masing sel sebagai berikut.

diskritasi sel:

	i+1,j+2	i+2,j+2	i+3,j+2	i+4,j+2	i+5,j+2
<b>i,j+1</b>	i+1,j+1	i+2,j+1	i+3,j+1	i+4,j+1	i+5,j+1
<b>i,j</b>	i+1,j	i+2,j	i+3,j	i+4,j	i+5,j
i,j-1	i+1,j-1	i+2,j-1	i+3,j-1	i+4,j-1	i+5,j-1
	i+1,j-2	i+2,j-2	i+3,j-2	i+4,j-2	



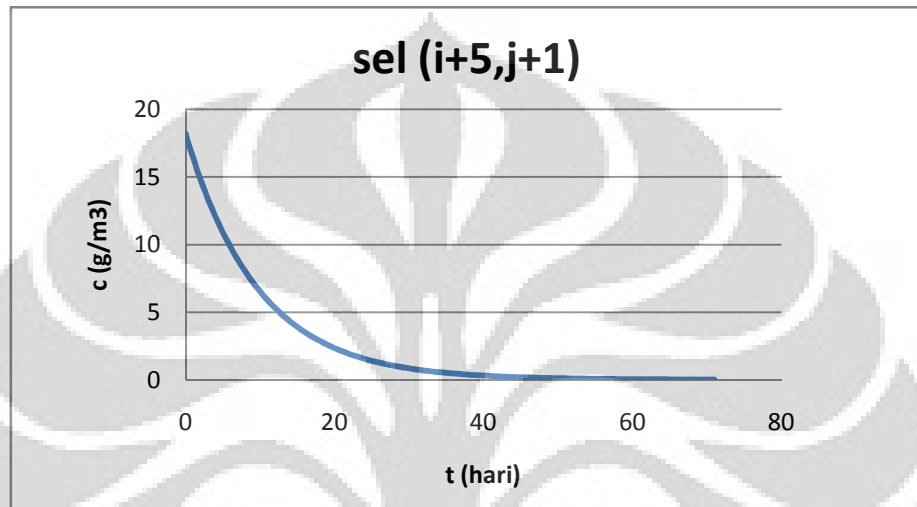
**Gambar 4.12** Grafik respon konsentrasi TSS terhadap waktu di sel (i, j+1)  
akibat pembebangan konstan



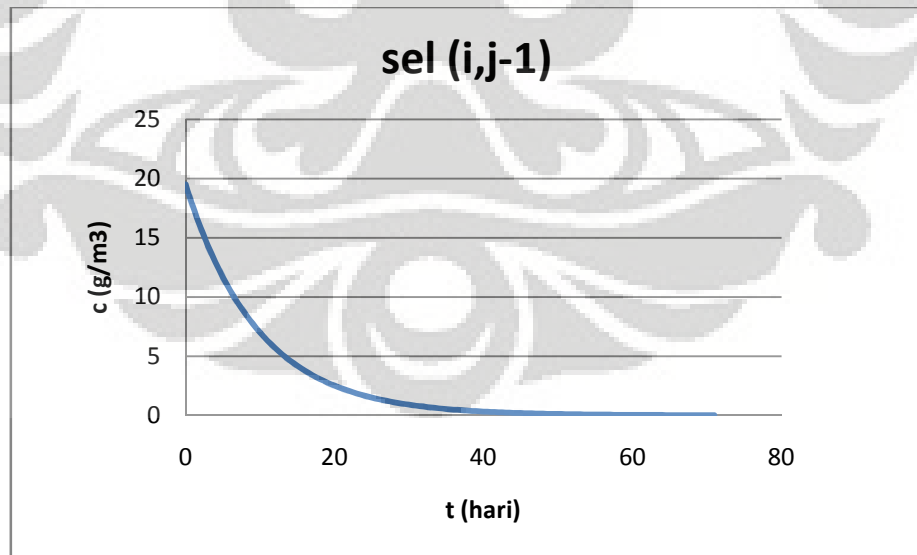
**Gambar 4.13** Grafik respon konsentrasi TSS terhadap waktu di sel (i, j)  
akibat pembebangan konstan

diskritasi sel:

	i+1,j+2	i+2,j+2	i+3,j+2	i+4,j+2	i+5,j+2
i,j+1	i+1,j+1	i+2,j+1	i+3,j+1	i+4,j+1	<b>i+5,j+1</b>
i,j	i+1,j	i+2,j	i+3,j	i+4,j	i+5,j
<b>i,j-1</b>	i+1,j-1	i+2,j-1	i+3,j-1	i+4,j-1	i+5,j-1
	i+1,j-2	i+2,j-2	i+3,j-2	i+4,j-2	



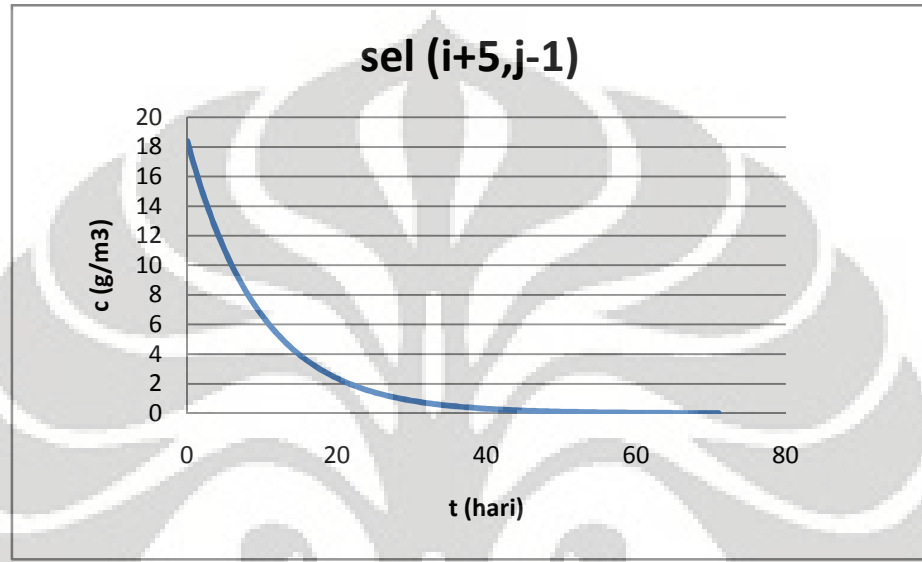
**Gambar 4.14** Grafik respon konsentrasi TSS terhadap waktu di sel (i+5, j+1) akibat pembebangan konstan



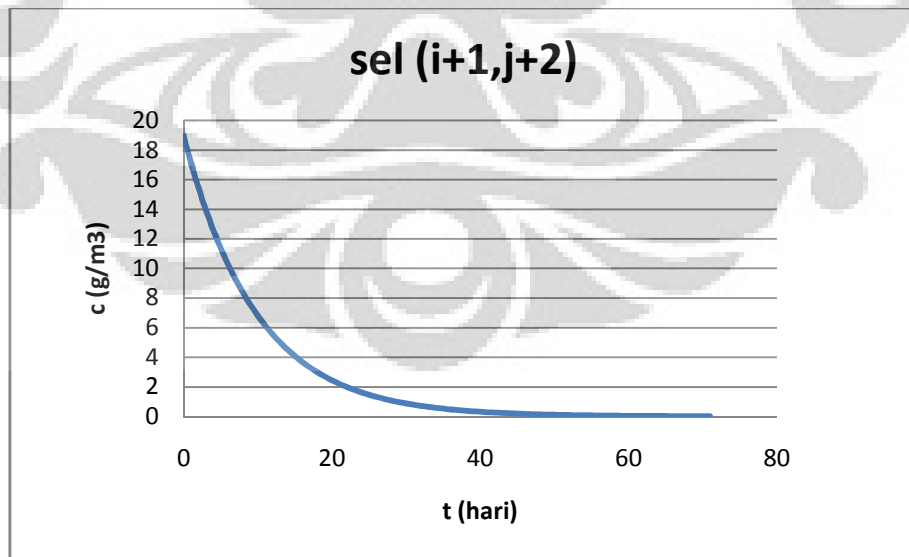
**Gambar 4.15** Grafik respon konsentrasi TSS terhadap waktu di sel (i, j-1) akibat pembebangan konstan

diskritasi sel:

$i+1, j+2$	$i+2, j+2$	$i+3, j+2$	$i+4, j+2$	$i+5, j+2$
$i, j+1$	$i+1, j+1$	$i+2, j+1$	$i+3, j+1$	$i+4, j+1$
$i, j$	$i+1, j$	$i+2, j$	$i+3, j$	$i+4, j$
$i, j-1$	$i+1, j-1$	$i+2, j-1$	$i+3, j-1$	$i+4, j-1$
	$i+1, j-2$	$i+2, j-2$	$i+3, j-2$	$i+4, j-2$



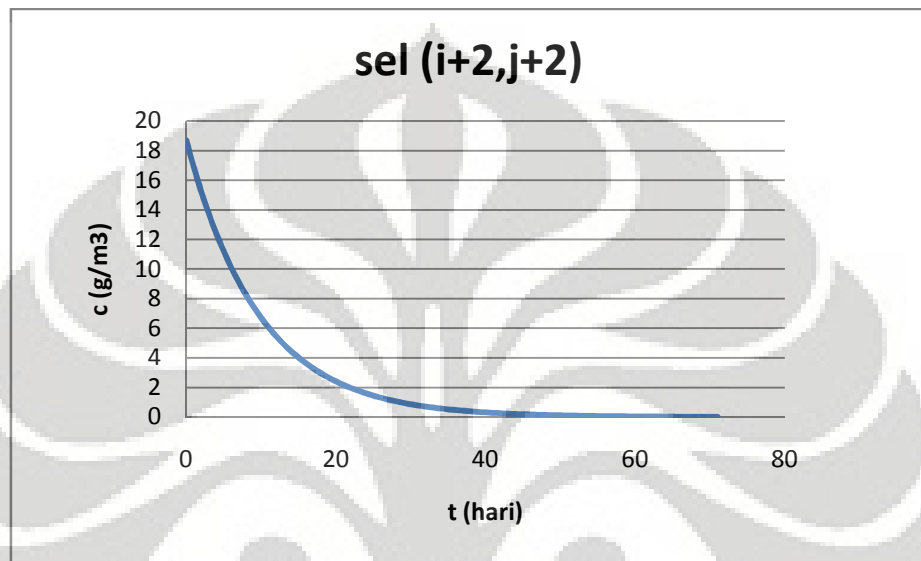
**Gambar 4.16** Grafik respon konsentrasi TSS terhadap waktu di sel  $(i+5, j-1)$  akibat pembebanan konstan



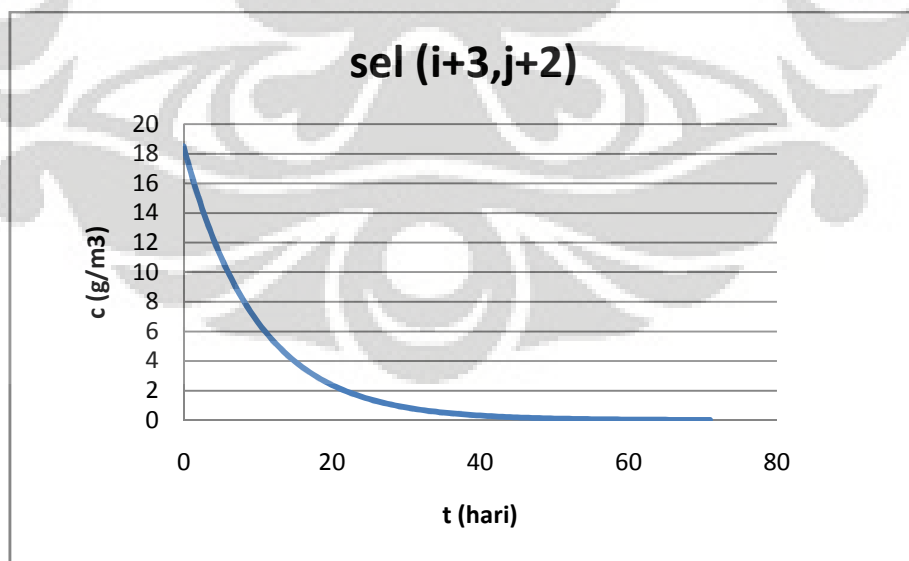
**Gambar 4.17** Grafik respon konsentrasi TSS terhadap waktu di sel  $(i+1, j+2)$  akibat pembebanan konstan

diskritasi sel:

	$i+1,j+2$	$i+2,j+2$	$i+3,j+2$	$i+4,j+2$	$i+5,j+2$
$i,j+1$	$i+1,j+1$	$i+2,j+1$	$i+3,j+1$	$i+4,j+1$	$i+5,j+1$
$i,j$	$i+1,j$	$i+2,j$	$i+3,j$	$i+4,j$	$i+5,j$
$i,j-1$	$i+1,j-1$	$i+2,j-1$	$i+3,j-1$	$i+4,j-1$	$i+5,j-1$
	$i+1,j-2$	$i+2,j-2$	$i+3,j-2$	$i+4,j-2$	



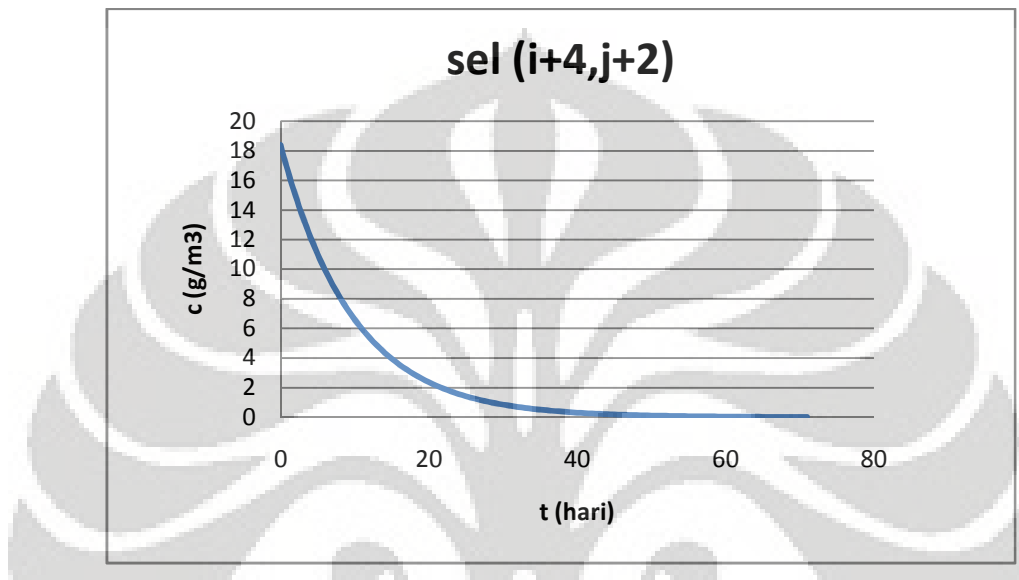
Gambar 4.18 Grafik respon konsentrasi TSS terhadap waktu di sel ( $i+2, j+2$ ) akibat pembebahan konstan



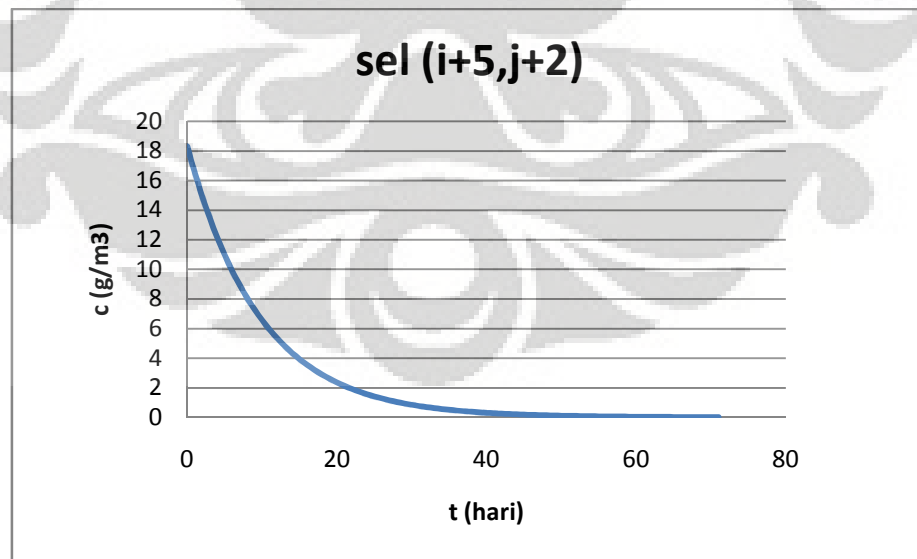
Gambar 4.19 Grafik respon konsentrasi TSS terhadap waktu di sel ( $i+3, j+2$ ) akibat pembebahan konstan

diskritasi sel:

	i+1,j+2	i+2,j+2	i+3,j+2	<b>i+4,j+2</b>	i+5,j+2
i,j+1	i+1,j+1	i+2,j+1	i+3,j+1	i+4,j+1	i+5,j+1
i,j	i+1,j	i+2,j	i+3,j	i+4,j	i+5,j
i,j-1	i+1,j-1	i+2,j-1	i+3,j-1	i+4,j-1	i+5,j-1
	i+1,j-2	i+2,j-2	i+3,j-2	i+4,j-2	



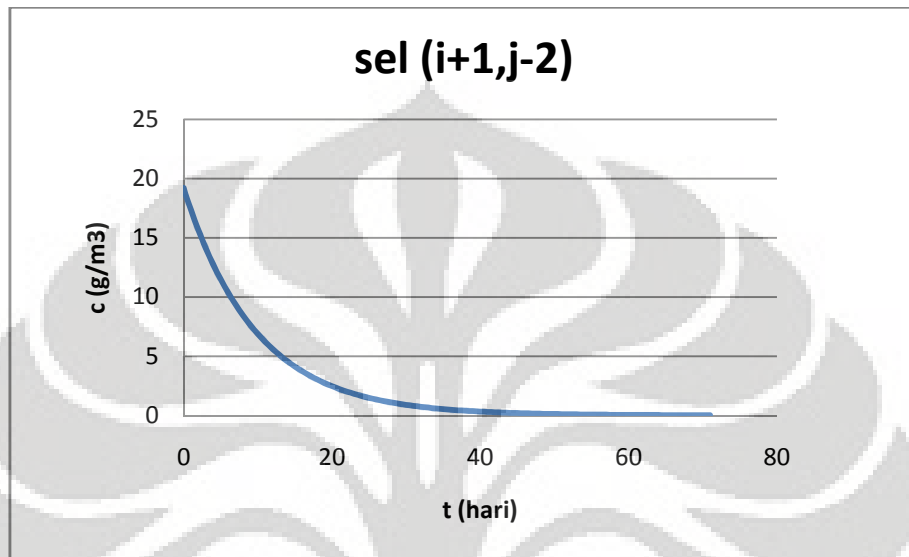
**Gambar 4.20** Grafik respon konsentrasi TSS terhadap waktu di sel (i+4, j+2)  
akibat pembebahan konstan



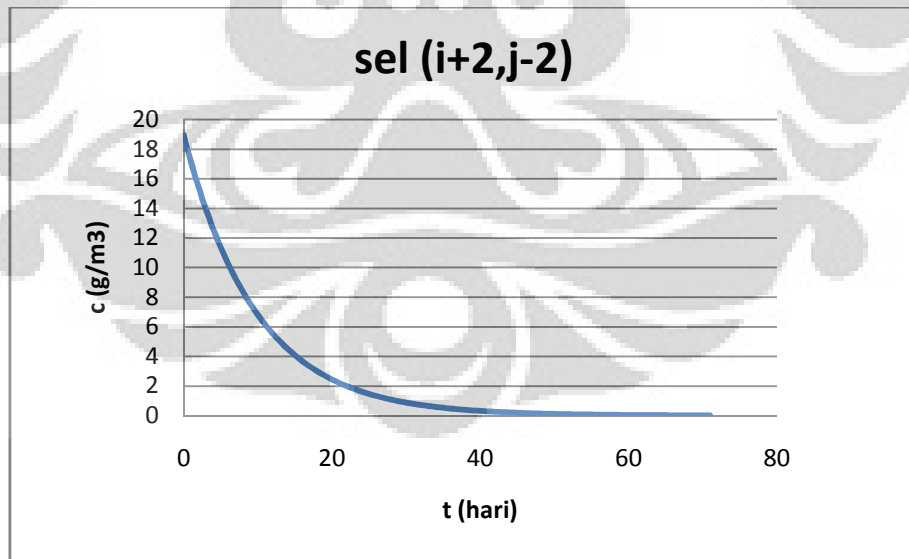
**Gambar 4.21** Grafik respon konsentrasi TSS terhadap waktu di sel (i+5, j+2)  
akibat pembebahan konstan

diskritasi sel:

	i+1,j+2	i+2,j+2	i+3,j+2	i+4,j+2	i+5,j+2
i,j+1	i+1,j+1	i+2,j+1	i+3,j+1	i+4,j+1	i+5,j+1
i,j	i+1,j	i+2,j	i+3,j	i+4,j	i+5,j
i,j-1	i+1,j-1	i+2,j-1	i+3,j-1	i+4,j-1	i+5,j-1
	<b>i+1,j-2</b>	<b>i+2,j-2</b>	i+3,j-2	i+4,j-2	



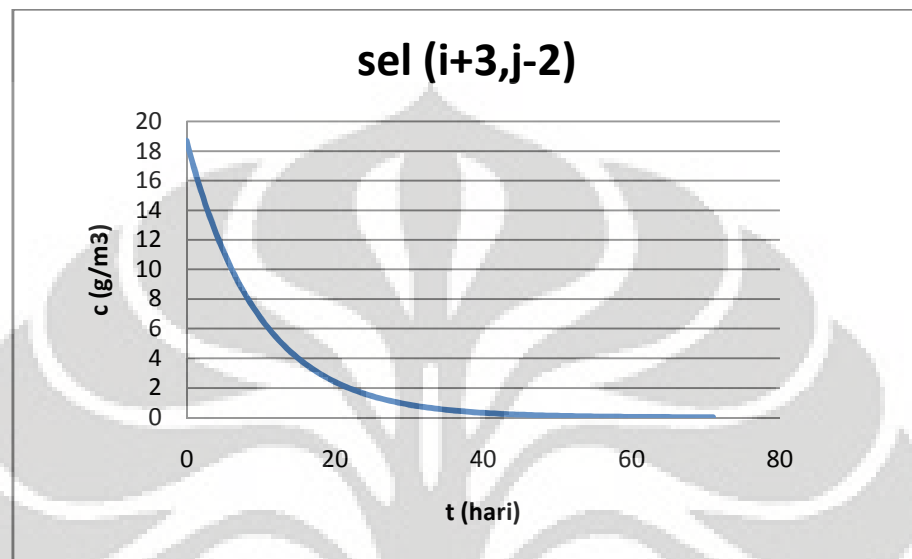
**Gambar 4.22** Grafik respon konsentrasi TSS terhadap waktu di sel (i+1, j-2) akibat pembebangan konstan



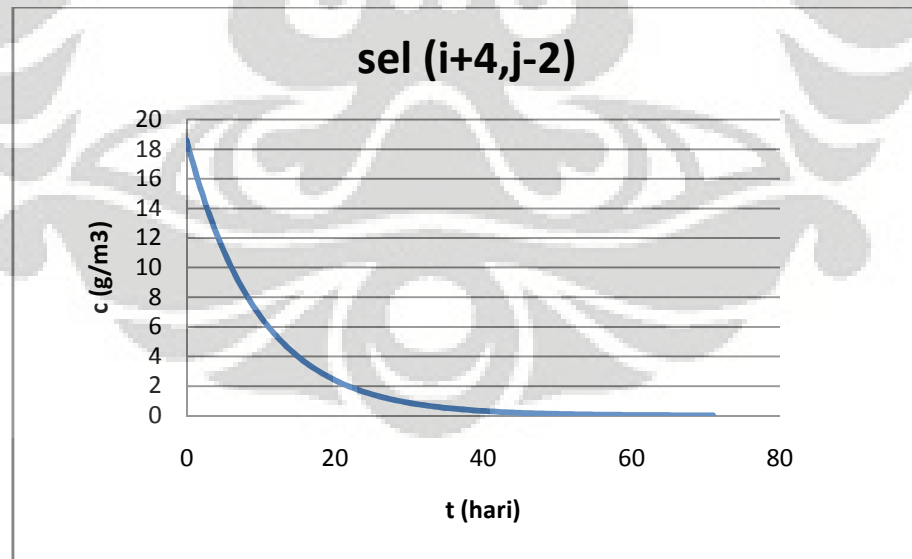
**Gambar 4.23** Grafik respon konsentrasi TSS terhadap waktu di sel (i+2, j-2) akibat pembebangan konstan

diskritasi sel:

	i+1,j+2	i+2,j+2	i+3,j+2	i+4,j+2	i+5,j+2
i,j+1	i+1,j+1	i+2,j+1	i+3,j+1	i+4,j+1	i+5,j+1
i,j	i+1,j	i+2,j	i+3,j	i+4,j	i+5,j
i,j-1	i+1,j-1	i+2,j-1	i+3,j-1	i+4,j-1	i+5,j-1
	i+1,j-2	i+2,j-2	i+3,j-2	i+4,j-2	



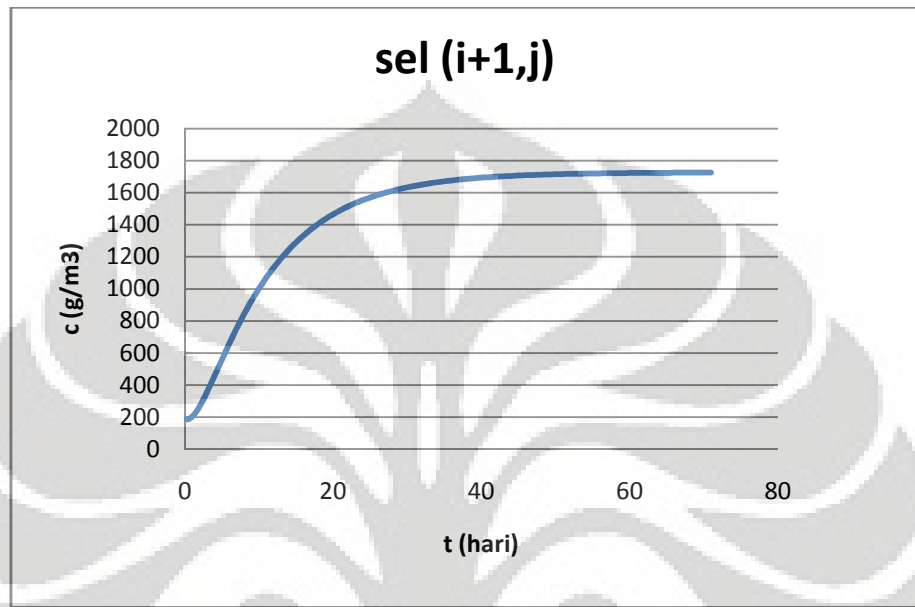
**Gambar 4.24** Grafik respon konsentrasi TSS terhadap waktu di sel (i+3, j-2) akibat pembebangan konstan



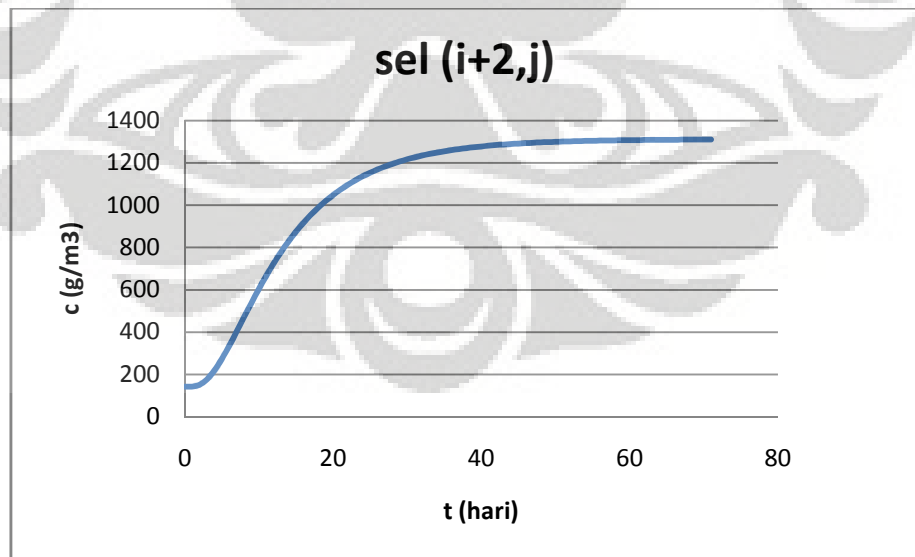
**Gambar 4.25** Grafik respon konsentrasi TSS terhadap waktu di sel (i+4, j-2) akibat pembebangan konstan

diskritasi sel:

	i+1,j+2	i+2,j+2	i+3,j+2	i+4,j+2	i+5,j+2
i,j+1	i+1,j+1	i+2,j+1	i+3,j+1	i+4,j+1	i+5,j+1
i,j	<b>i+1,j</b>	<b>i+2,j</b>	i+3,j	i+4,j	i+5,j
i,j-1	i+1,j-1	i+2,j-1	i+3,j-1	i+4,j-1	i+5,j-1
	i+1,j-2	i+2,j-2	i+3,j-2	i+4,j-2	



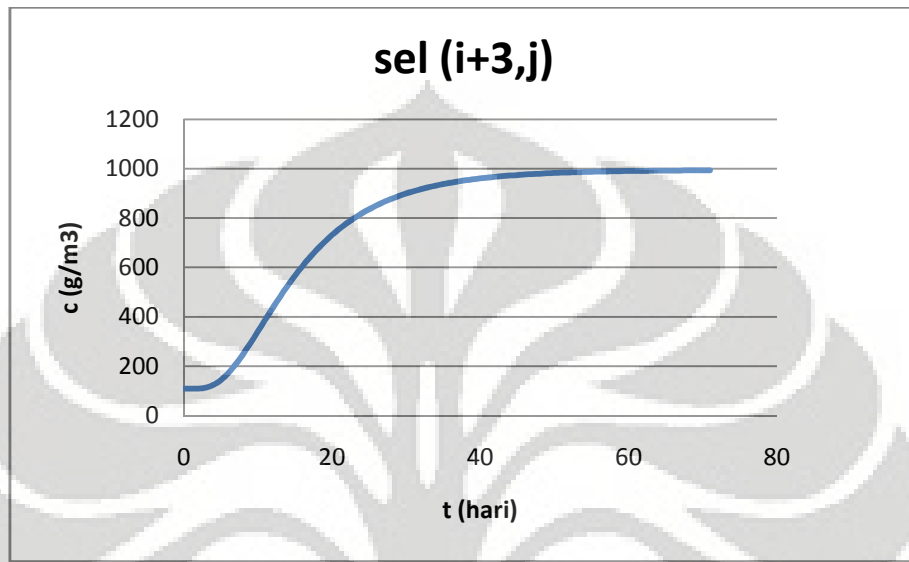
Gambar 4.26 Grafik respon konsentrasi TSS terhadap waktu di sel (i+1, j) akibat pembebahan konstan



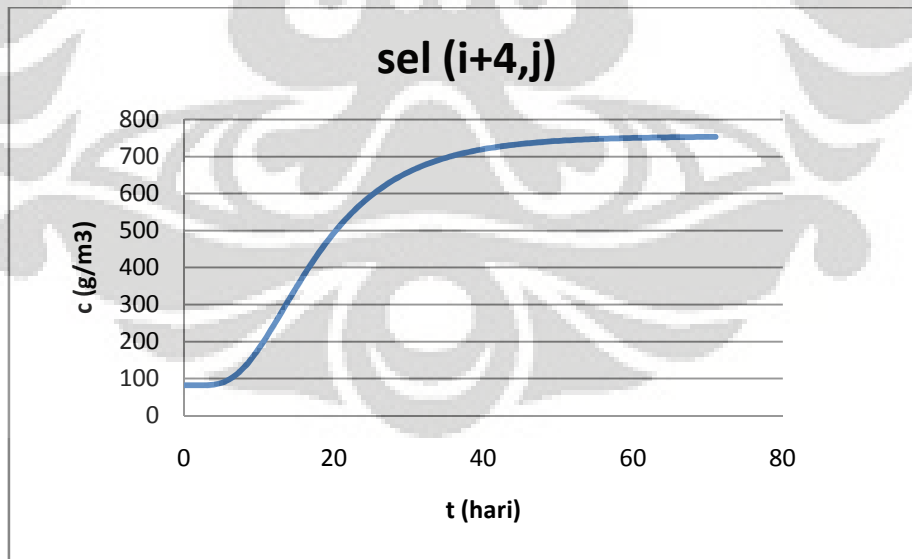
Gambar 4.27 Grafik respon konsentrasi TSS terhadap waktu di sel (i+2, j) akibat pembebahan konstan

diskritasi sel:

	i+1,j+2	i+2,j+2	i+3,j+2	i+4,j+2	i+5,j+2
i,j+1	i+1,j+1	i+2,j+1	i+3,j+1	i+4,j+1	i+5,j+1
i,j	i+1,j	i+2,j	i+3,j	i+4,j	i+5,j
i,j-1	i+1,j-1	i+2,j-1	i+3,j-1	i+4,j-1	i+5,j-1
	i+1,j-2	i+2,j-2	i+3,j-2	i+4,j-2	



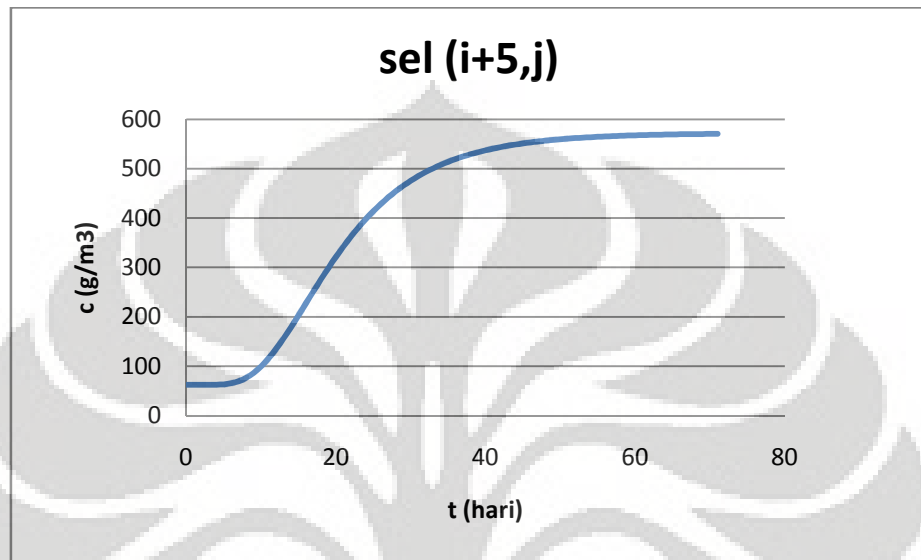
Gambar 4.28 Grafik respon konsentrasi TSS terhadap waktu di sel (i+3, j)  
akibat pembebahan konstan



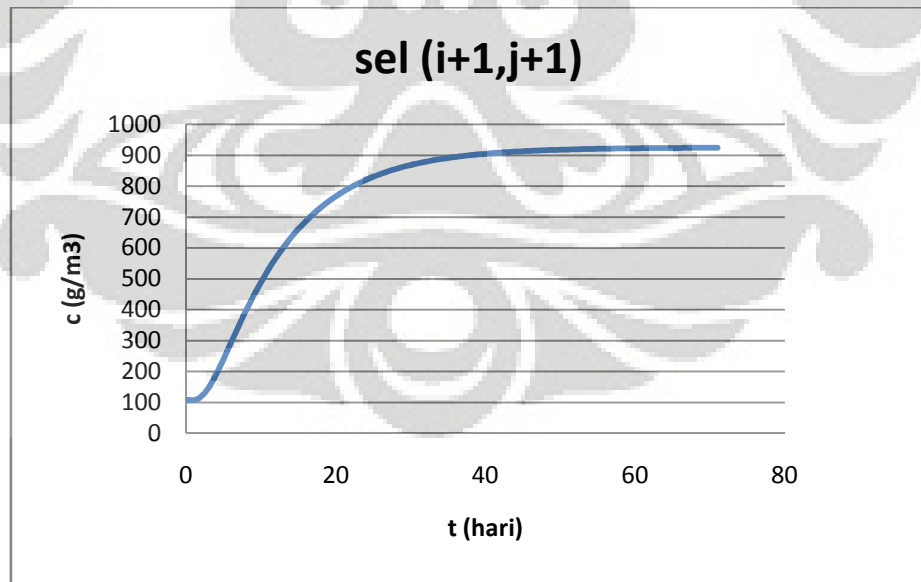
Gambar 4.29 Grafik respon konsentrasi TSS terhadap waktu di sel (i+4, j)  
akibat pembebahan konstan

diskritasi sel:

	i+1,j+2	i+2,j+2	i+3,j+2	i+4,j+2	i+5,j+2
i,j+1	<b>i+1,j+1</b>	i+2,j+1	i+3,j+1	i+4,j+1	i+5,j+1
i,j	i+1,j	i+2,j	i+3,j	i+4,j	<b>i+5,j</b>
i,j-1	i+1,j-1	i+2,j-1	i+3,j-1	i+4,j-1	i+5,j-1
	i+1,j-2	i+2,j-2	i+3,j-2	i+4,j-2	



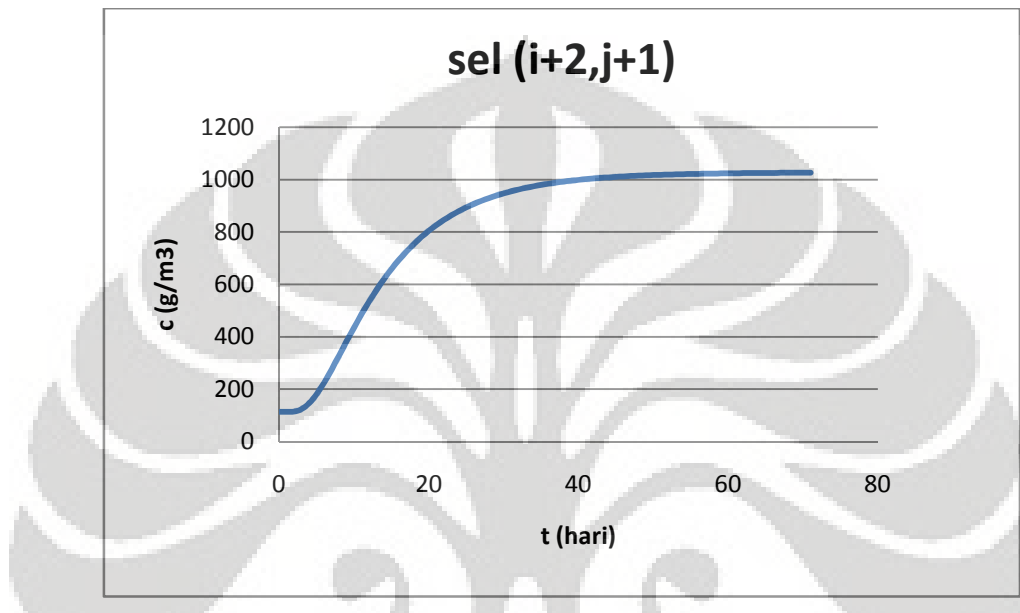
**Gambar 4.30** Grafik respon konsentrasi TSS terhadap waktu di sel (i+5, j)  
akibat pembebahan konstan



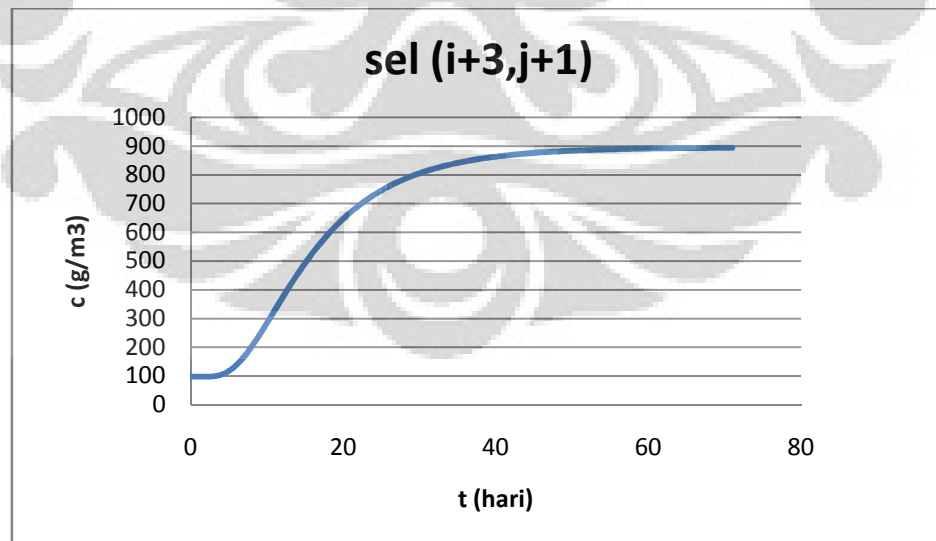
**Gambar 4.31** Grafik respon konsentrasi TSS terhadap waktu di sel (i+1, j+1)  
akibat pembebahan konstan

diskritasi sel:

	i+1,j+2	i+2,j+2	i+3,j+2	i+4,j+2	i+5,j+2
i,j+1	i+1,j+1	<b>i+2,j+1</b>	<b>i+3,j+1</b>	i+4,j+1	i+5,j+1
i,j	i+1,j	i+2,j	i+3,j	i+4,j	i+5,j
i,j-1	i+1,j-1	i+2,j-1	i+3,j-1	i+4,j-1	i+5,j-1
	i+1,j-2	i+2,j-2	i+3,j-2	i+4,j-2	



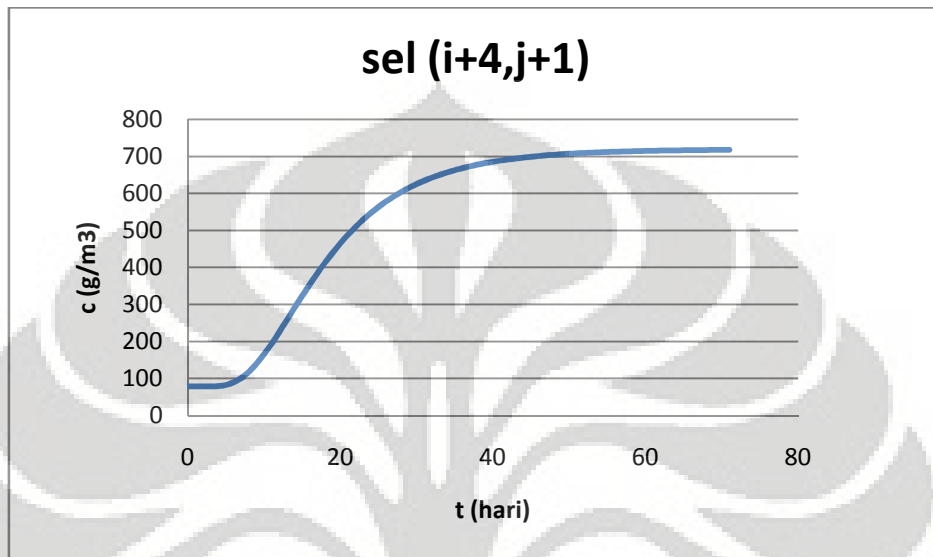
**Gambar 4.32** Grafik respon konsentrasi TSS terhadap waktu di sel (i+2, j+1) akibat pembebahan konstan



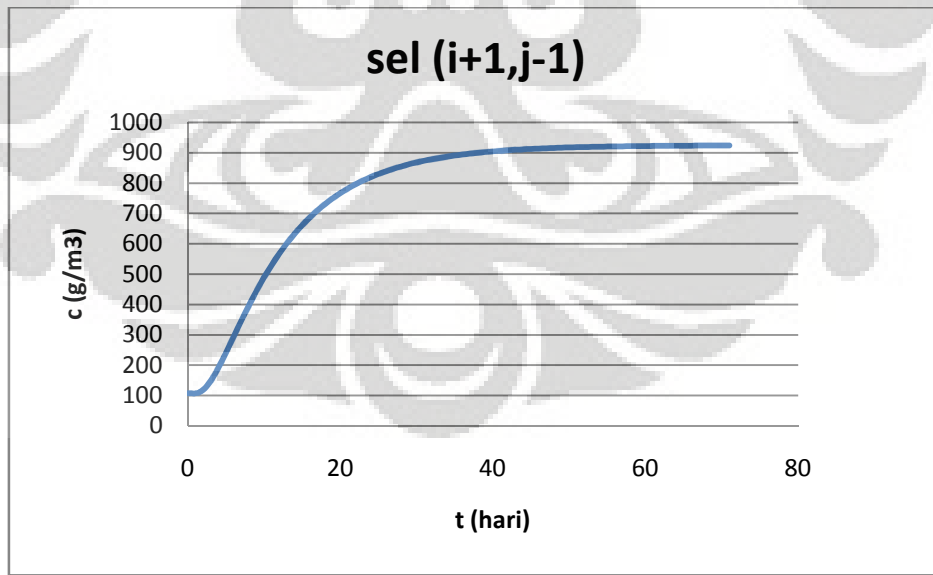
**Gambar 4.33** Grafik respon konsentrasi TSS terhadap waktu di sel (i+3, j+1) akibat pembebahan konstan

diskritasi sel:

	i+1,j+2	i+2,j+2	i+3,j+2	i+4,j+2	i+5,j+2
i,j+1	i+1,j+1	i+2,j+1	i+3,j+1	<b>i+4,j+1</b>	i+5,j+1
i,j	i+1,j	i+2,j	i+3,j	i+4,j	i+5,j
i,j-1	<b>i+1,j-1</b>	i+2,j-1	i+3,j-1	i+4,j-1	i+5,j-1
	i+1,j-2	i+2,j-2	i+3,j-2	i+4,j-2	



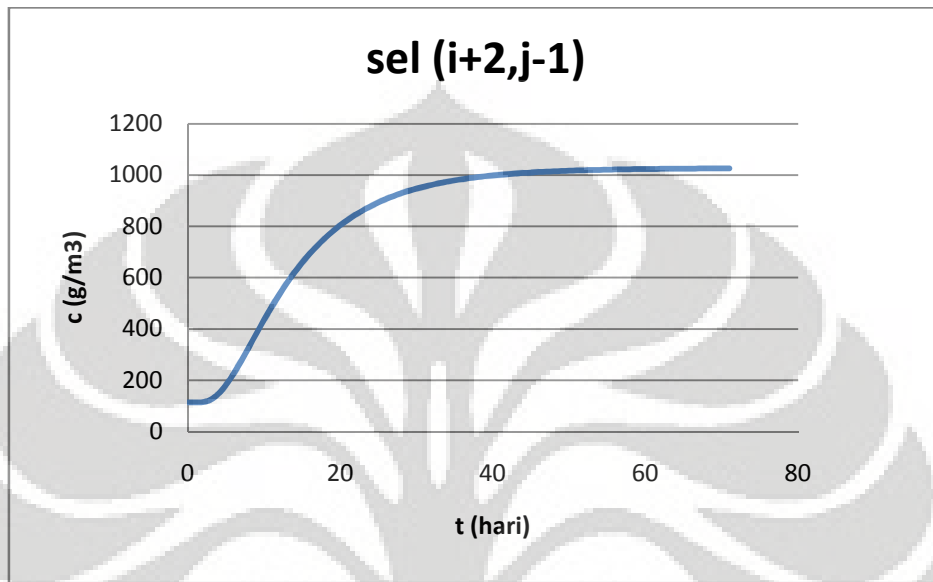
**Gambar 4.34** Grafik respon konsentrasi TSS terhadap waktu di sel (i+4, j+1) akibat pembebahan konstan



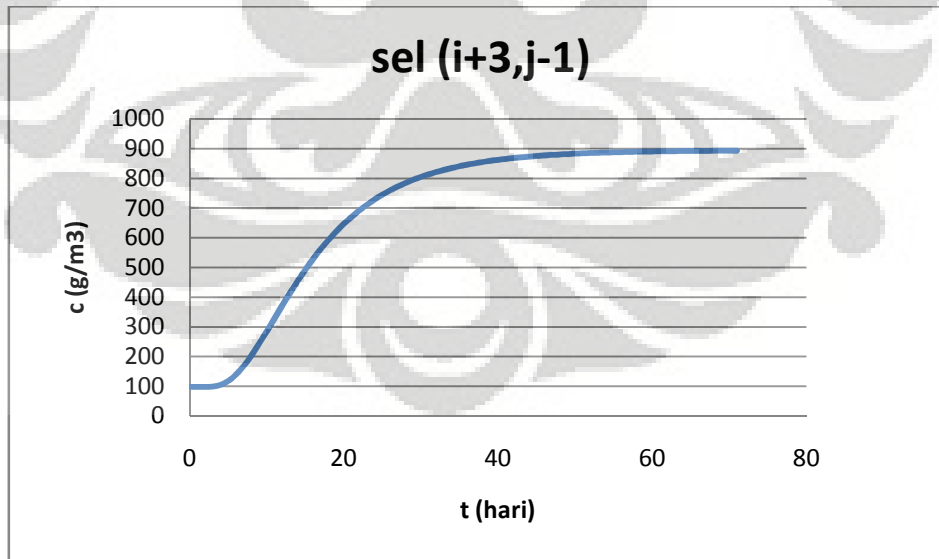
**Gambar 4.35** Grafik respon konsentrasi TSS terhadap waktu di sel (i+1, j-1) akibat pembebahan konstan

diskritasi sel:

	i+1,j+2	i+2,j+2	i+3,j+2	i+4,j+2	i+5,j+2
i,j+1	i+1,j+1	i+2,j+1	i+3,j+1	i+4,j+1	i+5,j+1
i,j	i+1,j	i+2,j	i+3,j	i+4,j	i+5,j
i,j-1	i+1,j-1	<b>i+2,j-1</b>	<b>i+3,j-1</b>	i+4,j-1	i+5,j-1
	i+1,j-2	i+2,j-2	i+3,j-2	i+4,j-2	



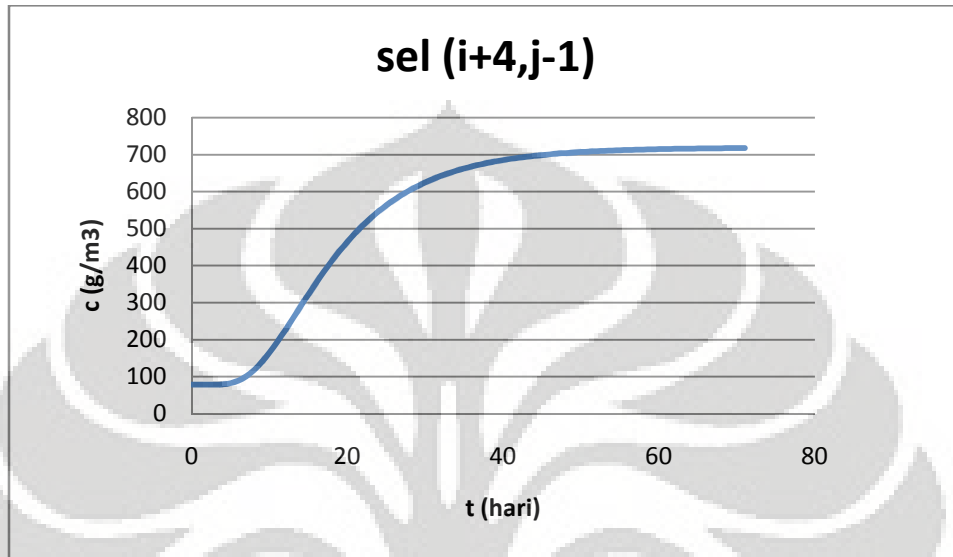
**Gambar 4.36** Grafik respon konsentrasi TSS terhadap waktu di sel (i+2, j-1) akibat pembebahan konstan



**Gambar 4.37** Grafik respon konsentrasi TSS terhadap waktu di sel (i+3, j-1) akibat pembebahan konstan

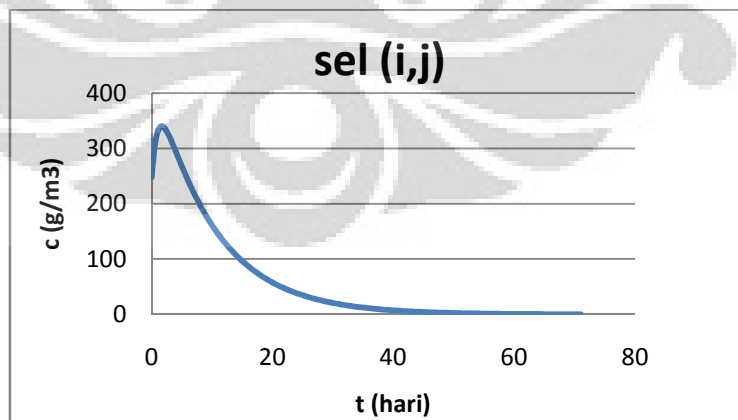
diskritasi sel:

	i+1,j+2	i+2,j+2	i+3,j+2	i+4,j+2	i+5,j+2
i,j+1	i+1,j+1	i+2,j+1	i+3,j+1	i+4,j+1	i+5,j+1
i,j	i+1,j	i+2,j	i+3,j	i+4,j	i+5,j
i,j-1	i+1,j-1	i+2,j-1	i+3,j-1	<b>i+4,j-1</b>	i+5,j-1
	i+1,j-2	i+2,j-2	i+3,j-2	i+4,j-2	



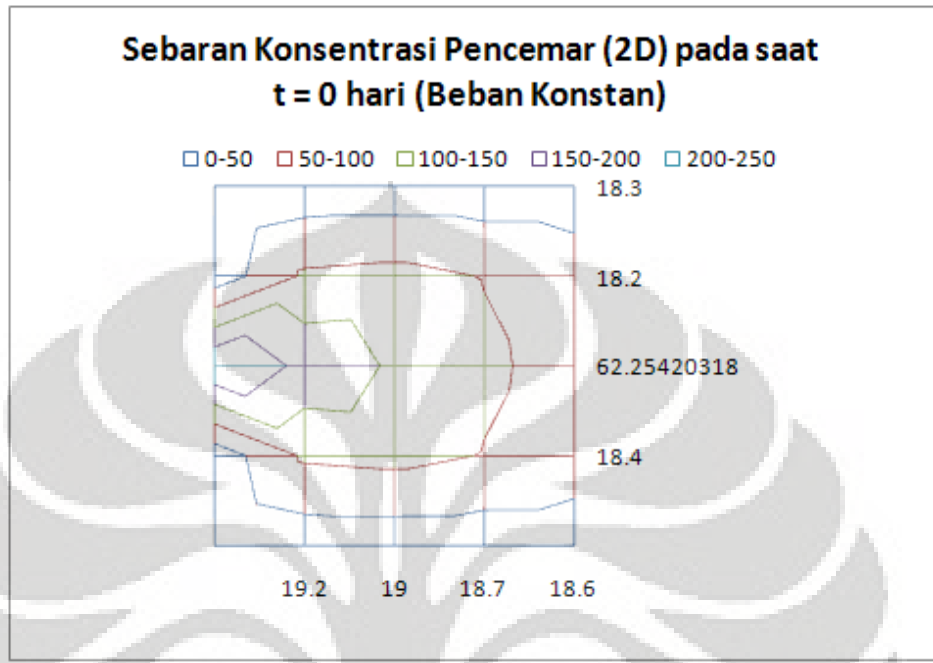
**Gambar 4.38** Grafik respon konsentrasi TSS terhadap waktu di sel (i+4, j-1)  
akibat pembebahan konstan

Oleh karena pembebahan yang terjadi pada sel i,j konstan, maka grafik respon kecepatan terhadap waktu yang terjadi merupakan fungsi eksponensial. Hal ini sesuai dengan grafik respon yang terdapat dalam buku Chapra.

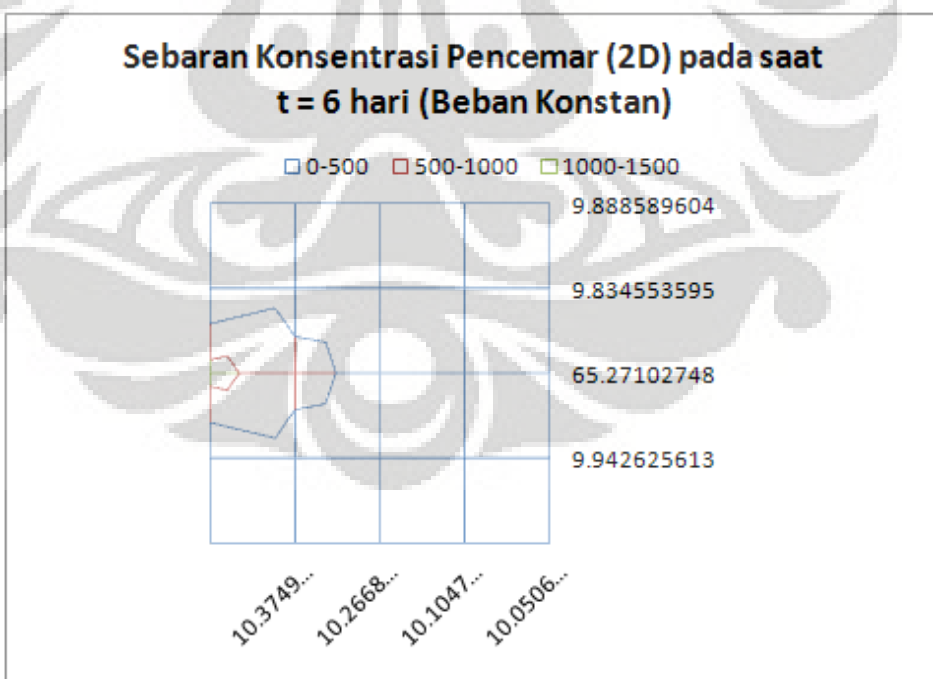


**Gambar 4.39** Grafik respon konsentrasi terhadap waktu

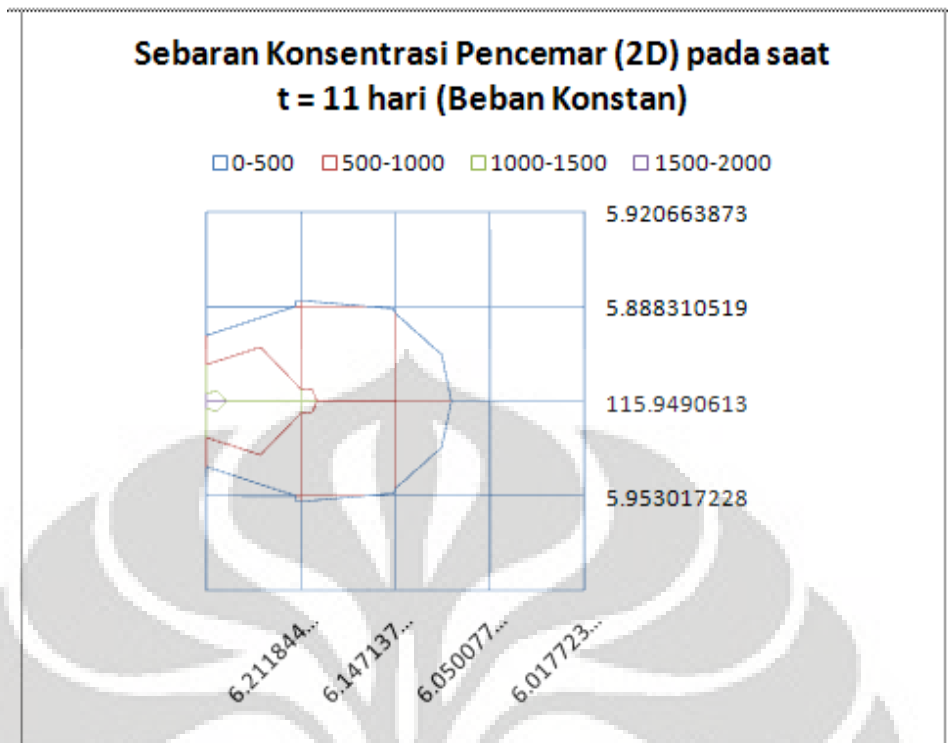
Secara dua dimensi, sebaran konsentrasi pencemar di danau Kenanga akibat beban konstan pada beberapa waktu dapat dilihat pada gambar berikut.



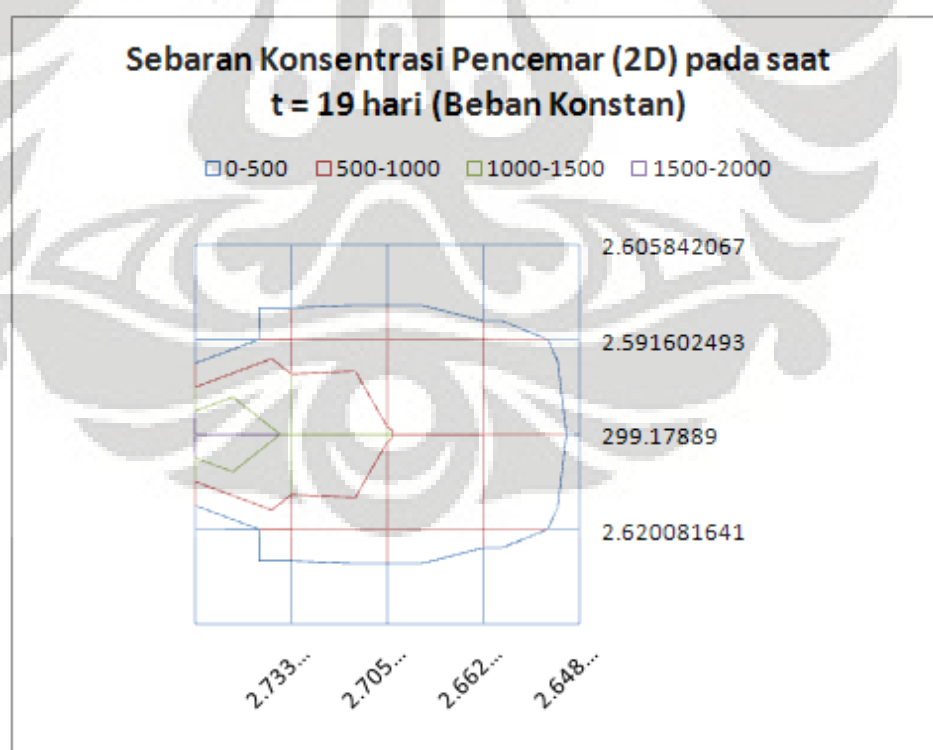
**Gambar 4.40** Sebaran konsentrasi pencemar secara lateral 2D pada saat  $t=0$  hari akibat pembebanan konstan



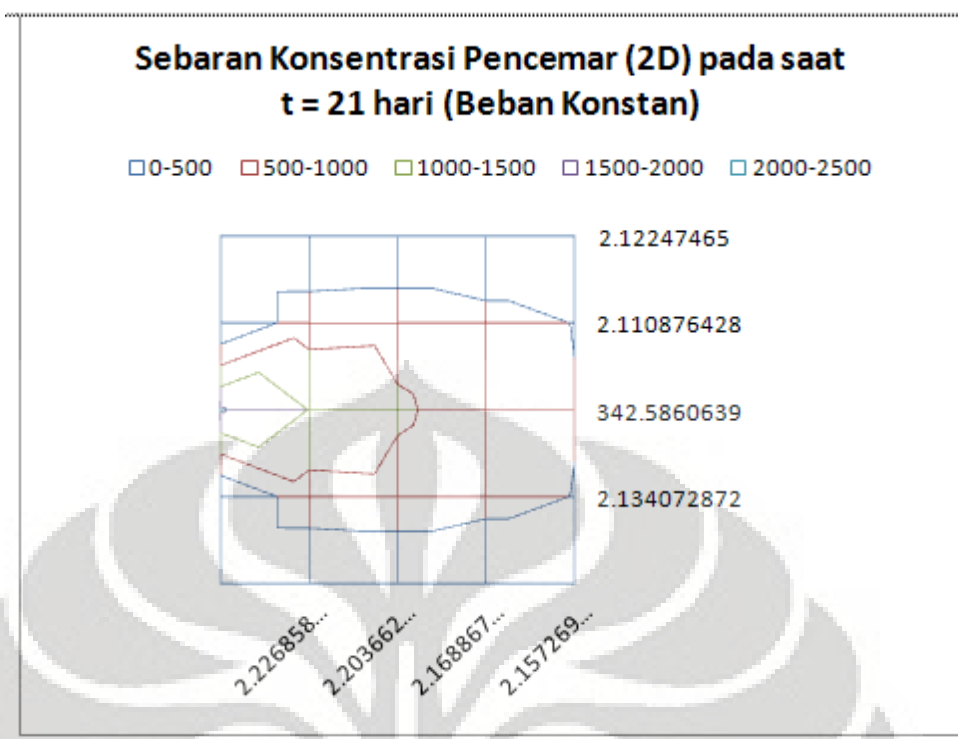
**Gambar 4.41** Sebaran konsentrasi pencemar secara lateral 2D pada saat  $t=6$  hari akibat pembebanan konstan



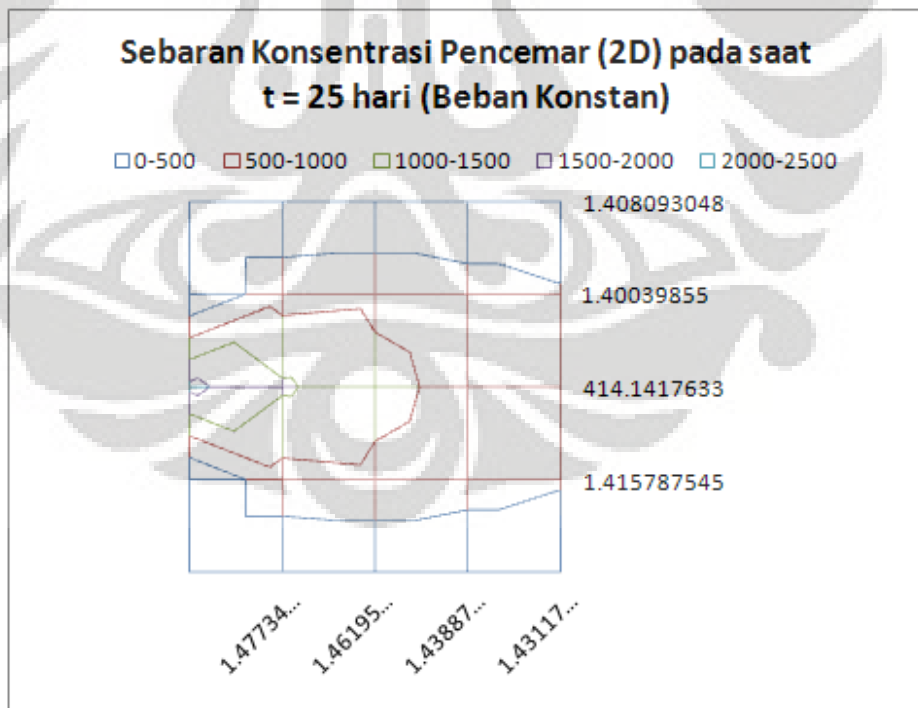
**Gambar 4.42** Sebaran konsentrasi pencemar secara lateral 2D pada saat t=11 hari akibat pembebangan konstan



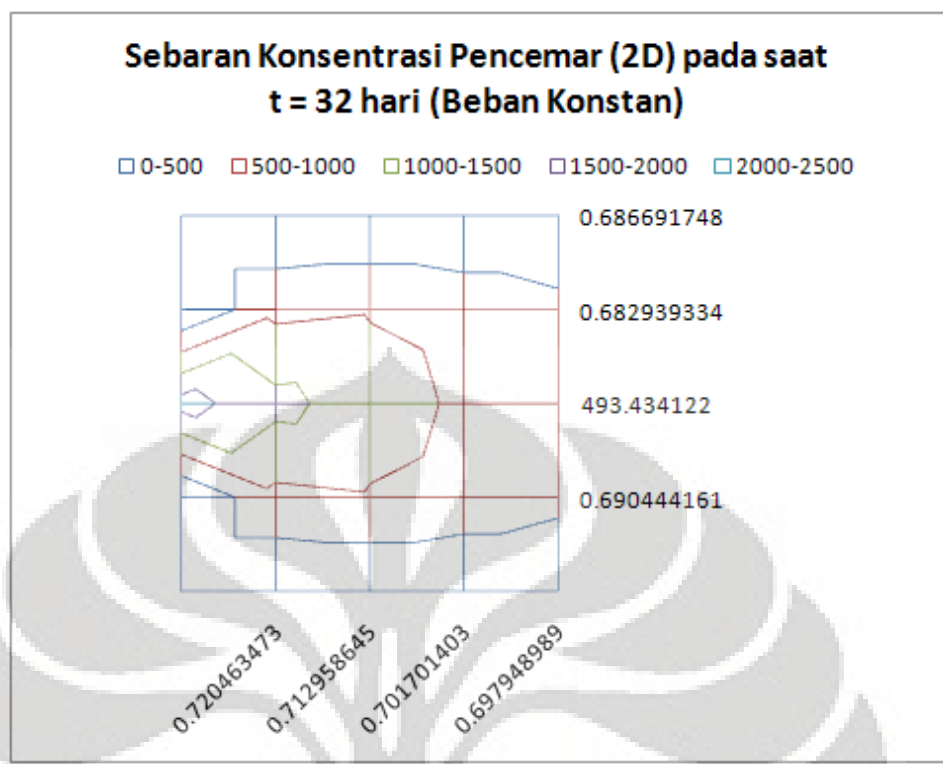
**Gambar 4.43** Sebaran konsentrasi pencemar secara lateral 2D pada saat t=19 hari akibat pembebangan konstan



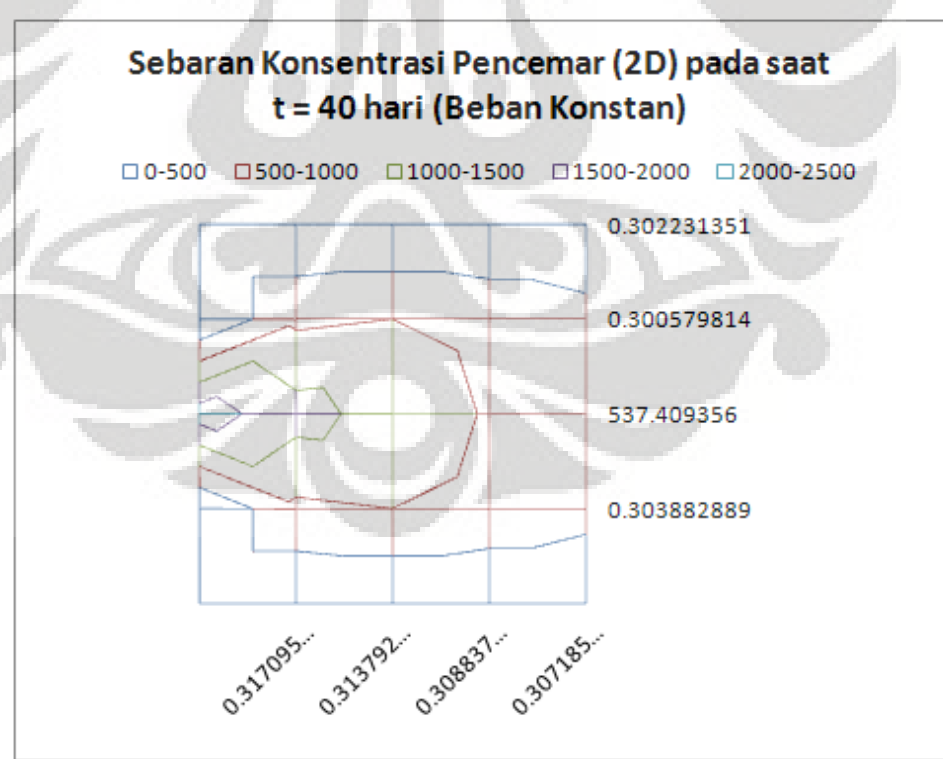
**Gambar 4.44** Sebaran konsentrasi pencemar secara lateral 2D pada saat t=21 hari akibat pembebanan konstan



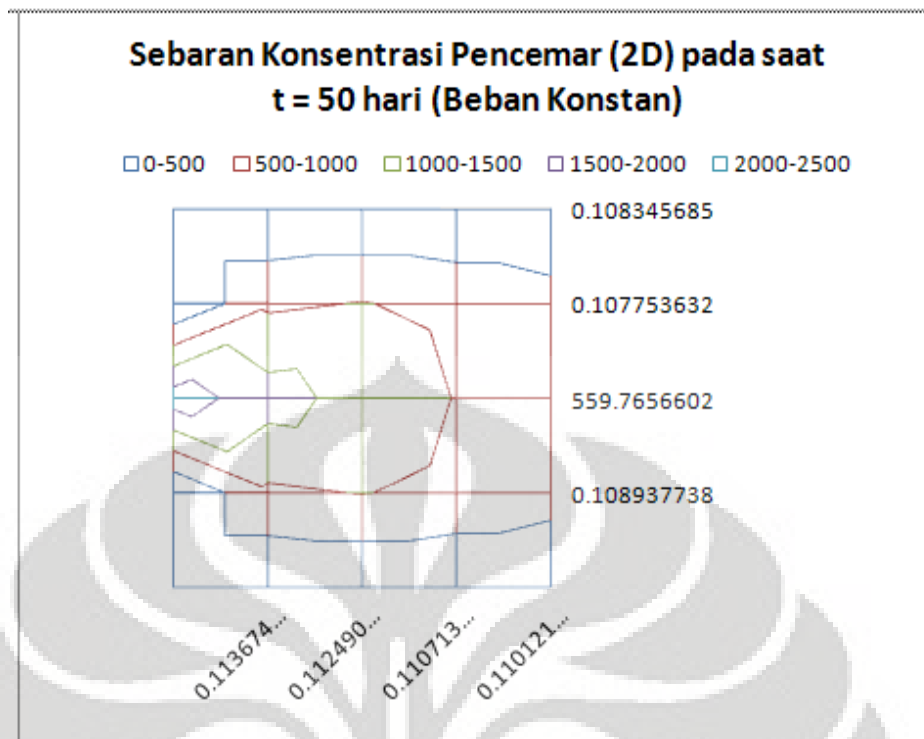
**Gambar 4.45** Sebaran konsentrasi pencemar secara lateral 2D pada saat t=25 hari akibat pembebanan konstan



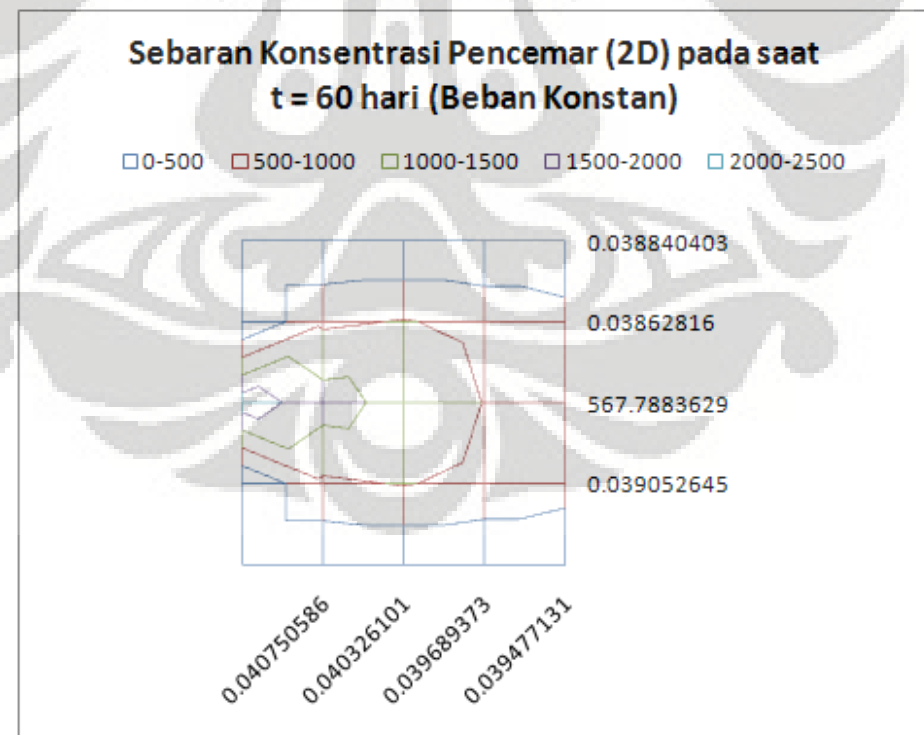
**Gambar 4.46** Sebaran konsentrasi pencemar secara lateral 2D pada saat t=32 hari akibat pembebangan konstan



**Gambar 4.47** Sebaran konsentrasi pencemar secara lateral 2D pada saat t=40 hari akibat pembebangan konstan



**Gambar 4.48** Sebaran konsentrasi pencemar secara lateral 2D pada saat  $t=50$  hari akibat pembebangan konstan



**Gambar 4.49** Sebaran konsentrasi pencemar secara lateral 2D pada saat  $t=60$  hari akibat pembebangan konstan

#### 4.2.3.2. Beban Pencemar Berubah terhadap Waktu

Terdapat limbah domestik dari Kota Depok yang masuk kedalam danau Kenanga melalui inlet. Untuk konservasi danau Kenanga UI yang telah tercemar dan pihak UI tidak ingin ada limbah yang masuk ke dalam kawasan danau UI, maka dibuat peraturan dengan masih dibolehkannya limbah domestik masuk kawasan kampus UI dengan catatan limbah yang masuk memenuhi persamaan eksponensial sebesar  $W(t) = W_0 \cdot e^{-t}$ . Diharapkan dengan kebijakan seperti itu, perlahan-lahan danau UI kembali pulih dan tidak tercemar.

Kondisi pembebasan berdasarkan fungsi eksponensial seperti diatas dimasukkan ke dalam model merupakan bentuk pembebasan yang berubah terhadap waktu.



**Gambar 4.50** Grafik pembebasan berubah terhadap waktu di sel (i,j)

Dengan menggunakan simulasi yang telah dibentuk, TSS di dalam danau hanya mengalami mekanisme adveksi dan pengendapan sehingga persamaan disimulasi untuk mekanisme reaksi diabaikan dengan mengisi nilai decay rate,  $k = 0$ . Untuk kondisi *steady*, maka didapat konsentrasi pencemar:

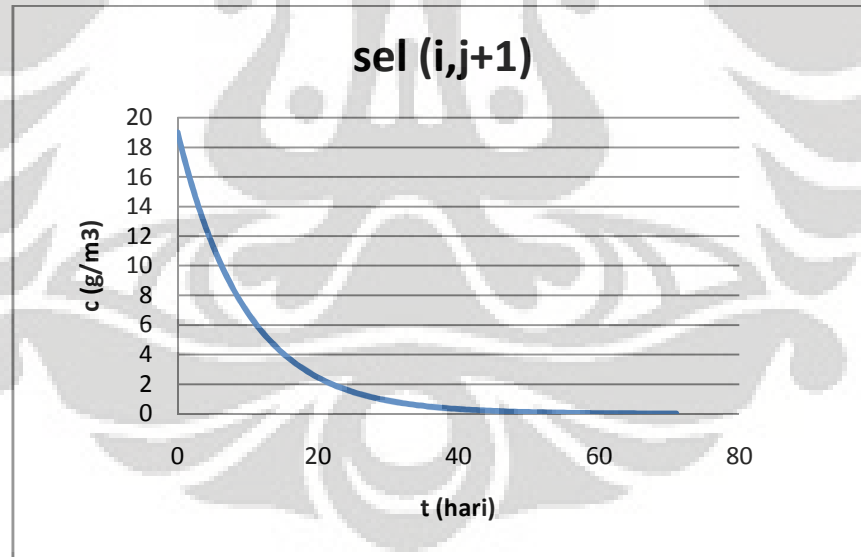
	19	18.7	18.5	18.4	18.3
19	107.3104	114.17618	98.1685711	78.53646	18.2
247.6785714	187.96533	142.6266	108.20732	82.08165	62.2542
19.5	107.40499	114.17521	98.1550448	78.52401	18.4
	19.2	19	18.7	18.6	

Gambar 4.51 Sebaran konsentrasi TSS dalam kondisi *steady* ( $\text{g}/\text{m}^3$ )

Berdasarkan pembebahan yang berubah terhadap waktu di sel  $(i,j)$ , maka untuk kondisi *unsteady*, konsentrasi pencemar akan berubah menurut waktu. Dengan menggunakan perubahan waktu (*time step*) sebesar 0,5 hari, maka didapat perubahan konsentrasi TSS untuk masing sel sebagai berikut.

diskritasi sel:

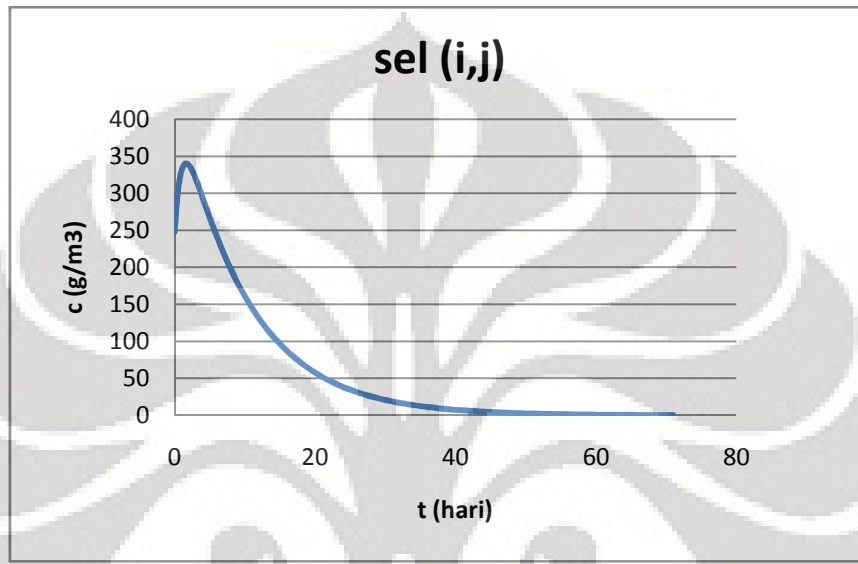
$i,j+1$	$i+1,j+2$	$i+2,j+2$	$i+3,j+2$	$i+4,j+2$	$i+5,j+2$
$i,j$	$i+1,j$	$i+2,j$	$i+3,j$	$i+4,j$	$i+5,j$
$i,j-1$	$i+1,j-1$	$i+2,j-1$	$i+3,j-1$	$i+4,j-1$	$i+5,j-1$
	$i+1,j-2$	$i+2,j-2$	$i+3,j-2$	$i+4,j-2$	



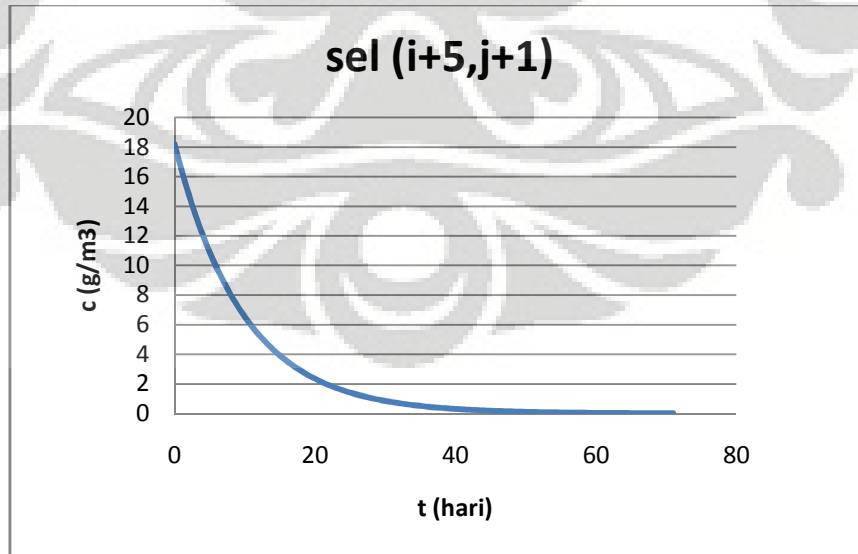
Gambar 4.52 Grafik respon konsentrasi TSS terhadap waktu di sel  $(i, j+1)$  akibat pembebahan berubah terhadap waktu

diskritasi sel:

	i+1,j+2	i+2,j+2	i+3,j+2	i+4,j+2	i+5,j+2
i,j+1	i+1,j+1	i+2,j+1	i+3,j+1	i+4,j+1	<b>i+5,j+1</b>
<b>i,j</b>	i+1,j	i+2,j	i+3,j	i+4,j	i+5,j
i,j-1	i+1,j-1	i+2,j-1	i+3,j-1	i+4,j-1	i+5,j-1
	i+1,j-2	i+2,j-2	i+3,j-2	i+4,j-2	



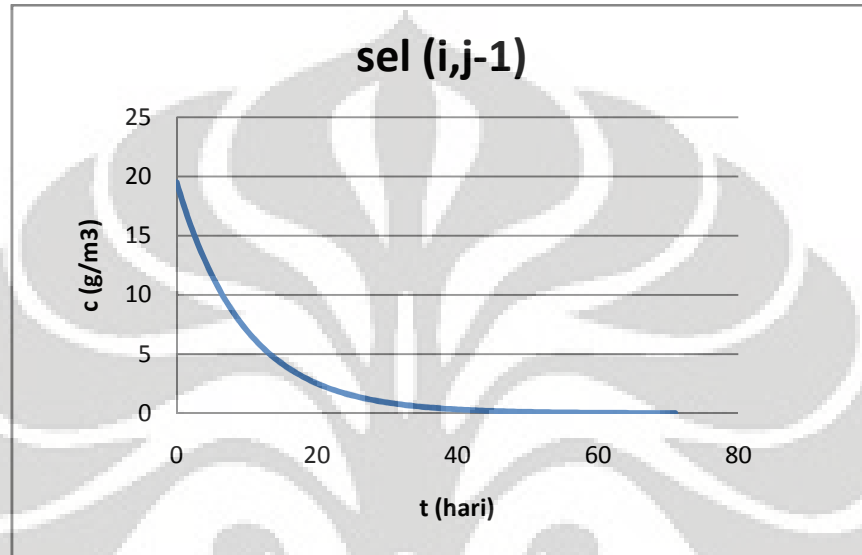
**Gambar 4.53** Grafik respon konsentrasi TSS terhadap waktu di sel  $(i, j)$  akibat pembebangan berubah terhadap waktu



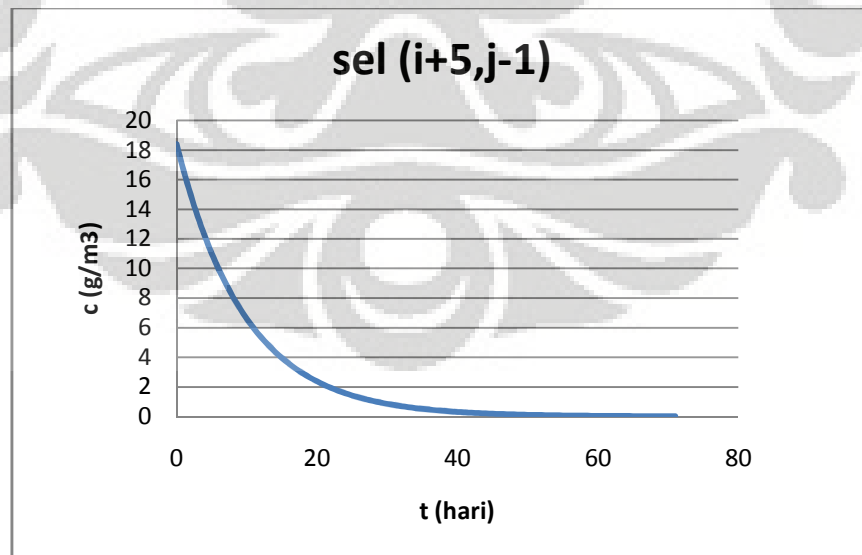
**Gambar 4.54** Grafik respon konsentrasi TSS terhadap waktu di sel  $(i+5, j+1)$  akibat pembebangan berubah terhadap waktu

diskritasi sel:

	i+1,j+2	i+2,j+2	i+3,j+2	i+4,j+2	i+5,j+2
i,j+1	i+1,j+1	i+2,j+1	i+3,j+1	i+4,j+1	i+5,j+1
i,j	i+1,j	i+2,j	i+3,j	i+4,j	i+5,j
<b>i,j-1</b>	i+1,j-1	i+2,j-1	i+3,j-1	i+4,j-1	<b>i+5,j-1</b>
	i+1,j-2	i+2,j-2	i+3,j-2	i+4,j-2	



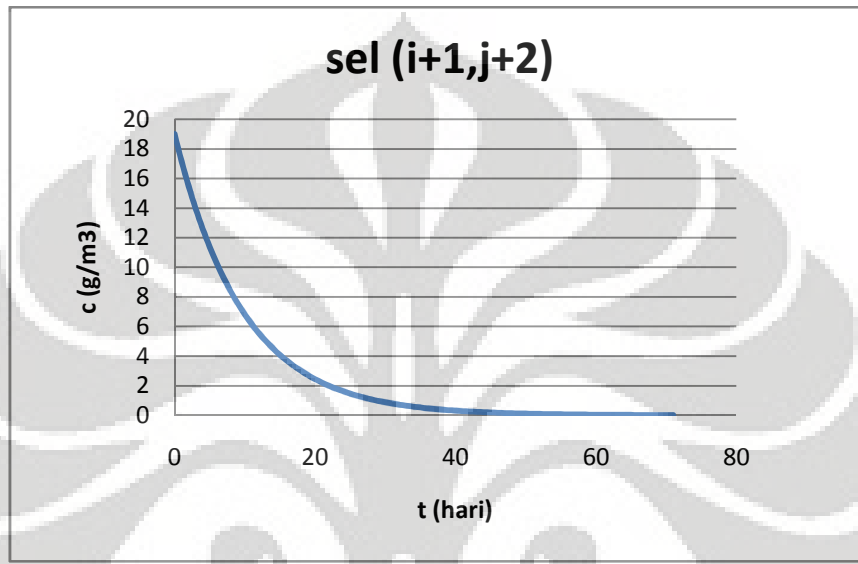
**Gambar 4.55** Grafik respon konsentrasi TSS terhadap waktu di sel (i, j-1) akibat pembebahan berubah terhadap waktu



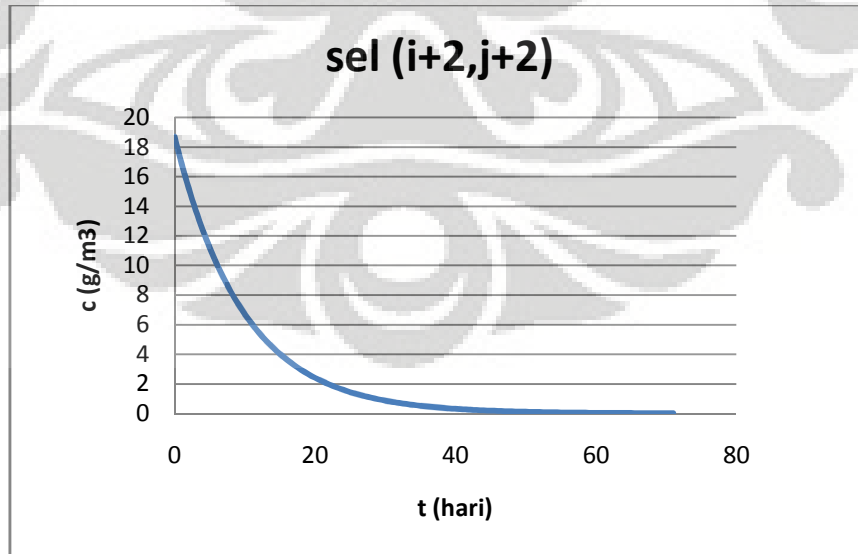
**Gambar 4.56** Grafik respon konsentrasi TSS terhadap waktu di sel (i+5, j-1) akibat pembebahan berubah terhadap waktu

diskritasi sel:

	$i+1,j+2$	$i+2,j+2$	$i+3,j+2$	$i+4,j+2$	$i+5,j+2$
$i,j+1$	$i+1,j+1$	$i+2,j+1$	$i+3,j+1$	$i+4,j+1$	$i+5,j+1$
$i,j$	$i+1,j$	$i+2,j$	$i+3,j$	$i+4,j$	$i+5,j$
$i,j-1$	$i+1,j-1$	$i+2,j-1$	$i+3,j-1$	$i+4,j-1$	$i+5,j-1$
	$i+1,j-2$	$i+2,j-2$	$i+3,j-2$	$i+4,j-2$	



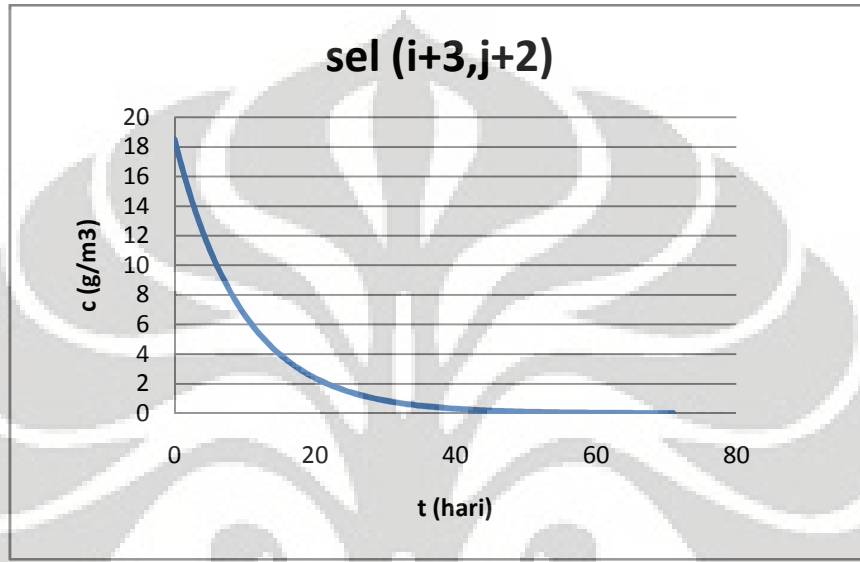
**Gambar 4.57** Grafik respon konsentrasi TSS terhadap waktu di sel  $(i+1, j+2)$  akibat pembebahan berubah terhadap waktu



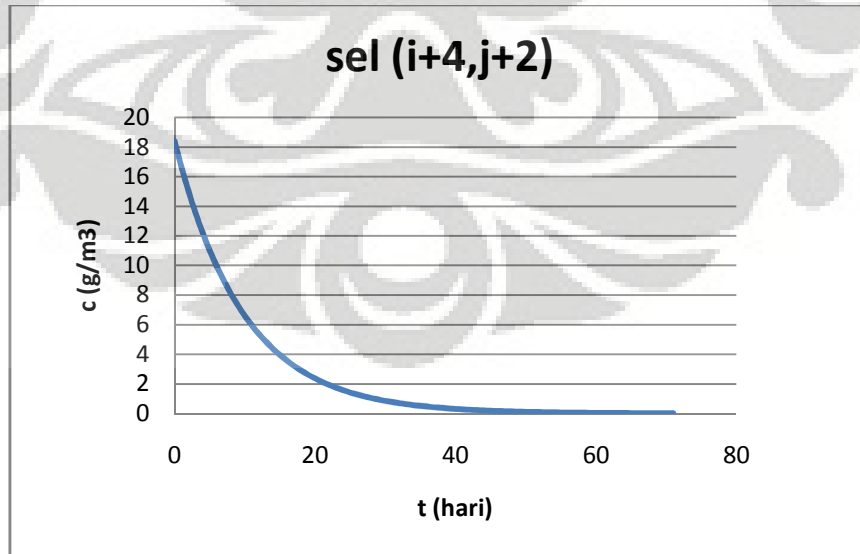
**Gambar 4.58** Grafik respon konsentrasi TSS terhadap waktu di sel  $(i+2, j+2)$  akibat pembebahan berubah terhadap waktu

diskritasi sel:

	i+1,j+2	i+2,j+2	<b>i+3,j+2</b>	i+4,j+2	i+5,j+2
i,j+1	i+1,j+1	i+2,j+1	i+3,j+1	i+4,j+1	i+5,j+1
i,j	i+1,j	i+2,j	i+3,j	i+4,j	i+5,j
i,j-1	i+1,j-1	i+2,j-1	i+3,j-1	i+4,j-1	i+5,j-1
	i+1,j-2	i+2,j-2	i+3,j-2	i+4,j-2	



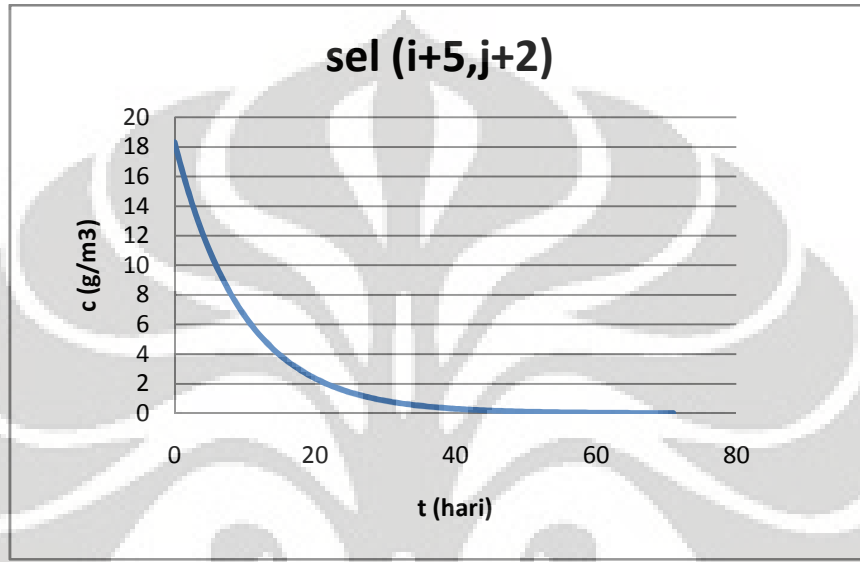
**Gambar 4.59** Grafik respon konsentrasi TSS terhadap waktu di sel (i+3, j+2) akibat pembebahan berubah terhadap waktu



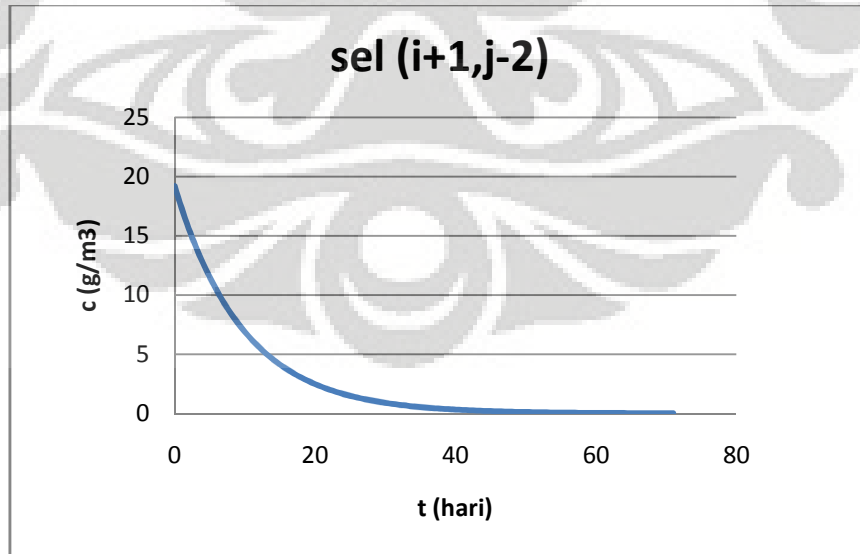
**Gambar 4.60** Grafik respon konsentrasi TSS terhadap waktu di sel (i+4, j+2) akibat pembebahan berubah terhadap waktu

diskritasi sel:

	$i+1,j+2$	$i+2,j+2$	$i+3,j+2$	$i+4,j+2$	$i+5,j+2$
$i,j+1$	$i+1,j+1$	$i+2,j+1$	$i+3,j+1$	$i+4,j+1$	$i+5,j+1$
$i,j$	$i+1,j$	$i+2,j$	$i+3,j$	$i+4,j$	$i+5,j$
$i,j-1$	$i+1,j-1$	$i+2,j-1$	$i+3,j-1$	$i+4,j-1$	$i+5,j-1$
$i+1,j-2$	$i+2,j-2$	$i+3,j-2$	$i+4,j-2$		



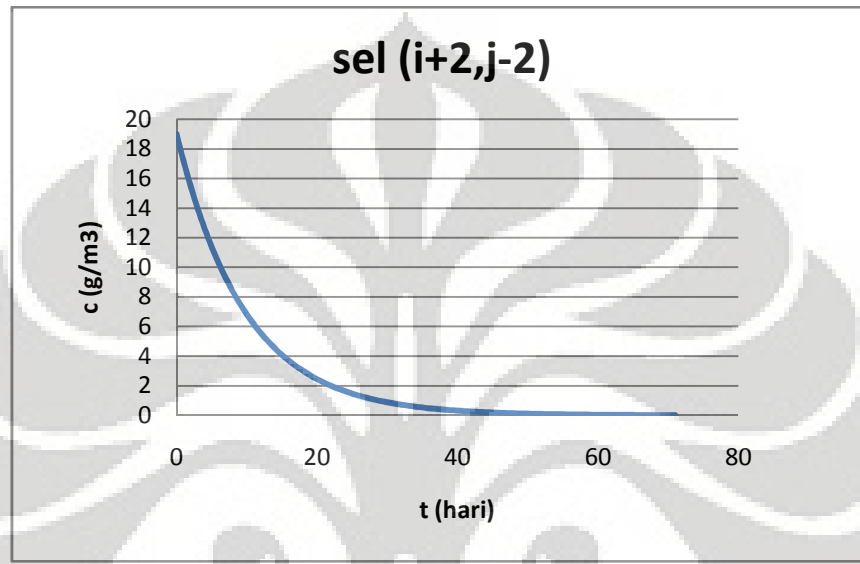
**Gambar 4.61** Grafik respon konsentrasi TSS terhadap waktu di sel  $(i+5, j+2)$  akibat pembebahan berubah terhadap waktu



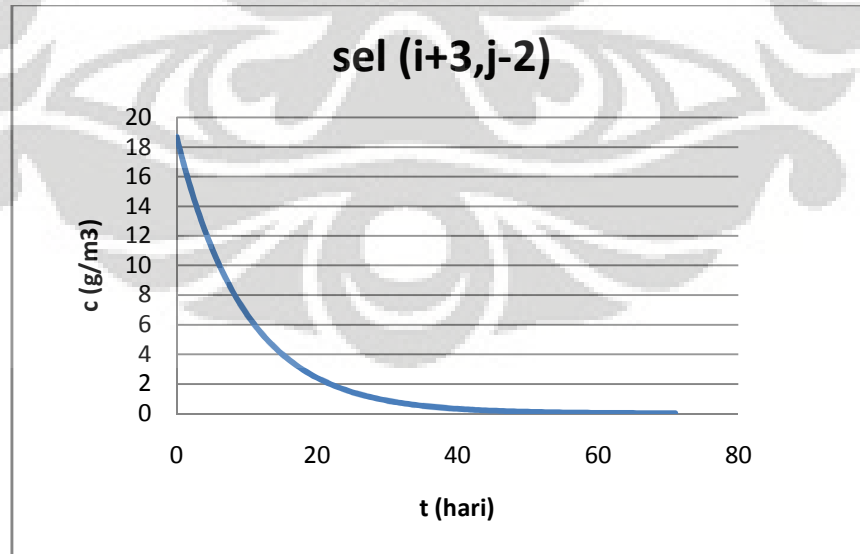
**Gambar 4.62** Grafik respon konsentrasi TSS terhadap waktu di sel  $(i+1, j-2)$  akibat pembebahan berubah terhadap waktu

diskritasi sel:

	i+1,j+2	i+2,j+2	i+3,j+2	i+4,j+2	i+5,j+2
i,j+1	i+1,j+1	i+2,j+1	i+3,j+1	i+4,j+1	i+5,j+1
i,j	i+1,j	i+2,j	i+3,j	i+4,j	i+5,j
i,j-1	i+1,j-1	i+2,j-1	i+3,j-1	i+4,j-1	i+5,j-1
	i+1,j-2	i+2,j-2	i+3,j-2	i+4,j-2	



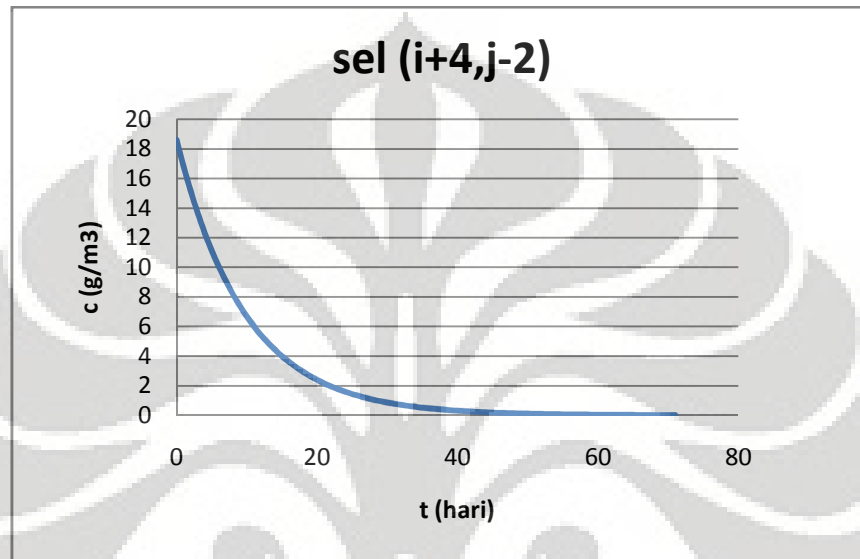
**Gambar 4.63** Grafik respon konsentrasi TSS terhadap waktu di sel (i+2, j-2) akibat pembebangan berubah terhadap waktu



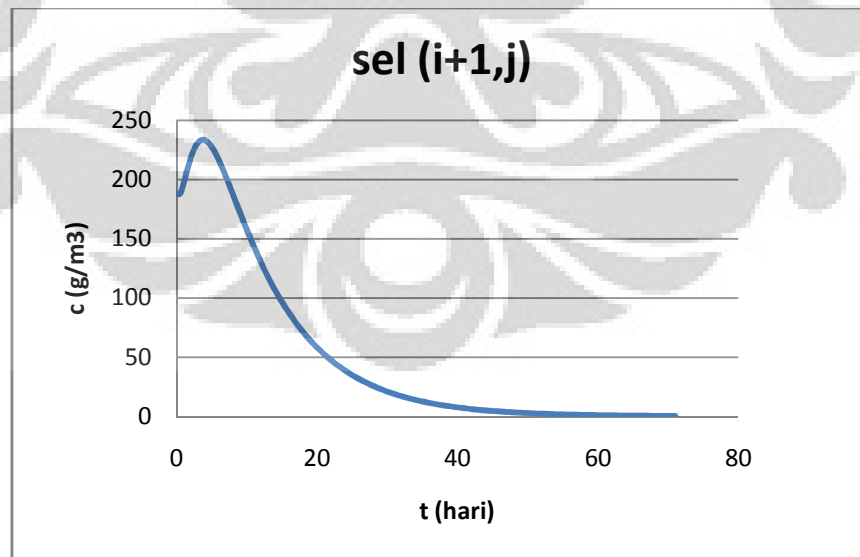
**Gambar 4.64** Grafik respon konsentrasi TSS terhadap waktu di sel (i+3, j-2) akibat pembebangan berubah terhadap waktu

diskritasi sel:

	i+1,j+2	i+2,j+2	i+3,j+2	i+4,j+2	i+5,j+2
i,j+1	i+1,j+1	i+2,j+1	i+3,j+1	i+4,j+1	i+5,j+1
i,j	<b>i+1,j</b>	i+2,j	i+3,j	i+4,j	i+5,j
i,j-1	i+1,j-1	i+2,j-1	i+3,j-1	i+4,j-1	i+5,j-1
	i+1,j-2	i+2,j-2	i+3,j-2	<b>i+4,j-2</b>	



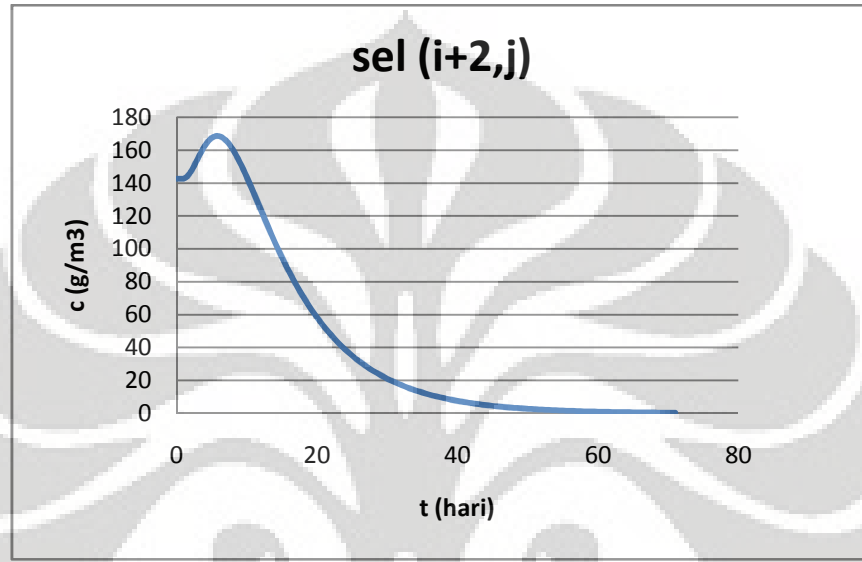
**Gambar 4.65** Grafik respon konsentrasi TSS terhadap waktu di sel (i+4, j-2) akibat pembebahan berubah terhadap waktu



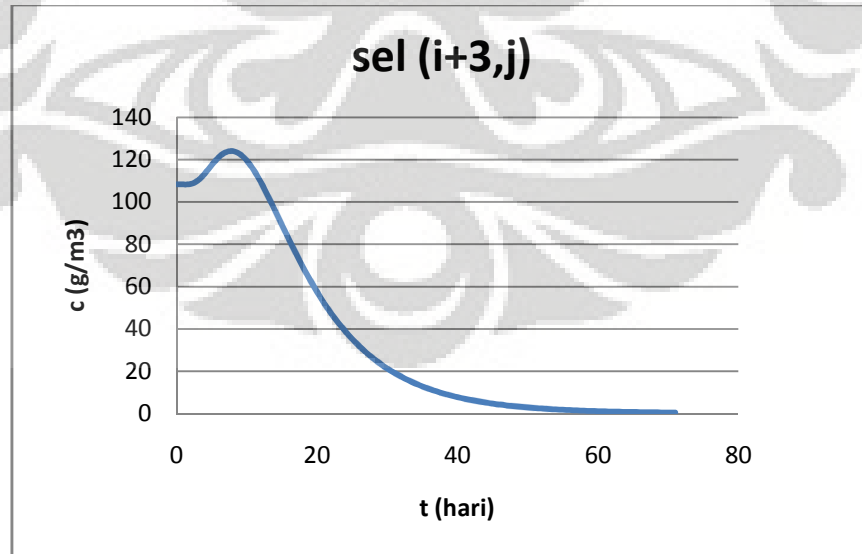
**Gambar 4.66** Grafik respon konsentrasi TSS terhadap waktu di sel (i+1, j) akibat pembebahan berubah terhadap waktu

diskritasi sel:

	i+1,j+2	i+2,j+2	i+3,j+2	i+4,j+2	i+5,j+2
i,j+1	i+1,j+1	i+2,j+1	i+3,j+1	i+4,j+1	i+5,j+1
i,j	i+1,j	i+2,j	i+3,j	i+4,j	i+5,j
i,j-1	i+1,j-1	i+2,j-1	i+3,j-1	i+4,j-1	i+5,j-1
	i+1,j-2	i+2,j-2	i+3,j-2	i+4,j-2	



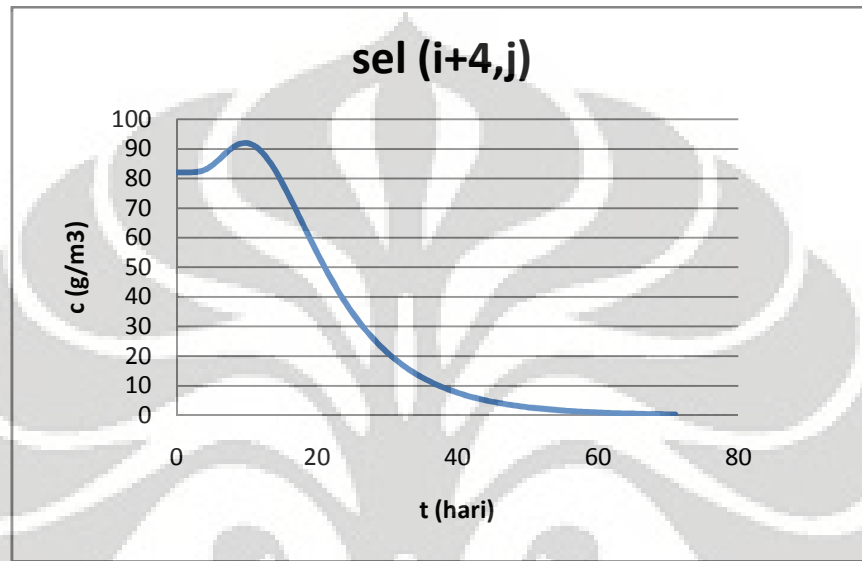
**Gambar 4.67** Grafik respon konsentrasi TSS terhadap waktu di sel (i+2, j)  
akibat pembebangan berubah terhadap waktu



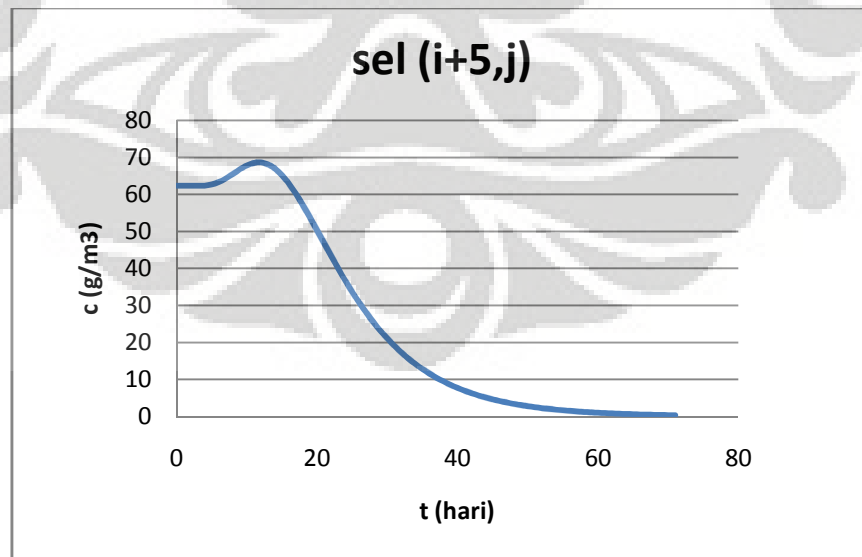
**Gambar 4.68** Grafik respon konsentrasi TSS terhadap waktu di sel (i+3, j)  
akibat pembebangan berubah terhadap waktu

diskritasi sel:

	i+1,j+2	i+2,j+2	i+3,j+2	i+4,j+2	i+5,j+2
i,j+1	i+1,j+1	i+2,j+1	i+3,j+1	i+4,j+1	i+5,j+1
i,j	i+1,j	i+2,j	i+3,j	<b>i+4,j</b>	<b>i+5,j</b>
i,j-1	i+1,j-1	i+2,j-1	i+3,j-1	i+4,j-1	i+5,j-1
	i+1,j-2	i+2,j-2	i+3,j-2	i+4,j-2	



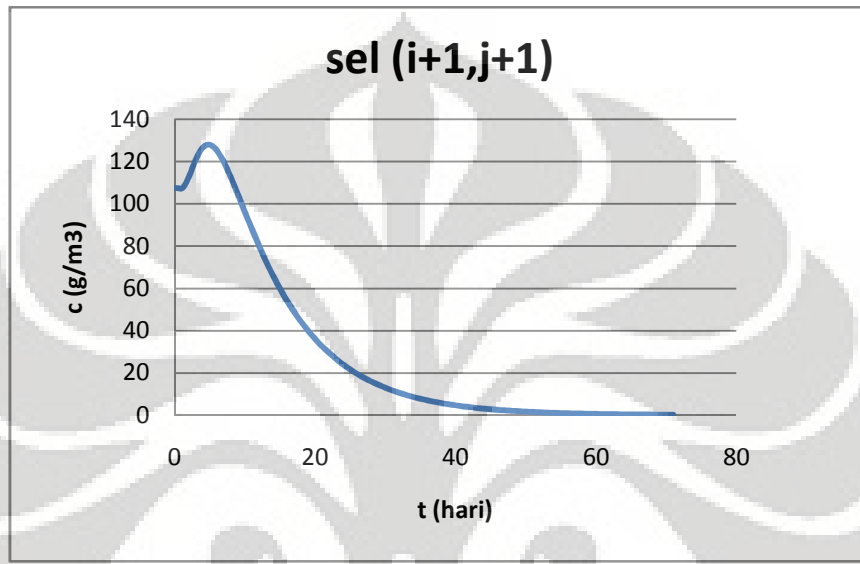
**Gambar 4.69** Grafik respon konsentrasi TSS terhadap waktu di sel (i+4, j) akibat pembebahan berubah terhadap waktu



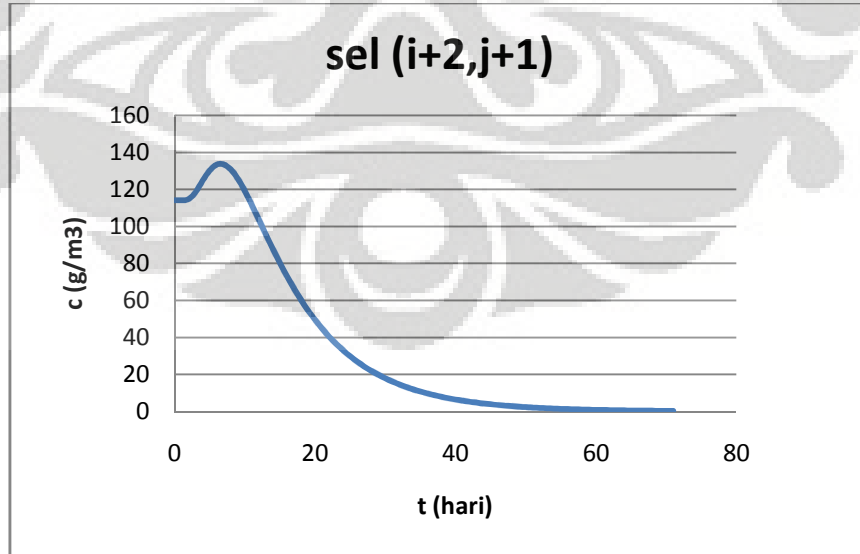
**Gambar 4.70** Grafik respon konsentrasi TSS terhadap waktu di sel (i+5, j) akibat pembebahan berubah terhadap waktu

diskritasi sel:

	i+1,j+2	i+2,j+2	i+3,j+2	i+4,j+2	i+5,j+2
i,j+1	<b>i+1,j+1</b>	<b>i+2,j+1</b>	i+3,j+1	i+4,j+1	i+5,j+1
i,j	i+1,j	i+2,j	i+3,j	i+4,j	i+5,j
i,j-1	i+1,j-1	i+2,j-1	i+3,j-1	i+4,j-1	i+5,j-1
	i+1,j-2	i+2,j-2	i+3,j-2	i+4,j-2	



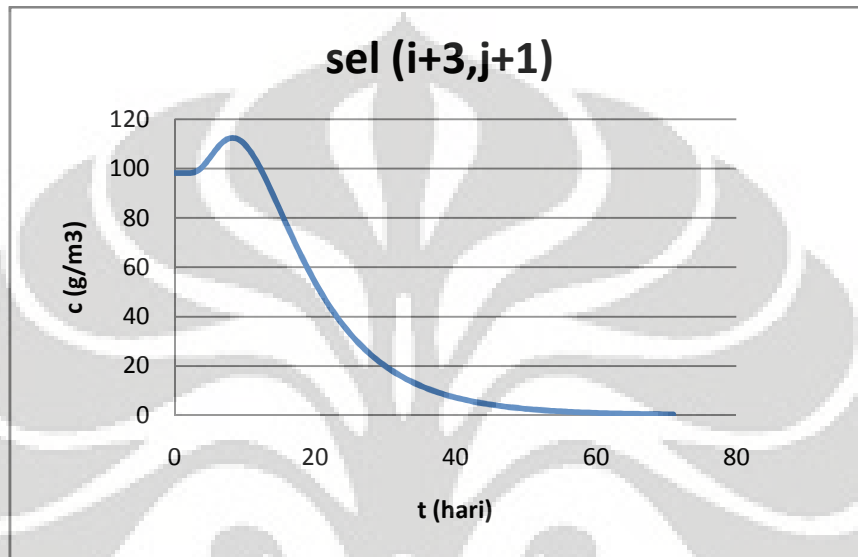
**Gambar 4.71** Grafik respon konsentrasi TSS terhadap waktu di sel  $(i+1, j+1)$  akibat pembebangan berubah terhadap waktu



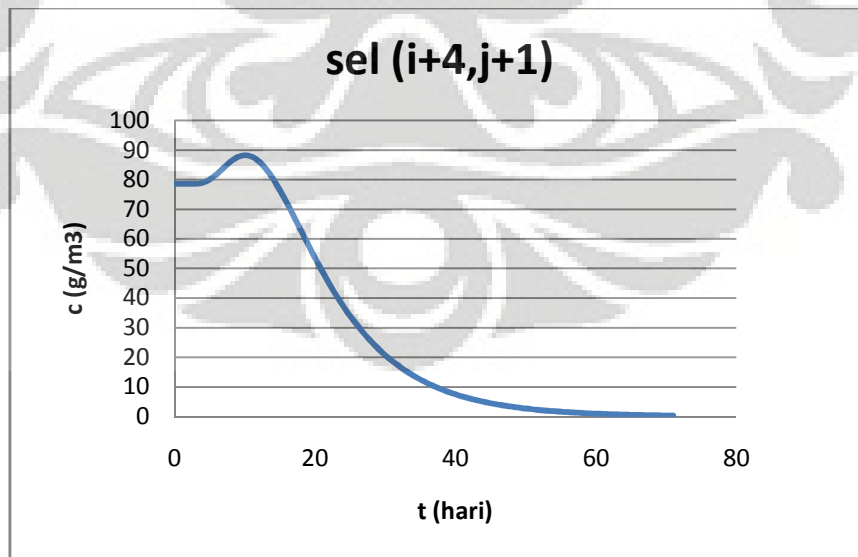
**Gambar 4.72** Grafik respon konsentrasi TSS terhadap waktu di sel  $(i+2, j+1)$  akibat pembebangan berubah terhadap waktu

diskritasi sel:

	i+1,j+2	i+2,j+2	i+3,j+2	i+4,j+2	i+5,j+2
i,j+1	i+1,j+1	i+2,j+1	<b>i+3,j+1</b>	<b>i+4,j+1</b>	i+5,j+1
i,j	i+1,j	i+2,j	i+3,j	i+4,j	i+5,j
i,j-1	i+1,j-1	i+2,j-1	i+3,j-1	i+4,j-1	i+5,j-1
	i+1,j-2	i+2,j-2	i+3,j-2	i+4,j-2	



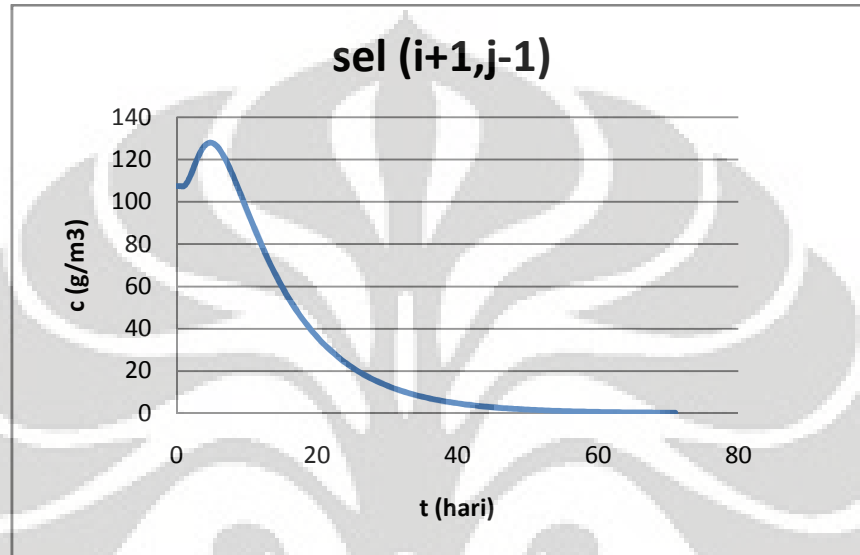
**Gambar 4.73** Grafik respon konsentrasi TSS terhadap waktu di sel  $(i+3, j+1)$  akibat pembebahan berubah terhadap waktu



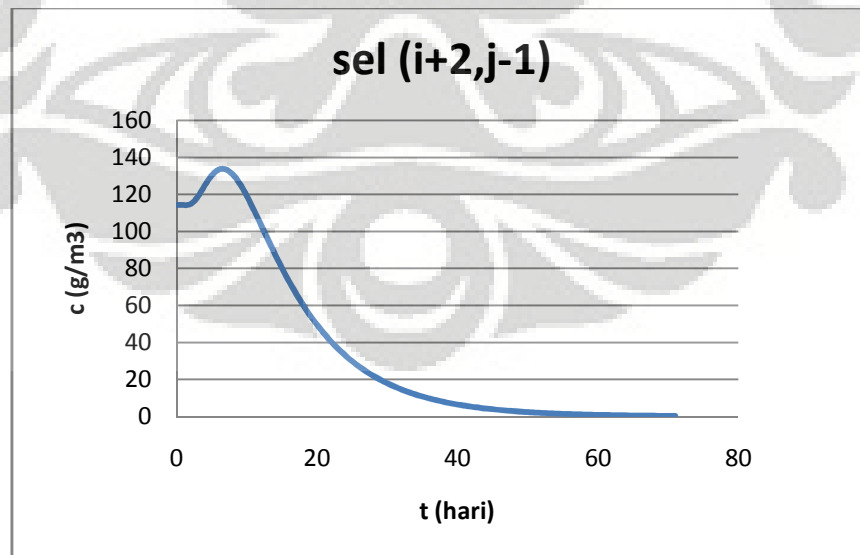
**Gambar 4.74** Grafik respon konsentrasi TSS terhadap waktu di sel  $(i+4, j+1)$  akibat pembebahan berubah terhadap waktu

diskritasi sel:

	i+1,j+2	i+2,j+2	i+3,j+2	i+4,j+2	i+5,j+2
i,j+1	i+1,j+1	i+2,j+1	i+3,j+1	i+4,j+1	i+5,j+1
i,j	i+1,j	i+2,j	i+3,j	i+4,j	i+5,j
i,j-1	<b>i+1,j-1</b>	<b>i+2,j-1</b>	i+3,j-1	i+4,j-1	i+5,j-1
	i+1,j-2	i+2,j-2	i+3,j-2	i+4,j-2	



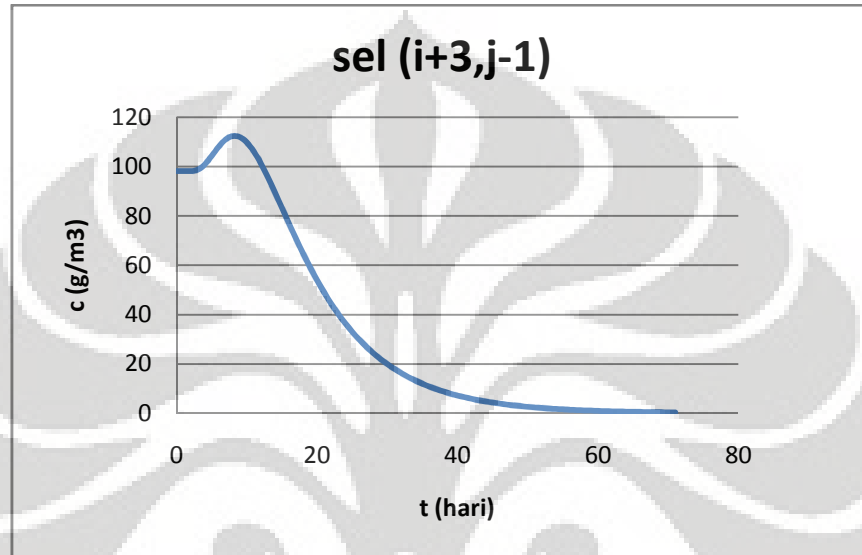
**Gambar 4.75** Grafik respon konsentrasi TSS terhadap waktu di sel (i+1, j-1) akibat pembebahan berubah terhadap waktu



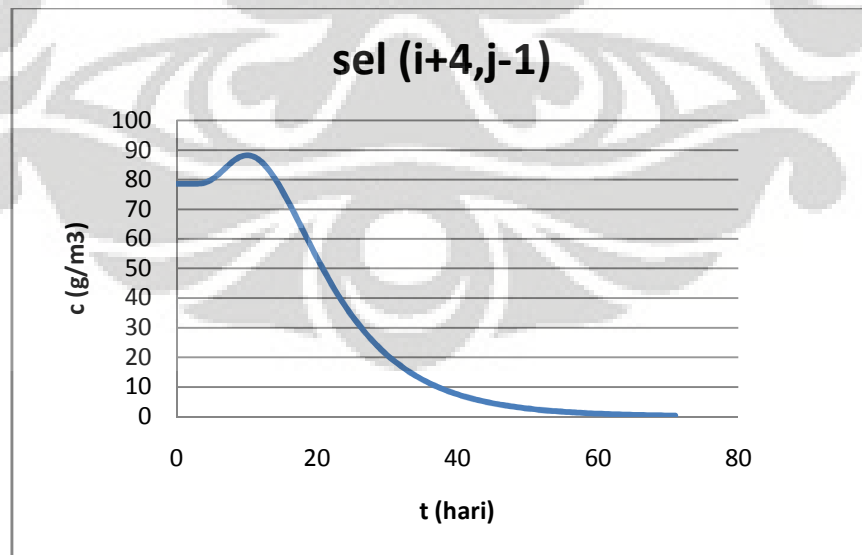
**Gambar 4.76** Grafik respon konsentrasi TSS terhadap waktu di sel (i+2, j-1) akibat pembebahan berubah terhadap waktu

diskritasi sel:

	i+1,j+2	i+2,j+2	i+3,j+2	i+4,j+2	i+5,j+2
i,j+1	i+1,j+1	i+2,j+1	i+3,j+1	i+4,j+1	i+5,j+1
i,j	i+1,j	i+2,j	i+3,j	i+4,j	i+5,j
i,j-1	i+1,j-1	i+2,j-1	i+3,j-1	i+4,j-1	i+5,j-1
	i+1,j-2	i+2,j-2	i+3,j-2	i+4,j-2	



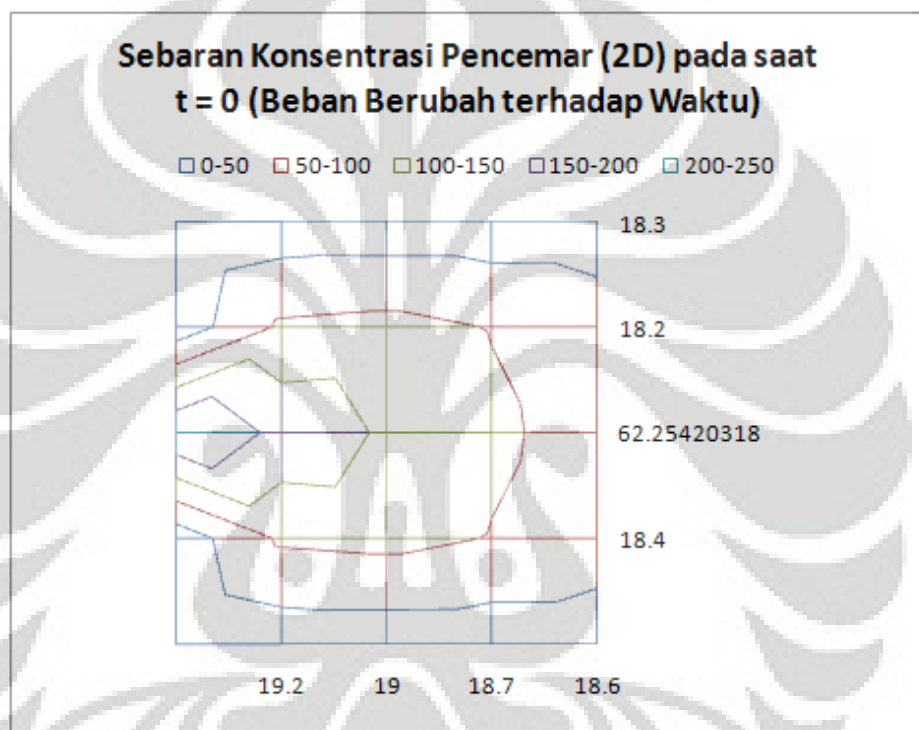
**Gambar 4.77** Grafik respon konsentrasi TSS terhadap waktu di sel (i+3, j-1) akibat pembebahan berubah terhadap waktu



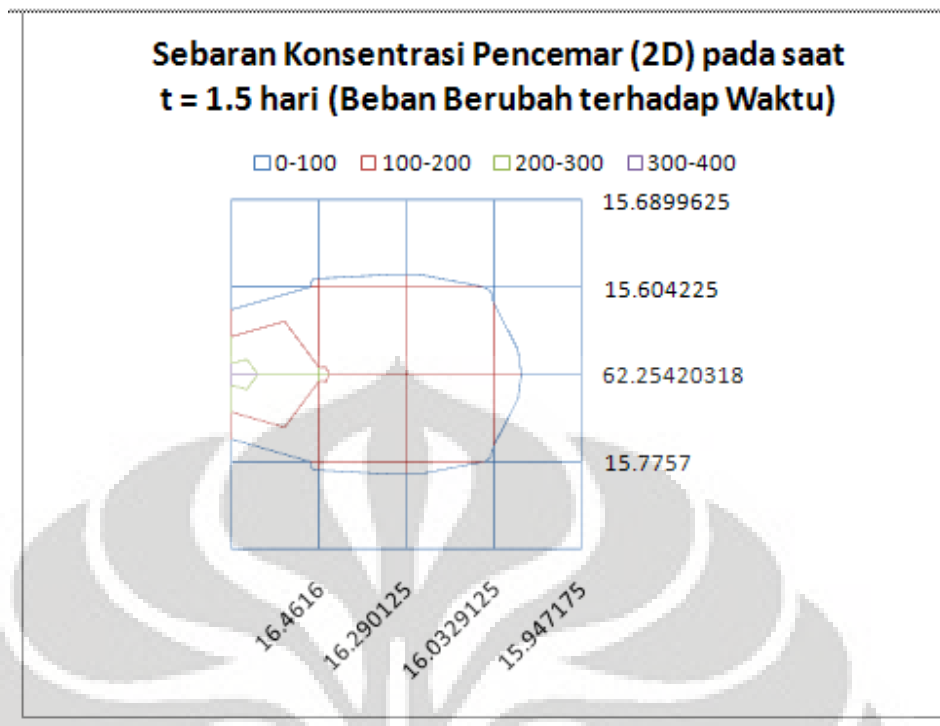
**Gambar 4.78** Grafik respon konsentrasi TSS terhadap waktu di sel (i+4, j-1) akibat pembebahan berubah terhadap waktu

Oleh karena pembebanan yang terjadi pada sel i,j berubah terhadap waktu, maka grafik respon kecepatan terhadap waktu yang terjadi seperti pada gambar 4.14. Hal ini sesuai dengan grafik respon yang terdapat dalam buku Chapra.

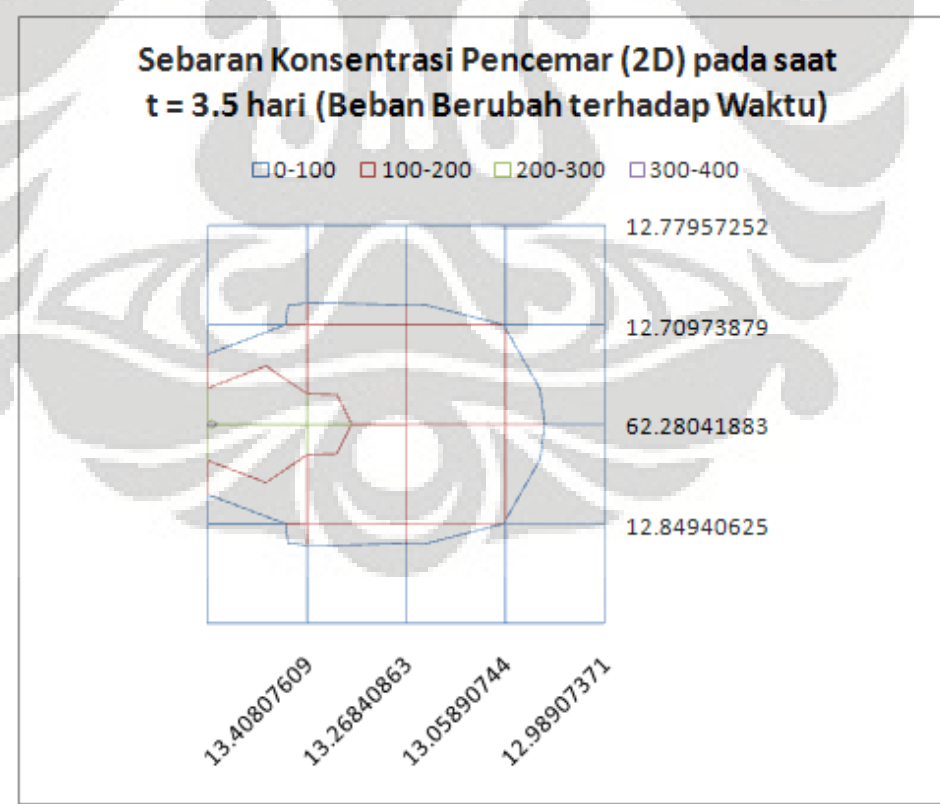
Secara dua dimensi, sebaran konsentrasi pencemar di danau Kenanga akibat beban yang berubah terhadap waktu pada beberapa waktu dapat dilihat pada gambar berikut.



**Gambar 4.79** Sebaran konsentrasi pencemar secara lateral 2D pada saat  $t=0$  hari akibat pembebanan berubah terhadap waktu



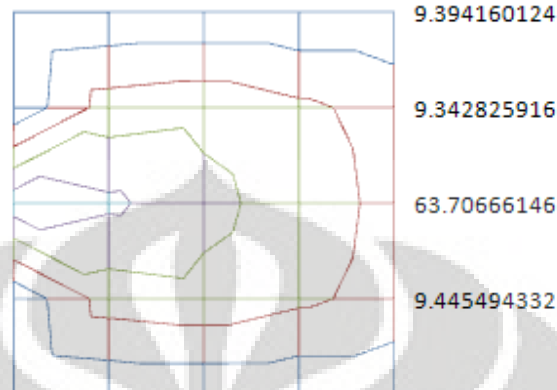
**Gambar 4.80** Sebaran konsentrasi pencemar secara lateral 2D pada saat  $t=1,5$  hari akibat pembebaan berubah terhadap waktu



**Gambar 4.81** Sebaran konsentrasi pencemar secara lateral 2D pada saat  $t=3,5$  hari akibat pembebaan berubah terhadap waktu

### Sebaran Konsentrasi Pencemar (2D) pada saat t = 6.5 hari (Beban Berubah terhadap Waktu)

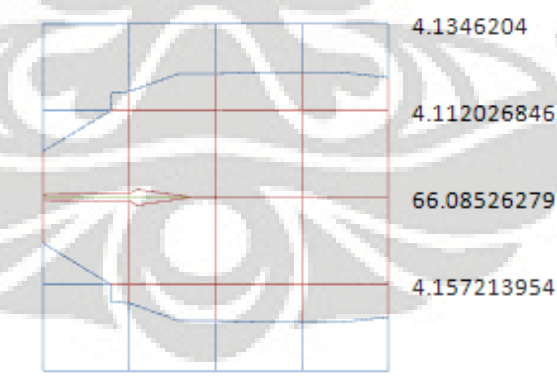
□ 0-50 □ 50-100 □ 100-150 □ 150-200 □ 200-250



9.856167999  
9.753499582  
9.599496957  
9.548162749

### Sebaran Konsentrasi Pencemar (2D) pada saat t = 14.5 hari (Beban Berubah terhadap Waktu)

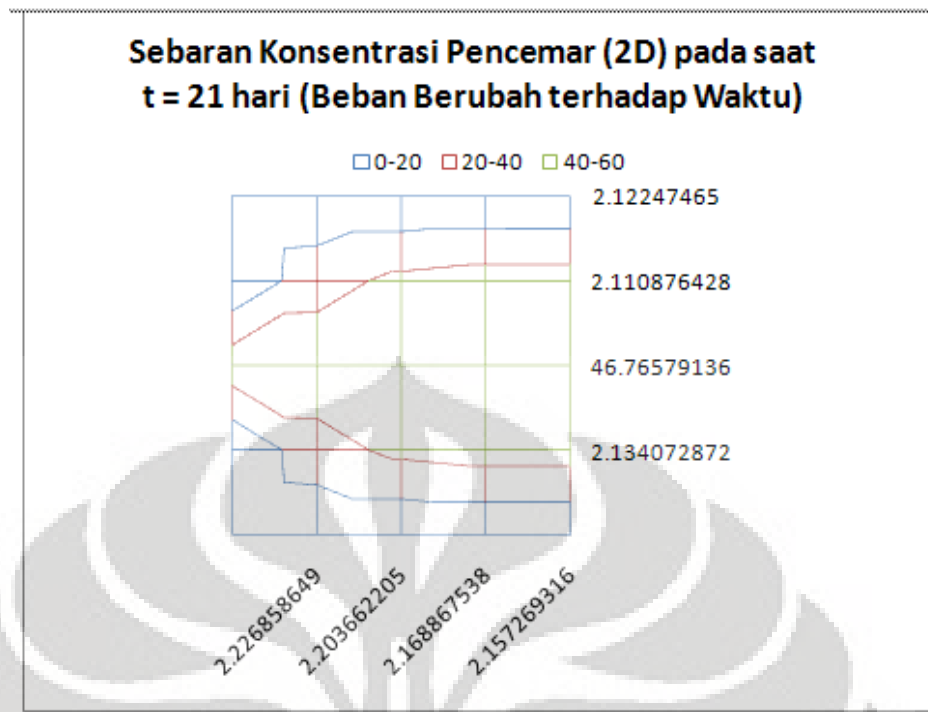
□ 0-50 □ 50-100 □ 100-150



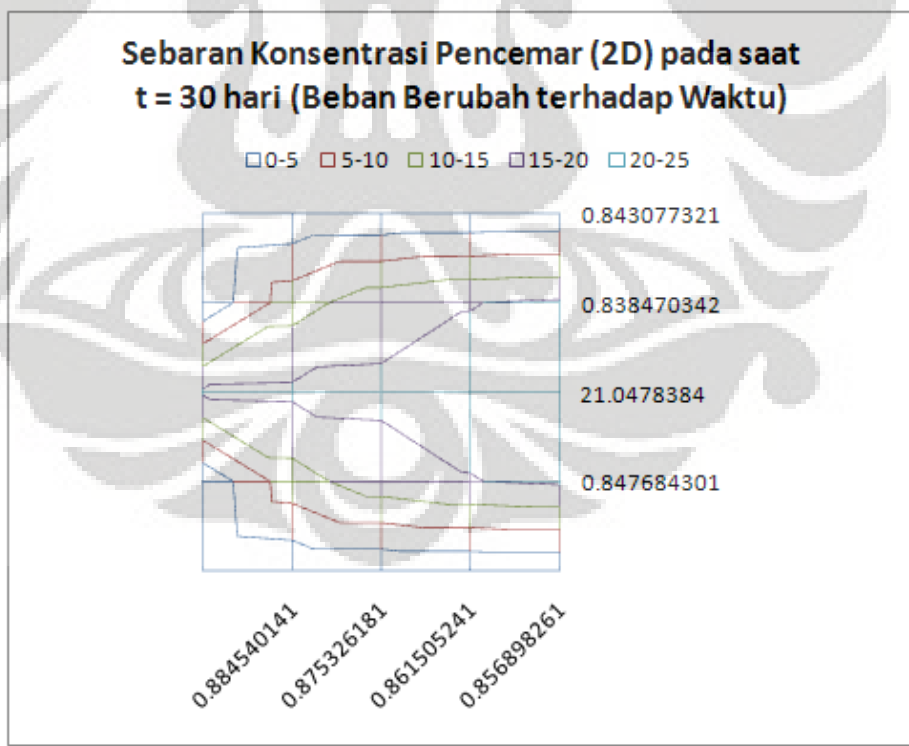
4.337962387  
4.292775279  
4.224994617  
4.202401062

**Gambar 4.82** Sebaran konsentrasi pencemar secara lateral 2D pada saat  $t=6,5$  hari akibat pembebanan berubah terhadap waktu

**Gambar 4.83** Sebaran konsentrasi pencemar secara lateral 2D pada saat  $t=14,5$  hari akibat pembebanan berubah terhadap waktu



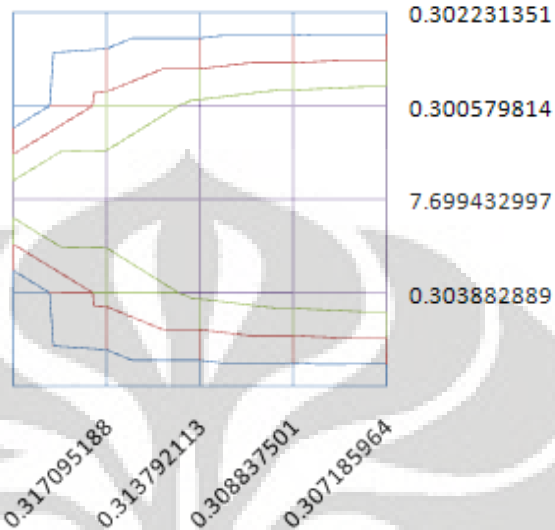
**Gambar 4.84** Sebaran konsentrasi pencemar secara lateral 2D pada saat t=21 hari akibat pembebanan berubah terhadap waktu



**Gambar 4.85** Sebaran konsentrasi pencemar secara lateral 2D pada saat t=30 hari akibat pembebanan berubah terhadap waktu

**Sebaran Konsentrasi Pencemar (2D) pada saat  
t = 40 hari (Beban Berubah terhadap Waktu)**

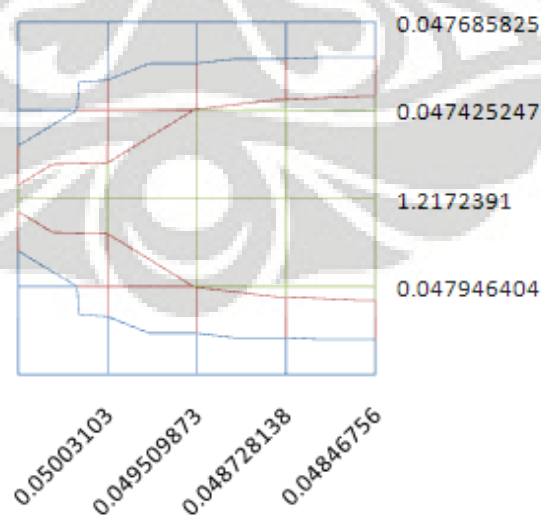
□ 0-2 □ 2-4 □ 4-6 □ 6-8



**Gambar 4.86** Sebaran konsentrasi pencemar secara lateral 2D pada saat  $t=40$  hari akibat pembebanan berubah terhadap waktu

**Sebaran Konsentrasi Pencemar (2D) pada saat  
t = 58 hari (Beban Berubah terhadap Waktu)**

□ 0-0.5 □ 0.5-1 □ 1-1.5



**Gambar 4.87** Sebaran konsentrasi pencemar secara lateral 2D pada saat  $t=58$  hari akibat pembebanan berubah terhadap waktu

#### 4.2.4. Analisis Hasil

Berdasarkan simulasi yang telah dilakukan terhadap skenario, pada awalnya grafik yang dihasilkan tidak sesuai dengan trend grafik yang terdapat dalam teori. Setelah dianalisis, ketidaksesuaian ini disebabkan besaran parameter interval yang dimasukkan kedalam model, misalnya besar interval jarak ( $\Delta x$  atau  $\Delta y$ ) atau interval waktu ( $\Delta t$ ). Sensitivitas grafik yang dihasilkan diakibatkan dari hal-hal tersebut yang disebut *courant number*. Misalnya nilai  $\Delta t$  yang terlalu besar, atau nilai  $\Delta x$  dan  $\Delta y$  yang tidak memenuhi persamaan  $v \cdot t \leq \Delta x$  atau  $v \cdot t \leq \Delta y$  dapat menyebabkan grafik yang dihasilkan sangat jauh dari respon yang seharusnya keluar. Oleh karena itu penting untuk mengecek masing-masing nilai tersebut untuk mendapatkan grafik yang sesuai dengan teori.

Dalam grafik yang telah dihasilkan, untuk masing-masing beban, baik konstan maupun berubah terhadap waktu di *boundary condition* (memiliki kondisi batas) tidak mengalami perubahan konsentrasi akibat beban yang masuk di inlet sehingga grafik yang dihasilkan hanya diakibatkan adanya konsentrasi awal di sel-sel tersebut. Kondisi batas yang dimaksud adalah kecepatan aliran air di sel-sel tersebut amat sangat kecil sehingga dapat dianggap tidak ada kecepatan, akibatnya beban yang masuk melalui inlet tidak menjangkau titik-titik tersebut.

Untuk kondisi beban konstan, besar konsentrasi TSS yang keluar dari outlet danau masih tinggi sehingga dibutuhkan perlakuan apabila ingin menjadikannya sebagai sumber air yang bisa dimanfaatkan manusia, misalnya untuk mandi atau minum. Hal ini disebabkan beban pencemar yang masuk kedalam danau meskipun dalam hal ini besarnya konstan per hari, tetapi akan berakumulasi sehingga menghasilkan respon konsentrasi pencemar yang justru semakin naik. Untuk kondisi beban berubah terhadap waktu, konsentrasi TSS yang keluar dari outlet danau semakin kecil seiring dengan waktu. Terdapat konsentrasi puncak, tetapi setelah itu konsentrasinya turun hingga semakin lama akan semakin mendekati nol.

## **BAB 5**

### **KESIMPULAN DAN SARAN**

#### **5.1. Kesimpulan**

Berdasarkan pengembangan model yang telah dilakukan dengan menggunakan metode numerik sebagai penyelesaiannya, maka dapat diambil kesimpulan sebagai berikut:

1. dasar pengembangan model matematis adveksi pencemar secara teoritis adalah penurunan hukum kekekalan massa dan dari persamaan dasar tersebut dapat dijabarkan untuk kondisi dua dimensi secara lateral sehingga didapat sebagai berikut:

$$\frac{\partial c}{\partial t} = \frac{W}{A} - u \frac{\partial c}{\partial x} - v \frac{\partial c}{\partial y} - kc - v_s A_s c$$

2. salah satu mekanisme yang mempengaruhi persamaan kesetimbangan massa di dalam danau adalah mekanisme adveksi yang menyebabkan terjadinya perubahan konsentrasi pencemar akibat kecepatan aliran,
3. berdasarkan hasil simulasi, untuk semua skenario dapat disimpulkan bahwa formulasi numerik dari model adveksi pencemar cukup konsisten dan valid dengan memperhatikan interval jarak dan waktu (*courant number*).

#### **5.2. Saran**

Dari proses keseluruhan yang dijalankan dan hasil yang diperoleh dalam tugas akhir ini, terdapat beberapa saran, antara lain:

1. grafik respon yang keluar dari hasil simulasi telah sesuai dengan teori, namun belum disajikan dalam bentuk yang universal, misalnya dibuat dalam bentuk *visual basic* agar dapat dengan mudah dijalankan oleh semua orang,
2. perlu dilakukan pengembangan model lebih lanjut dalam melakukan simulasi penyebaran pencemar secara lateral dua dimensi, yaitu dengan memperhitungkan mekanisme dispersi agar model yang telah terbentuk dapat lebih ditingkatkan dan dapat lebih sesuai dengan kondisi nyata di lapangan.

## DAFTAR PUSTAKA

- Chapra, Steven C., *Surface Water-Quality Modeling* (Singapore: McGraw-Hill Companies., 1997)
- Chapra, Steven C., Canale, Raymond P., *Numerical Methods for Engineers Third Edition* (USA McGraw-Hill Companies., 1998)
- Fischer, Hugo B., List, E. John., Koh, Robert C. Y., Imberger, Jorg., Brooks, Norman H., *Mixing in Inland and Coastal Waters* (California: Academic Press., 1979)
- Gang Ji, Zhen, *Hydrodynamics and Water Quality: Modeling Rivers, Lakes, and Estuaries* (New York: John Wiley & Sons., 2008)
- Kinzelbach, W., *Groundwater Modelling an Introduction with Sample Programs in Basic* 1986
- Potter, Merle C., Wiggert, David C., *Mechanics of Fluids Second Edition* (USA: Prentice Hall., 1997)
- Soeryantono, Herr, “*ClasNote-numerical-differentiation-herr*”, FTUI Depok, 2009
- Te Chow, Ven., Maidment, David R., Mays, Larry W., *Applied Hydrology*, (Singapore: McGraw-Hill., 1988)
- Thomann, Robert V., Mueller, John A., *Principles of Surface Water Quality Modeling & Control* (USA: Harper Collins Publishers., 1987)
- Yudhita, Nila, “Pengembangan Model Adveksi–Dispersi Berbasis *Spreadsheet Elektronik*, Studi Kasus Simulasi Konsentrasi *Biochemical Oxygen Demand*”, Skripsi, Program Sarjana Fakultas Teknik UI, Depok., 2007)

## LAMPIRAN

**A. Hasil Perhitungan *Runge-Kutta* Masing-Masing Sel (Kondisi *Unsteady*, Beban Konstan)**

t (hari)	SEL (i,j)				$c$ (mg/m <sup>3</sup> )	
	fungsi					
	$k_1$	$k_2$	$k_3$	$k_4$		
0					247.67857	
0.5	202.91071	202.91071	202.91071	202.91071	349.13393	
1	192.76518	192.76518	192.76518	192.76518	445.51652	
1.5	183.12692	183.12692	183.12692	183.12692	537.07998	
2	173.97057	173.97057	173.97057	173.97057	624.06526	
2.5	165.27204	165.27204	165.27204	165.27204	706.70129	
3	157.00844	157.00844	157.00844	157.00844	785.20551	
3.5	149.15802	149.15802	149.15802	149.15802	859.78452	
4	141.70012	141.70012	141.70012	141.70012	930.63458	
4.5	134.61511	134.61511	134.61511	134.61511	997.94214	
5	127.88436	127.88436	127.88436	127.88436	1061.8843	
5.5	121.49014	121.49014	121.49014	121.49014	1122.6294	
6	115.41563	115.41563	115.41563	115.41563	1180.3372	
6.5	109.64485	109.64485	109.64485	109.64485	1235.1596	
7	104.16261	104.16261	104.16261	104.16261	1287.2409	
7.5	98.954478	98.954478	98.954478	98.954478	1336.7182	
8	94.006754	94.006754	94.006754	94.006754	1383.7215	
8.5	89.306417	89.306417	89.306417	89.306417	1428.3748	
9	84.841096	84.841096	84.841096	84.841096	1470.7953	
9.5	80.599041	80.599041	80.599041	80.599041	1511.0948	
10	76.569089	76.569089	76.569089	76.569089	1549.3794	
10.5	72.740635	72.740635	72.740635	72.740635	1585.7497	
11	69.103603	69.103603	69.103603	69.103603	1620.3015	
11.5	65.648423	65.648423	65.648423	65.648423	1653.1257	
12	62.366002	62.366002	62.366002	62.366002	1684.3087	
12.5	59.247701	59.247701	59.247701	59.247701	1713.9326	
13	56.285316	56.285316	56.285316	56.285316	1742.0752	
69	0.180069	0.180069	0.180069	0.180069	2275.0751	
69.5	0.1710655	0.1710655	0.1710655	0.1710655	2275.1606	
70	0.1625123	0.1625123	0.1625123	0.1625123	2275.2418	
70.5	0.1543866	0.1543866	0.1543866	0.1543866	2275.319	
71	0.1466673	0.1466673	0.1466673	0.1466673	2275.3924	

t (hari)	SEL (i,j+1)				c (mg/m <sup>3</sup> )	
	fungsi					
	k <sub>1</sub>	k <sub>2</sub>	k <sub>3</sub>	k <sub>4</sub>		
0					19	
0.5	-1.9	-1.9	-1.9	-1.9	18.05	
1	-1.805	-1.805	-1.805	-1.805	17.1475	
1.5	-1.71475	-1.71475	-1.71475	-1.71475	16.290125	
2	-1.629013	-1.629013	-1.629013	-1.629013	15.475619	
2.5	-1.547562	-1.547562	-1.547562	-1.547562	14.701838	
3	-1.470184	-1.470184	-1.470184	-1.470184	13.966746	
3.5	-1.396675	-1.396675	-1.396675	-1.396675	13.268409	
4	-1.326841	-1.326841	-1.326841	-1.326841	12.604988	
4.5	-1.260499	-1.260499	-1.260499	-1.260499	11.974739	
5	-1.197474	-1.197474	-1.197474	-1.197474	11.376002	
5.5	-1.1376	-1.1376	-1.1376	-1.1376	10.807202	
6	-1.08072	-1.08072	-1.08072	-1.08072	10.266842	
6.5	-1.026684	-1.026684	-1.026684	-1.026684	9.7534996	
7	-0.97535	-0.97535	-0.97535	-0.97535	9.2658246	
7.5	-0.926582	-0.926582	-0.926582	-0.926582	8.8025334	
8	-0.880253	-0.880253	-0.880253	-0.880253	8.3624067	
8.5	-0.836241	-0.836241	-0.836241	-0.836241	7.9442864	
9	-0.794429	-0.794429	-0.794429	-0.794429	7.5470721	
9.5	-0.754707	-0.754707	-0.754707	-0.754707	7.1697184	
10	-0.716972	-0.716972	-0.716972	-0.716972	6.8112325	
10.5	-0.681123	-0.681123	-0.681123	-0.681123	6.4706709	
11	-0.647067	-0.647067	-0.647067	-0.647067	6.1471374	
11.5	-0.614714	-0.614714	-0.614714	-0.614714	5.8397805	
12	-0.583978	-0.583978	-0.583978	-0.583978	5.5477915	
12.5	-0.554779	-0.554779	-0.554779	-0.554779	5.2704019	
13	-0.52704	-0.52704	-0.52704	-0.52704	5.0068818	
69	-0.001686	-0.001686	-0.001686	-0.001686	0.0160181	
69.5	-0.001602	-0.001602	-0.001602	-0.001602	0.0152172	
70	-0.001522	-0.001522	-0.001522	-0.001522	0.0144563	
70.5	-0.001446	-0.001446	-0.001446	-0.001446	0.0137335	
71	-0.001373	-0.001373	-0.001373	-0.001373	0.0130468	

SEL (i+5,j+1)					
t (hari)	fungsi				c (mg/m <sup>3</sup> )
	k <sub>1</sub>	k <sub>2</sub>	k <sub>3</sub>	k <sub>4</sub>	
0					18.2
0.5	-1.82	-1.82	-1.82	-1.82	17.29
1	-1.729	-1.729	-1.729	-1.729	16.4255
1.5	-1.64255	-1.64255	-1.64255	-1.64255	15.604225
2	-1.560423	-1.560423	-1.560423	-1.560423	14.824014
2.5	-1.482401	-1.482401	-1.482401	-1.482401	14.082813
3	-1.408281	-1.408281	-1.408281	-1.408281	13.378672
3.5	-1.337867	-1.337867	-1.337867	-1.337867	12.709739
4	-1.270974	-1.270974	-1.270974	-1.270974	12.074252
4.5	-1.207425	-1.207425	-1.207425	-1.207425	11.470539
5	-1.147054	-1.147054	-1.147054	-1.147054	10.897012
5.5	-1.089701	-1.089701	-1.089701	-1.089701	10.352162
6	-1.035216	-1.035216	-1.035216	-1.035216	9.8345536
6.5	-0.983455	-0.983455	-0.983455	-0.983455	9.3428259
7	-0.934283	-0.934283	-0.934283	-0.934283	8.8756846
7.5	-0.887568	-0.887568	-0.887568	-0.887568	8.4319004
8	-0.84319	-0.84319	-0.84319	-0.84319	8.0103054
8.5	-0.801031	-0.801031	-0.801031	-0.801031	7.6097901
9	-0.760979	-0.760979	-0.760979	-0.760979	7.2293006
9.5	-0.72293	-0.72293	-0.72293	-0.72293	6.8678356
10	-0.686784	-0.686784	-0.686784	-0.686784	6.5244438
10.5	-0.652444	-0.652444	-0.652444	-0.652444	6.1982216
11	-0.619822	-0.619822	-0.619822	-0.619822	5.8883105
11.5	-0.588831	-0.588831	-0.588831	-0.588831	5.593895
12	-0.559389	-0.559389	-0.559389	-0.559389	5.3142002
12.5	-0.53142	-0.53142	-0.53142	-0.53142	5.0484902
13	-0.504849	-0.504849	-0.504849	-0.504849	4.7960657
69	-0.001615	-0.001615	-0.001615	-0.001615	0.0153437
69.5	-0.001534	-0.001534	-0.001534	-0.001534	0.0145765
70	-0.001458	-0.001458	-0.001458	-0.001458	0.0138477
70.5	-0.001385	-0.001385	-0.001385	-0.001385	0.0131553
71	-0.001316	-0.001316	-0.001316	-0.001316	0.0124975

SEL (i,j-1)					c (mg/m <sup>3</sup> )	
t (hari)	fungsi					
	k <sub>1</sub>	k <sub>2</sub>	k <sub>3</sub>	k <sub>4</sub>		
0					19.5	
0.5	-1.95	-1.95	-1.95	-1.95	18.525	
1	-1.8525	-1.8525	-1.8525	-1.8525	17.59875	
1.5	-1.759875	-1.759875	-1.759875	-1.759875	16.718813	
2	-1.671881	-1.671881	-1.671881	-1.671881	15.882872	
2.5	-1.588287	-1.588287	-1.588287	-1.588287	15.088728	
3	-1.508873	-1.508873	-1.508873	-1.508873	14.334292	
3.5	-1.433429	-1.433429	-1.433429	-1.433429	13.617577	
4	-1.361758	-1.361758	-1.361758	-1.361758	12.936698	
4.5	-1.29367	-1.29367	-1.29367	-1.29367	12.289863	
5	-1.228986	-1.228986	-1.228986	-1.228986	11.67537	
5.5	-1.167537	-1.167537	-1.167537	-1.167537	11.091602	
6	-1.10916	-1.10916	-1.10916	-1.10916	10.537022	
6.5	-1.053702	-1.053702	-1.053702	-1.053702	10.010171	
7	-1.001017	-1.001017	-1.001017	-1.001017	9.5096621	
7.5	-0.950966	-0.950966	-0.950966	-0.950966	9.034179	
8	-0.903418	-0.903418	-0.903418	-0.903418	8.58247	
8.5	-0.858247	-0.858247	-0.858247	-0.858247	8.1533465	
9	-0.815335	-0.815335	-0.815335	-0.815335	7.7456792	
9.5	-0.774568	-0.774568	-0.774568	-0.774568	7.3583952	
10	-0.73584	-0.73584	-0.73584	-0.73584	6.9904755	
10.5	-0.699048	-0.699048	-0.699048	-0.699048	6.6409517	
11	-0.664095	-0.664095	-0.664095	-0.664095	6.3089041	
11.5	-0.63089	-0.63089	-0.63089	-0.63089	5.9934589	
12	-0.599346	-0.599346	-0.599346	-0.599346	5.693786	
12.5	-0.569379	-0.569379	-0.569379	-0.569379	5.4090967	
13	-0.54091	-0.54091	-0.54091	-0.54091	5.1386418	
69	-0.00173	-0.00173	-0.00173	-0.00173	0.0164396	
69.5	-0.001644	-0.001644	-0.001644	-0.001644	0.0156177	
70	-0.001562	-0.001562	-0.001562	-0.001562	0.0148368	
70.5	-0.001484	-0.001484	-0.001484	-0.001484	0.0140949	
71	-0.001409	-0.001409	-0.001409	-0.001409	0.0133902	

SEL (i+5,j-1)					
t (hari)	fungsi				c (mg/m <sup>3</sup> )
	k <sub>1</sub>	k <sub>2</sub>	k <sub>3</sub>	k <sub>4</sub>	
0					18.4
0.5	-1.84	-1.84	-1.84	-1.84	17.48
1	-1.748	-1.748	-1.748	-1.748	16.606
1.5	-1.6606	-1.6606	-1.6606	-1.6606	15.7757
2	-1.57757	-1.57757	-1.57757	-1.57757	14.986915
2.5	-1.498692	-1.498692	-1.498692	-1.498692	14.237569
3	-1.423757	-1.423757	-1.423757	-1.423757	13.525691
3.5	-1.352569	-1.352569	-1.352569	-1.352569	12.849406
4	-1.284941	-1.284941	-1.284941	-1.284941	12.206936
4.5	-1.220694	-1.220694	-1.220694	-1.220694	11.596589
5	-1.159659	-1.159659	-1.159659	-1.159659	11.01676
5.5	-1.101676	-1.101676	-1.101676	-1.101676	10.465922
6	-1.046592	-1.046592	-1.046592	-1.046592	9.9426256
6.5	-0.994263	-0.994263	-0.994263	-0.994263	9.4454943
7	-0.944549	-0.944549	-0.944549	-0.944549	8.9732196
7.5	-0.897322	-0.897322	-0.897322	-0.897322	8.5245586
8	-0.852456	-0.852456	-0.852456	-0.852456	8.0983307
8.5	-0.809833	-0.809833	-0.809833	-0.809833	7.6934142
9	-0.769341	-0.769341	-0.769341	-0.769341	7.3087435
9.5	-0.730874	-0.730874	-0.730874	-0.730874	6.9433063
10	-0.694331	-0.694331	-0.694331	-0.694331	6.596141
10.5	-0.659614	-0.659614	-0.659614	-0.659614	6.2663339
11	-0.626633	-0.626633	-0.626633	-0.626633	5.9530172
11.5	-0.595302	-0.595302	-0.595302	-0.595302	5.6553664
12	-0.565537	-0.565537	-0.565537	-0.565537	5.372598
12.5	-0.53726	-0.53726	-0.53726	-0.53726	5.1039681
13	-0.510397	-0.510397	-0.510397	-0.510397	4.8487697
69	-0.001633	-0.001633	-0.001633	-0.001633	0.0155123
69.5	-0.001551	-0.001551	-0.001551	-0.001551	0.0147367
70	-0.001474	-0.001474	-0.001474	-0.001474	0.0139998
70.5	-0.0014	-0.0014	-0.0014	-0.0014	0.0132998
71	-0.00133	-0.00133	-0.00133	-0.00133	0.0126348

t (hari)	SEL (i+1,j+2)				c (mg/m <sup>3</sup> )	
	fungsi					
	k <sub>1</sub>	k <sub>2</sub>	k <sub>3</sub>	k <sub>4</sub>		
0					19	
0.5	-1.9	-1.9	-1.9	-1.9	18.05	
1	-1.805	-1.805	-1.805	-1.805	17.1475	
1.5	-1.71475	-1.71475	-1.71475	-1.71475	16.290125	
2	-1.629013	-1.629013	-1.629013	-1.629013	15.475619	
2.5	-1.547562	-1.547562	-1.547562	-1.547562	14.701838	
3	-1.470184	-1.470184	-1.470184	-1.470184	13.966746	
3.5	-1.396675	-1.396675	-1.396675	-1.396675	13.268409	
4	-1.326841	-1.326841	-1.326841	-1.326841	12.604988	
4.5	-1.260499	-1.260499	-1.260499	-1.260499	11.974739	
5	-1.197474	-1.197474	-1.197474	-1.197474	11.376002	
5.5	-1.1376	-1.1376	-1.1376	-1.1376	10.807202	
6	-1.08072	-1.08072	-1.08072	-1.08072	10.266842	
6.5	-1.026684	-1.026684	-1.026684	-1.026684	9.7534996	
7	-0.97535	-0.97535	-0.97535	-0.97535	9.2658246	
7.5	-0.926582	-0.926582	-0.926582	-0.926582	8.8025334	
8	-0.880253	-0.880253	-0.880253	-0.880253	8.3624067	
8.5	-0.836241	-0.836241	-0.836241	-0.836241	7.9442864	
9	-0.794429	-0.794429	-0.794429	-0.794429	7.5470721	
9.5	-0.754707	-0.754707	-0.754707	-0.754707	7.1697184	
10	-0.716972	-0.716972	-0.716972	-0.716972	6.8112325	
10.5	-0.681123	-0.681123	-0.681123	-0.681123	6.4706709	
11	-0.647067	-0.647067	-0.647067	-0.647067	6.1471374	
11.5	-0.614714	-0.614714	-0.614714	-0.614714	5.8397805	
12	-0.583978	-0.583978	-0.583978	-0.583978	5.5477915	
12.5	-0.554779	-0.554779	-0.554779	-0.554779	5.2704019	
13	-0.52704	-0.52704	-0.52704	-0.52704	5.0068818	
69	-0.001686	-0.001686	-0.001686	-0.001686	0.0160181	
69.5	-0.001602	-0.001602	-0.001602	-0.001602	0.0152172	
70	-0.001522	-0.001522	-0.001522	-0.001522	0.0144563	
70.5	-0.001446	-0.001446	-0.001446	-0.001446	0.0137335	
71	-0.001373	-0.001373	-0.001373	-0.001373	0.0130468	

SEL (i+2,j+2)					
t (hari)	fungsi				c (mg/m <sup>3</sup> )
	k <sub>1</sub>	k <sub>2</sub>	k <sub>3</sub>	k <sub>4</sub>	
0					18.7
0.5	-1.87	-1.87	-1.87	-1.87	17.765
1	-1.7765	-1.7765	-1.7765	-1.7765	16.87675
1.5	-1.687675	-1.687675	-1.687675	-1.687675	16.032913
2	-1.603291	-1.603291	-1.603291	-1.603291	15.231267
2.5	-1.523127	-1.523127	-1.523127	-1.523127	14.469704
3	-1.44697	-1.44697	-1.44697	-1.44697	13.746218
3.5	-1.374622	-1.374622	-1.374622	-1.374622	13.058907
4	-1.305891	-1.305891	-1.305891	-1.305891	12.405962
4.5	-1.240596	-1.240596	-1.240596	-1.240596	11.785664
5	-1.178566	-1.178566	-1.178566	-1.178566	11.196381
5.5	-1.119638	-1.119638	-1.119638	-1.119638	10.636562
6	-1.063656	-1.063656	-1.063656	-1.063656	10.104734
6.5	-1.010473	-1.010473	-1.010473	-1.010473	9.599497
7	-0.95995	-0.95995	-0.95995	-0.95995	9.1195221
7.5	-0.911952	-0.911952	-0.911952	-0.911952	8.663546
8	-0.866355	-0.866355	-0.866355	-0.866355	8.2303687
8.5	-0.823037	-0.823037	-0.823037	-0.823037	7.8188503
9	-0.781885	-0.781885	-0.781885	-0.781885	7.4279078
9.5	-0.742791	-0.742791	-0.742791	-0.742791	7.0565124
10	-0.705651	-0.705651	-0.705651	-0.705651	6.7036867
10.5	-0.670369	-0.670369	-0.670369	-0.670369	6.3685024
11	-0.63685	-0.63685	-0.63685	-0.63685	6.0500773
11.5	-0.605008	-0.605008	-0.605008	-0.605008	5.7475734
12	-0.574757	-0.574757	-0.574757	-0.574757	5.4601948
12.5	-0.546019	-0.546019	-0.546019	-0.546019	5.187185
13	-0.518719	-0.518719	-0.518719	-0.518719	4.9278258
69	-0.001659	-0.001659	-0.001659	-0.001659	0.0157652
69.5	-0.001577	-0.001577	-0.001577	-0.001577	0.0149769
70	-0.001498	-0.001498	-0.001498	-0.001498	0.0142281
70.5	-0.001423	-0.001423	-0.001423	-0.001423	0.0135167
71	-0.001352	-0.001352	-0.001352	-0.001352	0.0128408

SEL (i+3,j+2)					
t (hari)	fungsi				c (mg/m <sup>3</sup> )
	k <sub>1</sub>	k <sub>2</sub>	k <sub>3</sub>	k <sub>4</sub>	
0					18.5
0.5	-1.85	-1.85	-1.85	-1.85	17.575
1	-1.7575	-1.7575	-1.7575	-1.7575	16.69625
1.5	-1.669625	-1.669625	-1.669625	-1.669625	15.861438
2	-1.586144	-1.586144	-1.586144	-1.586144	15.068366
2.5	-1.506837	-1.506837	-1.506837	-1.506837	14.314947
3	-1.431495	-1.431495	-1.431495	-1.431495	13.5992
3.5	-1.35992	-1.35992	-1.35992	-1.35992	12.91924
4	-1.291924	-1.291924	-1.291924	-1.291924	12.273278
4.5	-1.227328	-1.227328	-1.227328	-1.227328	11.659614
5	-1.165961	-1.165961	-1.165961	-1.165961	11.076633
5.5	-1.107663	-1.107663	-1.107663	-1.107663	10.522802
6	-1.05228	-1.05228	-1.05228	-1.05228	9.9966616
6.5	-0.999666	-0.999666	-0.999666	-0.999666	9.4968285
7	-0.949683	-0.949683	-0.949683	-0.949683	9.0219871
7.5	-0.902199	-0.902199	-0.902199	-0.902199	8.5708878
8	-0.857089	-0.857089	-0.857089	-0.857089	8.1423434
8.5	-0.814234	-0.814234	-0.814234	-0.814234	7.7352262
9	-0.773523	-0.773523	-0.773523	-0.773523	7.3484649
9.5	-0.734846	-0.734846	-0.734846	-0.734846	6.9810416
10	-0.698104	-0.698104	-0.698104	-0.698104	6.6319896
10.5	-0.663199	-0.663199	-0.663199	-0.663199	6.3003901
11	-0.630039	-0.630039	-0.630039	-0.630039	5.9853706
11.5	-0.598537	-0.598537	-0.598537	-0.598537	5.6861021
12	-0.56861	-0.56861	-0.56861	-0.56861	5.401797
12.5	-0.54018	-0.54018	-0.54018	-0.54018	5.1317071
13	-0.513171	-0.513171	-0.513171	-0.513171	4.8751217
69	-0.001642	-0.001642	-0.001642	-0.001642	0.0155966
69.5	-0.00156	-0.00156	-0.00156	-0.00156	0.0148167
70	-0.001482	-0.001482	-0.001482	-0.001482	0.0140759
70.5	-0.001408	-0.001408	-0.001408	-0.001408	0.0133721
71	-0.001337	-0.001337	-0.001337	-0.001337	0.0127035

SEL (i+4,j+2)					
t (hari)	fungsi				c (mg/m <sup>3</sup> )
	k <sub>1</sub>	k <sub>2</sub>	k <sub>3</sub>	k <sub>4</sub>	
0					18.4
0.5	-1.84	-1.84	-1.84	-1.84	17.48
1	-1.748	-1.748	-1.748	-1.748	16.606
1.5	-1.6606	-1.6606	-1.6606	-1.6606	15.7757
2	-1.57757	-1.57757	-1.57757	-1.57757	14.986915
2.5	-1.498692	-1.498692	-1.498692	-1.498692	14.237569
3	-1.423757	-1.423757	-1.423757	-1.423757	13.525691
3.5	-1.352569	-1.352569	-1.352569	-1.352569	12.849406
4	-1.284941	-1.284941	-1.284941	-1.284941	12.206936
4.5	-1.220694	-1.220694	-1.220694	-1.220694	11.596589
5	-1.159659	-1.159659	-1.159659	-1.159659	11.01676
5.5	-1.101676	-1.101676	-1.101676	-1.101676	10.465922
6	-1.046592	-1.046592	-1.046592	-1.046592	9.9426256
6.5	-0.994263	-0.994263	-0.994263	-0.994263	9.4454943
7	-0.944549	-0.944549	-0.944549	-0.944549	8.9732196
7.5	-0.897322	-0.897322	-0.897322	-0.897322	8.5245586
8	-0.852456	-0.852456	-0.852456	-0.852456	8.0983307
8.5	-0.809833	-0.809833	-0.809833	-0.809833	7.6934142
9	-0.769341	-0.769341	-0.769341	-0.769341	7.3087435
9.5	-0.730874	-0.730874	-0.730874	-0.730874	6.9433063
10	-0.694331	-0.694331	-0.694331	-0.694331	6.596141
10.5	-0.659614	-0.659614	-0.659614	-0.659614	6.2663339
11	-0.626633	-0.626633	-0.626633	-0.626633	5.9530172
11.5	-0.595302	-0.595302	-0.595302	-0.595302	5.6553664
12	-0.565537	-0.565537	-0.565537	-0.565537	5.372598
12.5	-0.53726	-0.53726	-0.53726	-0.53726	5.1039681
13	-0.510397	-0.510397	-0.510397	-0.510397	4.8487697
69	-0.001633	-0.001633	-0.001633	-0.001633	0.0155123
69.5	-0.001551	-0.001551	-0.001551	-0.001551	0.0147367
70	-0.001474	-0.001474	-0.001474	-0.001474	0.0139998
70.5	-0.0014	-0.0014	-0.0014	-0.0014	0.0132998
71	-0.00133	-0.00133	-0.00133	-0.00133	0.0126348

t (hari)	SEL (i+5,j+2)				c (mg/m <sup>3</sup> )	
	fungsi					
	k <sub>1</sub>	k <sub>2</sub>	k <sub>3</sub>	k <sub>4</sub>		
0					18.3	
0.5	-1.83	-1.83	-1.83	-1.83	17.385	
1	-1.7385	-1.7385	-1.7385	-1.7385	16.51575	
1.5	-1.651575	-1.651575	-1.651575	-1.651575	15.689963	
2	-1.568996	-1.568996	-1.568996	-1.568996	14.905464	
2.5	-1.490546	-1.490546	-1.490546	-1.490546	14.160191	
3	-1.416019	-1.416019	-1.416019	-1.416019	13.452182	
3.5	-1.345218	-1.345218	-1.345218	-1.345218	12.779573	
4	-1.277957	-1.277957	-1.277957	-1.277957	12.140594	
4.5	-1.214059	-1.214059	-1.214059	-1.214059	11.533564	
5	-1.153356	-1.153356	-1.153356	-1.153356	10.956886	
5.5	-1.095689	-1.095689	-1.095689	-1.095689	10.409042	
6	-1.040904	-1.040904	-1.040904	-1.040904	9.8885896	
6.5	-0.988859	-0.988859	-0.988859	-0.988859	9.3941601	
7	-0.939416	-0.939416	-0.939416	-0.939416	8.9244521	
7.5	-0.892445	-0.892445	-0.892445	-0.892445	8.4782295	
8	-0.847823	-0.847823	-0.847823	-0.847823	8.054318	
8.5	-0.805432	-0.805432	-0.805432	-0.805432	7.6516021	
9	-0.76516	-0.76516	-0.76516	-0.76516	7.269022	
9.5	-0.726902	-0.726902	-0.726902	-0.726902	6.9055709	
10	-0.690557	-0.690557	-0.690557	-0.690557	6.5602924	
10.5	-0.656029	-0.656029	-0.656029	-0.656029	6.2322778	
11	-0.623228	-0.623228	-0.623228	-0.623228	5.9206639	
11.5	-0.592066	-0.592066	-0.592066	-0.592066	5.6246307	
12	-0.562463	-0.562463	-0.562463	-0.562463	5.3433991	
12.5	-0.53434	-0.53434	-0.53434	-0.53434	5.0762292	
13	-0.507623	-0.507623	-0.507623	-0.507623	4.8224177	
69	-0.001624	-0.001624	-0.001624	-0.001624	0.015428	
69.5	-0.001543	-0.001543	-0.001543	-0.001543	0.0146566	
70	-0.001466	-0.001466	-0.001466	-0.001466	0.0139237	
70.5	-0.001392	-0.001392	-0.001392	-0.001392	0.0132276	
71	-0.001323	-0.001323	-0.001323	-0.001323	0.0125662	

t (hari)	SEL (i+1,j-2)				c (mg/m <sup>3</sup> )
	k <sub>1</sub>	k <sub>2</sub>	k <sub>3</sub>	k <sub>4</sub>	
0					19.2
0.5	-1.92	-1.92	-1.92	-1.92	18.24
1	-1.824	-1.824	-1.824	-1.824	17.328
1.5	-1.7328	-1.7328	-1.7328	-1.7328	16.4616
2	-1.64616	-1.64616	-1.64616	-1.64616	15.63852
2.5	-1.563852	-1.563852	-1.563852	-1.563852	14.856594
3	-1.485659	-1.485659	-1.485659	-1.485659	14.113764
3.5	-1.411376	-1.411376	-1.411376	-1.411376	13.408076
4	-1.340808	-1.340808	-1.340808	-1.340808	12.737672
4.5	-1.273767	-1.273767	-1.273767	-1.273767	12.100789
5	-1.210079	-1.210079	-1.210079	-1.210079	11.495749
5.5	-1.149575	-1.149575	-1.149575	-1.149575	10.920962
6	-1.092096	-1.092096	-1.092096	-1.092096	10.374914
6.5	-1.037491	-1.037491	-1.037491	-1.037491	9.856168
7	-0.985617	-0.985617	-0.985617	-0.985617	9.3633596
7.5	-0.936336	-0.936336	-0.936336	-0.936336	8.8951916
8	-0.889519	-0.889519	-0.889519	-0.889519	8.450432
8.5	-0.845043	-0.845043	-0.845043	-0.845043	8.0279104
9	-0.802791	-0.802791	-0.802791	-0.802791	7.6265149
9.5	-0.762651	-0.762651	-0.762651	-0.762651	7.2451892
10	-0.724519	-0.724519	-0.724519	-0.724519	6.8829297
10.5	-0.688293	-0.688293	-0.688293	-0.688293	6.5387832
11	-0.653878	-0.653878	-0.653878	-0.653878	6.2118441
11.5	-0.621184	-0.621184	-0.621184	-0.621184	5.9012519
12	-0.590125	-0.590125	-0.590125	-0.590125	5.6061893
12.5	-0.560619	-0.560619	-0.560619	-0.560619	5.3258798
13	-0.532588	-0.532588	-0.532588	-0.532588	5.0595858
69	-0.001704	-0.001704	-0.001704	-0.001704	0.0161867
69.5	-0.001619	-0.001619	-0.001619	-0.001619	0.0153774
70	-0.001538	-0.001538	-0.001538	-0.001538	0.0146085
70.5	-0.001461	-0.001461	-0.001461	-0.001461	0.0138781
71	-0.001388	-0.001388	-0.001388	-0.001388	0.0131842

SEL (i+2,j-2)					
t (hari)	fungsi				c (mg/m <sup>3</sup> )
	k <sub>1</sub>	k <sub>2</sub>	k <sub>3</sub>	k <sub>4</sub>	
0					19
0.5	-1.9	-1.9	-1.9	-1.9	18.05
1	-1.805	-1.805	-1.805	-1.805	17.1475
1.5	-1.71475	-1.71475	-1.71475	-1.71475	16.290125
2	-1.629013	-1.629013	-1.629013	-1.629013	15.475619
2.5	-1.547562	-1.547562	-1.547562	-1.547562	14.701838
3	-1.470184	-1.470184	-1.470184	-1.470184	13.966746
3.5	-1.396675	-1.396675	-1.396675	-1.396675	13.268409
4	-1.326841	-1.326841	-1.326841	-1.326841	12.604988
4.5	-1.260499	-1.260499	-1.260499	-1.260499	11.974739
5	-1.197474	-1.197474	-1.197474	-1.197474	11.376002
5.5	-1.1376	-1.1376	-1.1376	-1.1376	10.807202
6	-1.08072	-1.08072	-1.08072	-1.08072	10.266842
6.5	-1.026684	-1.026684	-1.026684	-1.026684	9.7534996
7	-0.97535	-0.97535	-0.97535	-0.97535	9.2658246
7.5	-0.926582	-0.926582	-0.926582	-0.926582	8.8025334
8	-0.880253	-0.880253	-0.880253	-0.880253	8.3624067
8.5	-0.836241	-0.836241	-0.836241	-0.836241	7.9442864
9	-0.794429	-0.794429	-0.794429	-0.794429	7.5470721
9.5	-0.754707	-0.754707	-0.754707	-0.754707	7.1697184
10	-0.716972	-0.716972	-0.716972	-0.716972	6.8112325
10.5	-0.681123	-0.681123	-0.681123	-0.681123	6.4706709
11	-0.647067	-0.647067	-0.647067	-0.647067	6.1471374
11.5	-0.614714	-0.614714	-0.614714	-0.614714	5.8397805
12	-0.583978	-0.583978	-0.583978	-0.583978	5.5477915
12.5	-0.554779	-0.554779	-0.554779	-0.554779	5.2704019
13	-0.52704	-0.52704	-0.52704	-0.52704	5.0068818
69	-0.001686	-0.001686	-0.001686	-0.001686	0.0160181
69.5	-0.001602	-0.001602	-0.001602	-0.001602	0.0152172
70	-0.001522	-0.001522	-0.001522	-0.001522	0.0144563
70.5	-0.001446	-0.001446	-0.001446	-0.001446	0.0137335
71	-0.001373	-0.001373	-0.001373	-0.001373	0.0130468

SEL (i+3,j-2)					
t (hari)	fungsi				c (mg/m <sup>3</sup> )
	k <sub>1</sub>	k <sub>2</sub>	k <sub>3</sub>	k <sub>4</sub>	
0					18.7
0.5	-1.87	-1.87	-1.87	-1.87	17.765
1	-1.7765	-1.7765	-1.7765	-1.7765	16.87675
1.5	-1.687675	-1.687675	-1.687675	-1.687675	16.032913
2	-1.603291	-1.603291	-1.603291	-1.603291	15.231267
2.5	-1.523127	-1.523127	-1.523127	-1.523127	14.469704
3	-1.44697	-1.44697	-1.44697	-1.44697	13.746218
3.5	-1.374622	-1.374622	-1.374622	-1.374622	13.058907
4	-1.305891	-1.305891	-1.305891	-1.305891	12.405962
4.5	-1.240596	-1.240596	-1.240596	-1.240596	11.785664
5	-1.178566	-1.178566	-1.178566	-1.178566	11.196381
5.5	-1.119638	-1.119638	-1.119638	-1.119638	10.636562
6	-1.063656	-1.063656	-1.063656	-1.063656	10.104734
6.5	-1.010473	-1.010473	-1.010473	-1.010473	9.599497
7	-0.95995	-0.95995	-0.95995	-0.95995	9.1195221
7.5	-0.911952	-0.911952	-0.911952	-0.911952	8.663546
8	-0.866355	-0.866355	-0.866355	-0.866355	8.2303687
8.5	-0.823037	-0.823037	-0.823037	-0.823037	7.8188503
9	-0.781885	-0.781885	-0.781885	-0.781885	7.4279078
9.5	-0.742791	-0.742791	-0.742791	-0.742791	7.0565124
10	-0.705651	-0.705651	-0.705651	-0.705651	6.7036867
10.5	-0.670369	-0.670369	-0.670369	-0.670369	6.3685024
11	-0.63685	-0.63685	-0.63685	-0.63685	6.0500773
11.5	-0.605008	-0.605008	-0.605008	-0.605008	5.7475734
12	-0.574757	-0.574757	-0.574757	-0.574757	5.4601948
12.5	-0.546019	-0.546019	-0.546019	-0.546019	5.187185
13	-0.518719	-0.518719	-0.518719	-0.518719	4.9278258
69	-0.001659	-0.001659	-0.001659	-0.001659	0.0157652
69.5	-0.001577	-0.001577	-0.001577	-0.001577	0.0149769
70	-0.001498	-0.001498	-0.001498	-0.001498	0.0142281
70.5	-0.001423	-0.001423	-0.001423	-0.001423	0.0135167
71	-0.001352	-0.001352	-0.001352	-0.001352	0.0128408

SEL (i+4,j-2)					
t (hari)	fungsi				c (mg/m <sup>3</sup> )
	k <sub>1</sub>	k <sub>2</sub>	k <sub>3</sub>	k <sub>4</sub>	
0					18.6
0.5	-1.86	-1.86	-1.86	-1.86	17.67
1	-1.767	-1.767	-1.767	-1.767	16.7865
1.5	-1.67865	-1.67865	-1.67865	-1.67865	15.947175
2	-1.594718	-1.594718	-1.594718	-1.594718	15.149816
2.5	-1.514982	-1.514982	-1.514982	-1.514982	14.392325
3	-1.439233	-1.439233	-1.439233	-1.439233	13.672709
3.5	-1.367271	-1.367271	-1.367271	-1.367271	12.989074
4	-1.298907	-1.298907	-1.298907	-1.298907	12.33962
4.5	-1.233962	-1.233962	-1.233962	-1.233962	11.722639
5	-1.172264	-1.172264	-1.172264	-1.172264	11.136507
5.5	-1.113651	-1.113651	-1.113651	-1.113651	10.579682
6	-1.057968	-1.057968	-1.057968	-1.057968	10.050698
6.5	-1.00507	-1.00507	-1.00507	-1.00507	9.5481627
7	-0.954816	-0.954816	-0.954816	-0.954816	9.0707546
7.5	-0.907075	-0.907075	-0.907075	-0.907075	8.6172169
8	-0.861722	-0.861722	-0.861722	-0.861722	8.186356
8.5	-0.818636	-0.818636	-0.818636	-0.818636	7.7770382
9	-0.777704	-0.777704	-0.777704	-0.777704	7.3881863
9.5	-0.738819	-0.738819	-0.738819	-0.738819	7.018777
10	-0.701878	-0.701878	-0.701878	-0.701878	6.6678382
10.5	-0.666784	-0.666784	-0.666784	-0.666784	6.3344462
11	-0.633445	-0.633445	-0.633445	-0.633445	6.0177239
11.5	-0.601772	-0.601772	-0.601772	-0.601772	5.7168377
12	-0.571684	-0.571684	-0.571684	-0.571684	5.4309959
12.5	-0.5431	-0.5431	-0.5431	-0.5431	5.1594461
13	-0.515945	-0.515945	-0.515945	-0.515945	4.9014738
69	-0.001651	-0.001651	-0.001651	-0.001651	0.0156809
69.5	-0.001568	-0.001568	-0.001568	-0.001568	0.0148968
70	-0.00149	-0.00149	-0.00149	-0.00149	0.014152
70.5	-0.001415	-0.001415	-0.001415	-0.001415	0.0134444
71	-0.001344	-0.001344	-0.001344	-0.001344	0.0127722

SEL (i+1,j)					
t (hari)	fungsi				c (mg/m <sup>3</sup> )
	k <sub>1</sub>	k <sub>2</sub>	k <sub>3</sub>	k <sub>4</sub>	
0					187.96533
0.5	0	0	0	0	187.96533
1	31.936117	31.137714	31.157674	30.378234	203.54076
1.5	55.815053	54.419677	54.454561	53.092325	230.76208
2	73.346539	71.512876	71.558717	69.768603	266.53361
2.5	85.890454	83.743192	83.796874	81.70061	308.42288
3	94.527791	92.164596	92.223676	89.916607	354.52462
3.5	100.11727	97.614336	97.67691	95.233422	403.35239
4	103.34047	100.75696	100.82154	98.299391	453.75212
4.5	104.73785	102.1194	102.18486	99.628604	504.83337
5	104.73744	102.119	102.18446	99.628216	555.91442
5.5	103.67776	101.08582	101.15062	98.62023	606.47866
6	101.82606	99.280408	99.344049	96.858857	656.13981
6.5	99.392873	96.908051	96.970172	94.544364	704.61429
7	96.543634	94.130043	94.190383	91.834115	751.69917
7.5	93.407919	91.072721	91.131101	88.851364	797.25475
8	90.086822	87.834652	87.890956	85.692274	841.19061
8.5	86.658829	84.492359	84.54652	82.431503	883.45461
9	83.184501	81.104889	81.156879	79.126657	924.02417
9.5	79.7102	77.717445	77.767264	75.821837	962.89929
10	76.27106	74.364284	74.411953	72.550463	1000.0971
10.5	72.893352	71.071018	71.116577	69.337523	1035.6476
11	69.596362	67.856453	67.899951	66.201364	1069.5902
11.5	66.393889	64.734042	64.775538	63.155112	1101.9709
12	63.295436	61.71305	61.75261	60.207806	1132.8404
12.5	60.30715	58.799472	58.837164	57.365292	1162.2525
13	57.432578	55.996763	56.032659	54.630945	1190.2627
69	0.1860986	0.1814461	0.1815624	0.1770204	1726.1472
69.5	0.1767936	0.1723738	0.1724843	0.1681694	1726.2334
70	0.1679539	0.1637551	0.1638601	0.1597609	1726.3153
70.5	0.1595562	0.1555673	0.1556671	0.1517729	1726.3931
71	0.1515784	0.147789	0.1478837	0.1441842	1726.4671

SEL ( $i+2,j$ )					
t (hari)	fungsi				c (mg/m <sup>3</sup> )
	k <sub>1</sub>	k <sub>2</sub>	k <sub>3</sub>	k <sub>4</sub>	
0					142.6266
0.5	0	0	0	0	142.6266
1	0	0	0	0	142.6266
1.5	4.8997179	4.777225	4.7802873	4.6607036	145.01622
2	12.472312	12.160504	12.1683	11.863897	151.09904
2.5	21.203505	20.673417	20.686669	20.169171	161.44011
3	30.093829	29.341483	29.360292	28.625814	176.11704
3.5	38.511753	37.548959	37.573029	36.633102	194.89944
4	46.085183	44.933053	44.961857	43.83709	217.37545
4.5	52.621829	51.306284	51.339172	50.054871	243.03942
5	58.051201	56.599921	56.636203	55.219391	271.35132
5.5	62.382728	60.82316	60.862149	59.339621	301.77573
6	65.675873	64.033976	64.075023	62.472122	333.80623
6.5	68.019074	66.318597	66.361109	64.701018	366.97953
7	69.51519	67.77731	67.820757	66.124152	400.88248
7.5	70.271665	68.514873	68.558793	66.843725	435.15438
8	70.394097	68.634245	68.678241	66.960185	469.48598
8.5	69.982243	68.232687	68.276426	66.568422	503.61672
9	69.127732	67.399539	67.442744	65.755595	537.33071
9.5	67.912957	66.215133	66.257579	64.600078	570.45225
10	66.410765	64.750496	64.792003	63.171165	602.84116
10.5	64.684665	63.067549	63.107976	61.529266	634.38824
11	62.789354	61.21962	61.258863	59.726411	665.01097
11.5	60.771429	59.252143	59.290126	57.806923	694.64954
12	58.670183	57.203429	57.240098	55.808179	723.26333
12.5	56.518423	55.105462	55.140786	53.761383	750.82769
13	54.343263	52.984681	53.018646	51.692331	777.33121
69	0.1876019	0.1829118	0.1830291	0.1784504	1309.3568
69.5	0.1782218	0.1737662	0.1738776	0.1695279	1309.4438
70	0.1693107	0.1650779	0.1651837	0.1610515	1309.5263
70.5	0.1608452	0.156824	0.1569246	0.1529989	1309.6048
71	0.1528029	0.1489828	0.1490783	0.145349	1309.6793

SEL (i+3,j)					
t (hari)	fungsi				c (mg/m <sup>3</sup> )
	k <sub>1</sub>	k <sub>2</sub>	k <sub>3</sub>	k <sub>4</sub>	
0					108.20732
0.5	0	0	0	0	108.20732
1	0	0	0	0	108.20732
1.5	0	0	0	0	108.20732
2	0.7512489	0.7324677	0.7329372	0.714602	108.57371
2.5	2.5117412	2.4489477	2.4505176	2.3892154	109.7987
3	5.2551554	5.1237766	5.127061	4.9988024	112.36167
3.5	8.8072463	8.5870652	8.5925697	8.3776178	116.65701
4	12.932153	12.608849	12.616932	12.301307	122.9641
4.5	17.384631	16.950015	16.96088	16.536587	131.44268
5	21.939513	21.391025	21.404737	20.869276	142.14271
5.5	26.406332	25.746174	25.762678	25.118198	155.02123
6	30.634559	29.868695	29.887841	29.140167	169.96188
6.5	34.513201	33.650371	33.671941	32.829604	186.79416
7	37.967258	37.018076	37.041806	36.115167	205.31101
7.5	40.952657	39.928841	39.954436	38.954935	225.28386
8	43.450707	42.36444	42.391596	41.331128	246.47502
8.5	45.462685	44.326118	44.354532	43.244958	268.64743
9	47.004903	45.82978	45.859159	44.711945	291.57199
9.5	48.104428	46.901817	46.931883	45.757834	315.03279
10	48.795489	47.575602	47.606099	46.415184	338.83063
10.5	49.116566	47.888652	47.91935	46.720598	362.78506
11	49.108101	47.880398	47.911091	46.712546	386.73537
11.5	48.810748	47.590479	47.620986	46.429698	410.54065
12	48.26409	47.057488	47.087653	45.909707	434.07932
12.5	47.505736	46.318093	46.347784	45.188347	457.24814
13	46.570724	45.406456	45.435562	44.298946	479.96095
69	0.1891183	0.1843903	0.1845085	0.1798929	992.94354
69.5	0.1796624	0.1751708	0.1752831	0.1708982	993.03116
70	0.1706793	0.1664123	0.166519	0.1623533	993.1144
70.5	0.1621453	0.1580917	0.158193	0.1542357	993.19348
71	0.154038	0.1501871	0.1502834	0.1465239	993.26861

SEL (i+4,j)					
t (hari)	fungsi				c (mg/m <sup>3</sup> )
	k <sub>1</sub>	k <sub>2</sub>	k <sub>3</sub>	k <sub>4</sub>	
0					82.081645
0.5	0	0	0	0	82.081645
1	0	0	0	0	82.081645
1.5	0	0	0	0	82.081645
2	0	0	0	0	82.081645
2.5	0.1151119	0.1122341	0.1123061	0.1094966	82.137786
3	0.4767271	0.4648089	0.4651069	0.4534717	82.370289
3.5	1.1856629	1.1560213	1.1567624	1.1278248	82.948543
4	2.2956728	2.2382809	2.2397157	2.183687	84.068156
4.5	3.8135116	3.7181738	3.7205572	3.6274837	85.928027
5	5.7069915	5.5643167	5.5678836	5.4285973	88.71136
5.5	7.9159251	7.718027	7.7229745	7.5297764	92.572002
6	10.363098	10.10402	10.110497	9.8575728	97.626144
6.5	12.963826	12.639731	12.647833	12.331435	103.94868
7	15.633527	15.242689	15.25246	14.870904	111.57324
7.5	18.29321	17.83588	17.847313	17.400845	120.49494
8	20.873088	20.351261	20.364306	19.854873	130.67487
8.5	23.314605	22.73174	22.746312	22.177289	142.04553
9	25.571231	24.93195	24.947932	24.323834	154.51677
9.5	27.608333	26.918124	26.93538	26.261564	167.98151
10	29.402422	28.667361	28.685738	27.968135	182.32124
10.5	30.939998	30.166498	30.185835	29.430706	197.41085
11	32.216184	31.41078	31.430915	30.644639	213.12287
11.5	33.233287	32.402455	32.423225	31.612125	229.33094
12	33.999374	33.14939	33.170639	32.340842	245.91262
12.5	34.52695	33.663776	33.685356	32.842682	262.75162
13	34.831756	33.960963	33.982732	33.13262	279.73926
69	0.190648	0.1858818	0.1860009	0.1813479	752.76905
69.5	0.1811156	0.1765877	0.1767009	0.1722805	752.85738
70	0.1720598	0.1677583	0.1678658	0.1636665	752.9413
70.5	0.1634568	0.1593704	0.1594725	0.1554832	753.02102
71	0.155284	0.1514019	0.1514989	0.147709	753.09675

SEL (i+5,j)					
t (hari)	fungsi				c (mg/m <sup>3</sup> )
	k <sub>1</sub>	k <sub>2</sub>	k <sub>3</sub>	k <sub>4</sub>	
0					62.254203
0.5	0	0	0	0	62.254203
1	0	0	0	0	62.254203
1.5	0	0	0	0	62.254203
2	0	0	0	0	62.254203
2.5	0	0	0	0	62.254203
3	0.0176271	0.0171864	0.0171974	0.0167672	62.2628
3.5	0.0870693	0.0848926	0.084947	0.082822	62.305264
4	0.2510503	0.2447741	0.244931	0.2388038	62.427703
4.5	0.5518992	0.5381017	0.5384466	0.5249769	62.696867
5	1.024433	0.9988221	0.9994624	0.9744598	63.196489
5.5	1.6915102	1.6492225	1.6502797	1.6089963	64.021448
6	2.562158	2.498104	2.4997054	2.4371727	65.271027
6.5	3.6317568	3.5409629	3.5432327	3.4545951	67.042256
7	4.8836523	4.761561	4.7646133	4.6454216	69.424041
7.5	6.2916005	6.1343105	6.1382427	5.9846884	72.492491
8	7.8225602	7.6269962	7.6318853	7.4409659	76.307598
8.5	9.4394748	9.2034879	9.2093876	8.9790054	80.911284
9	11.103803	10.826208	10.833148	10.562145	86.326672
9.5	12.777659	12.458217	12.466203	12.154349	92.55841
10	14.425504	14.064866	14.073882	13.72181	99.593811
10.5	16.015377	15.614993	15.625002	15.234127	107.4046
11	17.519703	17.08171	17.09266	16.66507	115.94906
11.5	18.915727	18.442834	18.454656	17.992994	125.17437
12	20.185642	19.681001	19.693617	19.200961	135.01902
12.5	21.316471	20.783559	20.796882	20.276627	145.41519
13	22.299773	21.742279	21.756216	21.211962	156.29091
69	0.1921908	0.1873861	0.1875062	0.1828155	570.49095
69.5	0.1825813	0.1780168	0.1781309	0.1736748	570.58
70	0.1734523	0.169116	0.1692244	0.1649911	570.66459
70.5	0.1647797	0.1606602	0.1607632	0.1567415	570.74496
71	0.1565407	0.1526272	0.152725	0.1489045	570.8213

SEL (i+1,j+1)					
t (hari)	fungsi				c (mg/m <sup>3</sup> )
	k <sub>1</sub>	k <sub>2</sub>	k <sub>3</sub>	k <sub>4</sub>	
0					107.3104
0.5	0	0	0	0	107.3104
1	-0.298851	-0.29138	-0.291567	-0.284273	107.16464
1.5	6.9843325	6.8097242	6.8140894	6.643628	110.57094
2	16.673811	16.256966	16.267387	15.860442	118.70286
2.5	26.243826	25.58773	25.604132	24.963619	131.50212
3	34.584203	33.719598	33.741213	32.897142	148.36904
3.5	41.319539	40.286551	40.312375	39.30392	168.52081
4	46.437759	45.276815	45.305839	44.172467	191.16877
4.5	50.090795	48.838526	48.869832	47.647304	215.59834
5	52.490365	51.178106	51.210913	49.92982	241.19819
5.5	53.855781	52.509387	52.543047	51.228629	267.46397
6	54.389797	53.030052	53.064046	51.736595	293.99018
6.5	54.269215	52.912485	52.946403	51.621895	320.45759
7	53.64297	52.301895	52.335422	51.026199	346.61957
7.5	52.633745	51.317901	51.350797	50.066205	372.28935
8	51.341046	50.05752	50.089608	48.836565	397.32867
8.5	49.844649	48.598533	48.629686	47.413165	421.63819
9	48.207918	47.00272	47.03285	45.856276	445.14947
9.5	46.480773	45.318753	45.347804	44.213382	467.81841
10	44.702225	43.58467	43.612609	42.521595	489.61994
10.5	42.902516	41.829953	41.856767	40.809677	510.54374
11	41.104859	40.077238	40.102928	39.099713	530.59082
11.5	39.326878	38.343706	38.368286	37.408464	549.77076
12	37.581756	36.642212	36.6657	35.748471	568.0996
12.5	35.879164	34.982185	35.00461	34.128934	585.59808
13	34.226014	33.370363	33.391755	32.556426	602.2903
69	0.1118565	0.1090601	0.10913	0.1064	923.82301
69.5	0.1062637	0.1036071	0.1036735	0.10108	923.87484
70	0.1009505	0.0984267	0.0984898	0.096026	923.92407
70.5	0.095903	0.0935054	0.0935653	0.0912247	923.97084
71	0.0911078	0.0888301	0.0888871	0.0866635	924.01528

SEL (i+2,j+1)					
t (hari)	fungsi				c (mg/m <sup>3</sup> )
	k <sub>1</sub>	k <sub>2</sub>	k <sub>3</sub>	k <sub>4</sub>	
0					114.17618
0.5	-2.31E-14	-2.31E-14	-2.31E-14	-1.42E-14	114.17618
1	0	0	0	0	114.17618
1.5	-0.045821	-0.044676	-0.044704	-0.043586	114.15383
2	2.1852635	2.1306319	2.1319977	2.0786636	115.2196
2.5	6.6941994	6.5268444	6.5310283	6.367648	118.4844
3	12.741847	12.423301	12.431265	12.120284	124.69867
3.5	19.507644	19.019952	19.032145	18.556036	134.21266
4	26.32329	25.665207	25.68166	25.039207	147.05068
4.5	32.722631	31.904565	31.925017	31.12638	163.00969
5	38.42075	37.460231	37.484244	36.546537	181.74771
5.5	43.272674	42.190857	42.217902	41.161779	202.85204
6	47.232289	46.051481	46.081002	44.928239	225.8875
6.5	50.318457	49.060495	49.091944	47.863859	250.4281
7	52.589529	51.27479	51.307659	50.024146	276.07631
7.5	54.125256	52.772125	52.805953	51.484959	302.47351
8	55.014529	53.639166	53.67355	52.330852	329.30441
8.5	55.347417	53.963732	53.998324	52.647501	356.29766
9	55.210275	53.830018	53.864525	52.517049	383.22403
9.5	54.682947	53.315874	53.350051	52.015445	409.89322
10	53.837389	52.491455	52.525103	51.211134	436.15002
10.5	52.737204	51.418774	51.451734	50.164617	461.87026
11	51.437754	50.15181	50.183959	48.928556	486.95675
11.5	49.98662	48.736955	48.768196	47.54821	511.33551
12	48.424238	47.213632	47.243897	46.062043	534.95229
12.5	46.784629	45.615013	45.644253	44.502416	557.76942
13	45.096136	43.968733	43.996918	42.89629	579.76306
69	0.1580219	0.1540713	0.1541701	0.1503133	1026.3823
69.5	0.1501208	0.1463677	0.1464616	0.1427977	1026.4555
70	0.1426147	0.1390494	0.1391385	0.1356578	1026.525
70.5	0.135484	0.1320969	0.1321816	0.1288749	1026.5911
71	0.1287098	0.125492	0.1255725	0.1224312	1026.6539

SEL (i+3,j+1)					
t (hari)	fungsi				c (mg/m <sup>3</sup> )
	k <sub>1</sub>	k <sub>2</sub>	k <sub>3</sub>	k <sub>4</sub>	
0					98.168571
0.5	0	0	0	0	98.168571
1	0	0	0	0	98.168571
1.5	0	0	0	0	98.168571
2	-0.007021	-0.006846	-0.00685	-0.006679	98.165147
2.5	0.505607	0.4929668	0.4932828	0.4809428	98.411734
3	1.895821	1.8484255	1.8496104	1.8033405	99.336337
3.5	4.2466236	4.140458	4.1431122	4.039468	101.40744
4	7.4386843	7.2527172	7.2573664	7.075816	105.03533
4.5	11.247272	10.96609	10.973119	10.698616	110.52069
5	15.41685	15.031429	15.041064	14.664797	118.03957
5.5	19.706909	19.214236	19.226553	18.745581	127.65075
6	23.914945	23.317071	23.332018	22.748344	139.3142
6.5	27.884384	27.187274	27.204702	26.524149	152.91358
7	31.503771	30.716177	30.735867	29.966978	168.27814
7.5	34.701586	33.834046	33.855734	33.008799	185.20231
8	37.439357	36.503373	36.526773	35.613019	203.4617
8.5	39.704609	38.711993	38.736809	37.767768	222.82586
9	41.504382	40.466772	40.492712	39.479746	243.06779
9.5	42.859685	41.788193	41.81498	40.768936	263.9707
10	43.800927	42.705904	42.733279	41.664263	285.33266
10.5	44.364287	43.25518	43.282908	42.200142	306.96938
11	44.588918	43.474195	43.502063	42.413815	328.71565
11.5	44.514846	43.401975	43.429797	42.343356	350.4258
12	44.18145	43.076914	43.104527	42.026224	371.97334
12.5	43.626396	42.535737	42.563003	41.498246	393.25019
13	42.884944	41.81282	41.839623	40.792962	414.16542
69	0.1773335	0.1729002	0.173011	0.1686829	893.11415
69.5	0.1684668	0.1642551	0.1643604	0.1602488	893.19631
70	0.1600435	0.1560424	0.1561424	0.1522364	893.27437
70.5	0.1520413	0.1482403	0.1483353	0.1446245	893.34852
71	0.1444392	0.1408283	0.1409185	0.1373933	893.41896

SEL (i+4,j+1)					
t (hari)	fungsi				c (mg/m <sup>3</sup> )
	k <sub>1</sub>	k <sub>2</sub>	k <sub>3</sub>	k <sub>4</sub>	
0					78.536457
0.5	-1.07E-14	-1.07E-14	-1.07E-14	-1.07E-14	78.536457
1	-1.07E-14	-1.07E-14	-1.07E-14	-1.07E-14	78.536457
1.5	-1.07E-14	-1.07E-14	-1.07E-14	-1.07E-14	78.536457
2	-1.07E-14	-1.07E-14	-1.07E-14	-1.07E-14	78.536457
2.5	-0.001075	-0.001048	-0.001049	-0.001023	78.535933
3	0.1035707	0.1009814	0.1010462	0.0985184	78.586445
3.5	0.459699	0.4482065	0.4484938	0.4372743	78.810642
4	1.1859056	1.156258	1.1569992	1.1280557	79.389015
4.5	2.3434977	2.2849102	2.2863749	2.2291789	80.531953
5	3.9343117	3.8359539	3.8384128	3.742391	82.450739
5.5	5.9127749	5.7649556	5.7686511	5.6243424	85.334433
6	8.2022897	7.9972325	8.0023589	7.8021718	89.334737
6.5	10.710571	10.442806	10.449501	10.188096	94.558344
7	13.341756	13.008212	13.016551	12.690928	101.06519
7.5	16.004892	15.60477	15.614773	15.224153	108.87087
8	18.619218	18.153738	18.165375	17.710949	117.95157
8.5	21.116938	20.589015	20.602213	20.086828	128.25042
9	23.444182	22.858078	22.87273	22.300546	139.68429
9.5	25.56074	24.921721	24.937697	24.313855	152.1504
10	27.439033	26.753057	26.770207	26.100523	165.53258
10.5	29.062659	28.336092	28.354257	27.644946	179.7066
11	30.424741	29.664122	29.683138	28.940584	194.54492
11.5	31.526251	30.738095	30.757798	29.988361	209.92046
12	32.374404	31.565044	31.585278	30.79514	225.70964
12.5	32.981187	32.156658	32.177271	31.372324	241.79475
13	33.362056	32.528004	32.548856	31.734613	258.06562
69	0.1859529	0.1813041	0.1814203	0.1768819	717.52368
69.5	0.1766552	0.1722389	0.1723493	0.1680378	717.60983
70	0.1678225	0.1636269	0.1637318	0.1596359	717.69168
70.5	0.1594314	0.1554456	0.1555452	0.1516541	717.76944
71	0.1514598	0.1476733	0.147768	0.1440714	717.84331

SEL (i+1,j-1)					
t (hari)	fungsi				c (mg/m <sup>3</sup> )
	k <sub>1</sub>	k <sub>2</sub>	k <sub>3</sub>	k <sub>4</sub>	
0					107.40499
0.5	0	0	0	0	107.40499
1	-0.306521	-0.298857	-0.299049	-0.291568	107.2555
1.5	6.9550213	6.7811458	6.7854927	6.6157467	110.6475
2	16.624244	16.208638	16.219028	15.813292	118.75524
2.5	26.179797	25.525302	25.541664	24.902714	131.52328
3	34.511628	33.648838	33.670408	32.828108	148.3548
3.5	41.243094	40.212017	40.237794	39.231205	168.46929
4	46.360707	45.201689	45.230665	44.099174	191.07967
4.5	50.015219	48.764838	48.796098	47.575414	215.47238
5	52.417483	51.107046	51.139807	49.860493	241.03669
5.5	53.786226	52.44157	52.475187	51.162467	267.26854
6	54.323827	52.965731	52.999684	51.673843	293.76258
6.5	54.206861	52.85169	52.885569	51.562583	320.19958
7	53.584134	52.244531	52.278021	50.970233	346.33287
7.5	52.578263	51.263806	51.296668	50.01343	371.97559
8	51.288724	50.006506	50.038562	48.786796	396.98939
8.5	49.795287	48.550404	48.581527	47.36621	421.27484
9	48.16132	46.957287	46.987388	45.81195	444.76339
9.5	46.436753	45.275834	45.304857	44.17151	467.41086
10	44.660613	43.544098	43.572011	42.482012	489.1921
10.5	42.863153	41.791575	41.818364	40.772235	510.0967
11	41.067603	40.040913	40.066581	39.064274	530.12561
11.5	39.291597	38.309307	38.333864	37.374904	549.28834
12	37.548329	36.60962	36.633088	35.716674	567.60088
12.5	35.847481	34.951294	34.973699	34.098796	585.0839
13	34.195973	33.341074	33.362446	32.527851	601.76147
69	0.1117614	0.1089674	0.1090372	0.1063095	923.01897
69.5	0.1061733	0.103519	0.1035854	0.1009941	923.07075
70	0.1008647	0.098343	0.0984061	0.0959444	923.11994
70.5	0.0958214	0.0934259	0.0934858	0.0911471	923.16667
71	0.0910304	0.0887546	0.0888115	0.0865898	923.21107

SEL (i+2,j-1)					
t (hari)	fungsi				c (mg/m <sup>3</sup> )
	k <sub>1</sub>	k <sub>2</sub>	k <sub>3</sub>	k <sub>4</sub>	
0					114.17521
0.5	0	0	0	0	114.17521
1	0	0	0	0	114.17521
1.5	-0.046967	-0.045793	-0.045823	-0.044676	114.1523
2	2.1767289	2.1223107	2.1236712	2.0705454	115.21391
2.5	6.6747267	6.5078586	6.5120303	6.3491252	118.46921
3	12.711163	12.393384	12.401329	12.091097	124.66852
3.5	19.467525	18.980837	18.993004	18.517875	134.16294
4	26.276338	25.61943	25.635853	24.994546	146.97806
4.5	32.67147	31.854684	31.875103	31.077715	162.91212
5	38.367627	37.408436	37.432416	36.496006	181.62423
5.5	43.219322	42.138839	42.165851	41.111029	202.70255
6	47.179942	46.000444	46.029931	44.878446	225.71247
6.5	50.267928	49.01123	49.042647	47.815796	250.22843
7	52.541302	51.22777	51.260608	49.978272	275.85312
7.5	54.079579	52.727589	52.761389	51.441509	302.22804
8	54.971483	53.597196	53.631553	52.289905	329.03795
8.5	55.306977	53.924303	53.95887	52.609034	356.01148
9	55.172349	53.793041	53.827523	52.480973	382.91935
9.5	54.647407	53.281222	53.315376	51.981638	409.57121
10	53.804087	52.458985	52.492613	51.179457	435.81177
10.5	52.705988	51.388338	51.421279	50.134924	461.51678
11	51.408475	50.123263	50.155393	48.900705	486.58899
11.5	49.959134	48.710155	48.74138	47.522065	510.95434
12	48.398412	47.188451	47.2187	46.037477	534.55853
12.5	46.760338	45.59133	45.620555	44.47931	557.36381
13	45.073269	43.946437	43.974608	42.874539	579.3463
69	0.1579535	0.1540046	0.1541033	0.1502483	1025.7646
69.5	0.1500558	0.1463044	0.1463982	0.1427359	1025.8378
70	0.142553	0.1389892	0.1390783	0.1355991	1025.9073
70.5	0.1354253	0.1320397	0.1321244	0.1288191	1025.9733
71	0.1286541	0.1254377	0.1255181	0.1223782	1026.0361

SEL (i+3,j-1)					
t (hari)	fungsi				c (mg/m <sup>3</sup> )
	k <sub>1</sub>	k <sub>2</sub>	k <sub>3</sub>	k <sub>4</sub>	
0					98.155045
0.5	0	0	0	0	98.155045
1	0	0	0	0	98.155045
1.5	0	0	0	0	98.155045
2	-0.007192	-0.007012	-0.007017	-0.006841	98.151537
2.5	0.5036751	0.4910832	0.491398	0.4791052	98.397182
3	1.8903106	1.8430529	1.8442343	1.7980989	99.319098
3.5	4.236356	4.1304471	4.1330948	4.0297012	101.38519
4	7.4233511	7.2377673	7.2424069	7.0612308	105.0056
4.5	11.227285	10.946603	10.95362	10.679604	110.48122
5	15.393066	15.008239	15.01786	14.642173	117.9885
5.5	19.680366	19.188357	19.200657	18.720333	127.58673
6	23.886678	23.289511	23.304441	22.721456	139.2364
6.5	27.855312	27.158929	27.176338	26.496495	152.82159
7	31.474645	30.687779	30.70745	29.939272	168.17196
7.5	34.672981	33.806157	33.827827	32.98159	185.08217
8	37.411689	36.476397	36.499779	35.5867	203.32807
8.5	39.678152	38.686199	38.710997	37.742603	222.67933
9	41.479304	40.442322	40.468246	39.455892	242.90902
9.5	42.836069	41.765167	41.791939	40.746472	263.80042
10	43.778792	42.684322	42.711684	41.643208	285.15159
10.5	44.343612	43.235021	43.262736	42.180475	306.77822
11	44.56965	43.455409	43.483265	42.395487	328.51509
11.5	44.496917	43.384494	43.412305	42.326302	350.21649
12	44.16478	43.06066	43.088263	42.010367	371.75591
12.5	43.610901	42.520629	42.547886	41.483507	393.0252
13	42.870539	41.798775	41.825569	40.77926	413.9334
69	0.1772984	0.1728659	0.1729768	0.1686496	892.771
69.5	0.1684335	0.1642226	0.1643279	0.1602171	892.85315
70	0.1600118	0.1560115	0.1561115	0.1522062	892.93119
70.5	0.1520112	0.1482109	0.1483059	0.1445959	893.00533
71	0.1444107	0.1408004	0.1408907	0.1373661	893.07576

SEL (i+4,j-1)					
t (hari)	fungsi				c (mg/m <sup>3</sup> )
	k <sub>1</sub>	k <sub>2</sub>	k <sub>3</sub>	k <sub>4</sub>	
0					78.524005
0.5	0	0	0	0	78.524005
1	0	0	0	0	78.524005
1.5	0	0	0	0	78.524005
2	0	0	0	0	78.524005
2.5	-0.001101	-0.001073	-0.001074	-0.001047	78.523468
3	0.1031648	0.1005857	0.1006501	0.0981323	78.573782
3.5	0.4583019	0.4468443	0.4471308	0.4359453	78.797299
4	1.1828838	1.1533117	1.154051	1.1251812	79.374198
4.5	2.3383868	2.2799271	2.2813886	2.2243174	80.514643
5	3.9269034	3.8287308	3.8311851	3.7353441	82.429816
5.5	5.9031123	5.7555345	5.7592239	5.6151511	85.308798
6	8.190611	7.9858457	7.9909648	7.7910627	89.303405
6.5	10.697237	10.429806	10.436491	10.175412	94.520509
7	13.327182	12.994002	13.002332	12.677065	101.02025
7.5	15.989496	15.589758	15.599752	15.209508	108.81842
8	18.603385	18.138301	18.149928	17.695889	117.8914
8.5	21.101004	20.573478	20.586667	20.07167	128.18248
9	23.42842	22.84271	22.857352	22.285553	139.60865
9.5	25.545366	24.906732	24.922698	24.299231	152.06727
10	27.424209	26.738604	26.755744	26.086422	165.44222
10.5	29.048498	28.322285	28.340441	27.631476	179.60934
11	30.411316	29.651033	29.67004	28.927814	194.44111
11.5	31.513604	30.725764	30.74546	29.976331	209.81048
12	32.362551	31.553487	31.573714	30.783865	225.59388
12.5	32.970124	32.145871	32.166477	31.3618	241.6736
13	33.351765	32.51797	32.538815	31.724824	257.93944
69	0.1859362	0.1812878	0.181404	0.176866	717.3307
69.5	0.1766394	0.1722234	0.1723338	0.1680227	717.41685
70	0.1678074	0.1636122	0.1637171	0.1596216	717.49869
70.5	0.159417	0.1554316	0.1555313	0.1516405	717.57644
71	0.1514462	0.14766	0.1477547	0.1440585	717.6503

**B. Hasil Perhitungan *Runge-Kutta* Masing-Masing Sel (Kondisi *Unsteady*, Beban Berubah Terhadap Waktu)**

SEL (i,j)					
t (hari)	fungsi				c (mg/m <sup>3</sup> )
	k <sub>1</sub>	k <sub>2</sub>	k <sub>3</sub>	k <sub>4</sub>	
0					247.67857
0.5	113.32618	113.32618	113.32618	113.32618	304.34166
1	53.3241	53.3241	53.3241	53.3241	331.00371
1.5	17.701585	17.701585	17.701585	17.701585	339.8545
2	-3.172506	-3.172506	-3.172506	-3.172506	338.26825
2.5	-15.13783	-15.13783	-15.13783	-15.13783	330.69933
3	-21.73448	-21.73448	-21.73448	-21.73448	319.83209
3.5	-25.10791	-25.10791	-25.10791	-25.10791	307.27814
4	-26.55774	-26.55774	-26.55774	-26.55774	293.99927
4.5	-26.87065	-26.87065	-26.87065	-26.87065	280.56395
5	-26.52231	-26.52231	-26.52231	-26.52231	267.30279
5.5	-25.79981	-25.79981	-25.79981	-25.79981	254.40289
6	-24.87593	-24.87593	-24.87593	-24.87593	241.96492
6.5	-23.85419	-23.85419	-23.85419	-23.85419	230.03783
7	-22.79617	-22.79617	-22.79617	-22.79617	218.63974
7.5	-21.73805	-21.73805	-21.73805	-21.73805	207.77072
8	-20.70069	-20.70069	-20.70069	-20.70069	197.42037
8.5	-19.69571	-19.69571	-19.69571	-19.69571	187.57252
9	-18.72915	-18.72915	-18.72915	-18.72915	178.20794
9.5	-17.80375	-17.80375	-17.80375	-17.80375	169.30606
10	-16.92027	-16.92027	-16.92027	-16.92027	160.84593
10.5	-16.07832	-16.07832	-16.07832	-16.07832	152.80677
11	-15.27687	-15.27687	-15.27687	-15.27687	145.16833
11.5	-14.51453	-14.51453	-14.51453	-14.51453	137.91107
12	-13.78971	-13.78971	-13.78971	-13.78971	131.01621
12.5	-13.10077	-13.10077	-13.10077	-13.10077	124.46583
13	-12.44607	-12.44607	-12.44607	-12.44607	118.24279
69	-0.03982	-0.03982	-0.03982	-0.03982	0.3782859
69.5	-0.037829	-0.037829	-0.037829	-0.037829	0.3593716
70	-0.035937	-0.035937	-0.035937	-0.035937	0.341403
70.5	-0.03414	-0.03414	-0.03414	-0.03414	0.3243329
71	-0.032433	-0.032433	-0.032433	-0.032433	0.3081162

t (hari)	SEL (i,j+1) fungsi				c (mg/m <sup>3</sup> )
	k <sub>1</sub>	k <sub>2</sub>	k <sub>3</sub>	k <sub>4</sub>	
0					19
0.5	-1.9	-1.9	-1.9	-1.9	18.05
1	-1.805	-1.805	-1.805	-1.805	17.1475
1.5	-1.71475	-1.71475	-1.71475	-1.71475	16.290125
2	-1.629013	-1.629013	-1.629013	-1.629013	15.475619
2.5	-1.547562	-1.547562	-1.547562	-1.547562	14.701838
3	-1.470184	-1.470184	-1.470184	-1.470184	13.966746
3.5	-1.396675	-1.396675	-1.396675	-1.396675	13.268409
4	-1.326841	-1.326841	-1.326841	-1.326841	12.604988
4.5	-1.260499	-1.260499	-1.260499	-1.260499	11.974739
5	-1.197474	-1.197474	-1.197474	-1.197474	11.376002
5.5	-1.1376	-1.1376	-1.1376	-1.1376	10.807202
6	-1.08072	-1.08072	-1.08072	-1.08072	10.266842
6.5	-1.026684	-1.026684	-1.026684	-1.026684	9.7534996
7	-0.97535	-0.97535	-0.97535	-0.97535	9.2658246
7.5	-0.926582	-0.926582	-0.926582	-0.926582	8.8025334
8	-0.880253	-0.880253	-0.880253	-0.880253	8.3624067
8.5	-0.836241	-0.836241	-0.836241	-0.836241	7.9442864
9	-0.794429	-0.794429	-0.794429	-0.794429	7.5470721
9.5	-0.754707	-0.754707	-0.754707	-0.754707	7.1697184
10	-0.716972	-0.716972	-0.716972	-0.716972	6.8112325
10.5	-0.681123	-0.681123	-0.681123	-0.681123	6.4706709
11	-0.647067	-0.647067	-0.647067	-0.647067	6.1471374
11.5	-0.614714	-0.614714	-0.614714	-0.614714	5.8397805
12	-0.583978	-0.583978	-0.583978	-0.583978	5.5477915
12.5	-0.554779	-0.554779	-0.554779	-0.554779	5.2704019
13	-0.52704	-0.52704	-0.52704	-0.52704	5.0068818
69	-0.001686	-0.001686	-0.001686	-0.001686	0.0160181
69.5	-0.001602	-0.001602	-0.001602	-0.001602	0.0152172
70	-0.001522	-0.001522	-0.001522	-0.001522	0.0144563
70.5	-0.001446	-0.001446	-0.001446	-0.001446	0.0137335
71	-0.001373	-0.001373	-0.001373	-0.001373	0.0130468

SEL (i+5,j+1)					
t (hari)	fungsi				c (mg/m <sup>3</sup> )
	k <sub>1</sub>	k <sub>2</sub>	k <sub>3</sub>	k <sub>4</sub>	
0					18.2
0.5	-1.82	-1.82	-1.82	-1.82	17.29
1	-1.729	-1.729	-1.729	-1.729	16.4255
1.5	-1.64255	-1.64255	-1.64255	-1.64255	15.604225
2	-1.560423	-1.560423	-1.560423	-1.560423	14.824014
2.5	-1.482401	-1.482401	-1.482401	-1.482401	14.082813
3	-1.408281	-1.408281	-1.408281	-1.408281	13.378672
3.5	-1.337867	-1.337867	-1.337867	-1.337867	12.709739
4	-1.270974	-1.270974	-1.270974	-1.270974	12.074252
4.5	-1.207425	-1.207425	-1.207425	-1.207425	11.470539
5	-1.147054	-1.147054	-1.147054	-1.147054	10.897012
5.5	-1.089701	-1.089701	-1.089701	-1.089701	10.352162
6	-1.035216	-1.035216	-1.035216	-1.035216	9.8345536
6.5	-0.983455	-0.983455	-0.983455	-0.983455	9.3428259
7	-0.934283	-0.934283	-0.934283	-0.934283	8.8756846
7.5	-0.887568	-0.887568	-0.887568	-0.887568	8.4319004
8	-0.84319	-0.84319	-0.84319	-0.84319	8.0103054
8.5	-0.801031	-0.801031	-0.801031	-0.801031	7.6097901
9	-0.760979	-0.760979	-0.760979	-0.760979	7.2293006
9.5	-0.72293	-0.72293	-0.72293	-0.72293	6.8678356
10	-0.686784	-0.686784	-0.686784	-0.686784	6.5244438
10.5	-0.652444	-0.652444	-0.652444	-0.652444	6.1982216
11	-0.619822	-0.619822	-0.619822	-0.619822	5.8883105
11.5	-0.588831	-0.588831	-0.588831	-0.588831	5.593895
12	-0.559389	-0.559389	-0.559389	-0.559389	5.3142002
12.5	-0.53142	-0.53142	-0.53142	-0.53142	5.0484902
13	-0.504849	-0.504849	-0.504849	-0.504849	4.7960657
69	-0.001615	-0.001615	-0.001615	-0.001615	0.0153437
69.5	-0.001534	-0.001534	-0.001534	-0.001534	0.0145765
70	-0.001458	-0.001458	-0.001458	-0.001458	0.0138477
70.5	-0.001385	-0.001385	-0.001385	-0.001385	0.0131553
71	-0.001316	-0.001316	-0.001316	-0.001316	0.0124975

t (hari)	SEL (i,j-1) fungsi				c (mg/m <sup>3</sup> )
	k <sub>1</sub>	k <sub>2</sub>	k <sub>3</sub>	k <sub>4</sub>	
0					19.5
0.5	-1.95	-1.95	-1.95	-1.95	18.525
1	-1.8525	-1.8525	-1.8525	-1.8525	17.59875
1.5	-1.759875	-1.759875	-1.759875	-1.759875	16.718813
2	-1.671881	-1.671881	-1.671881	-1.671881	15.882872
2.5	-1.588287	-1.588287	-1.588287	-1.588287	15.088728
3	-1.508873	-1.508873	-1.508873	-1.508873	14.334292
3.5	-1.433429	-1.433429	-1.433429	-1.433429	13.617577
4	-1.361758	-1.361758	-1.361758	-1.361758	12.936698
4.5	-1.29367	-1.29367	-1.29367	-1.29367	12.289863
5	-1.228986	-1.228986	-1.228986	-1.228986	11.67537
5.5	-1.167537	-1.167537	-1.167537	-1.167537	11.091602
6	-1.10916	-1.10916	-1.10916	-1.10916	10.537022
6.5	-1.053702	-1.053702	-1.053702	-1.053702	10.010171
7	-1.001017	-1.001017	-1.001017	-1.001017	9.5096621
7.5	-0.950966	-0.950966	-0.950966	-0.950966	9.034179
8	-0.903418	-0.903418	-0.903418	-0.903418	8.58247
8.5	-0.858247	-0.858247	-0.858247	-0.858247	8.1533465
9	-0.815335	-0.815335	-0.815335	-0.815335	7.7456792
9.5	-0.774568	-0.774568	-0.774568	-0.774568	7.3583952
10	-0.73584	-0.73584	-0.73584	-0.73584	6.9904755
10.5	-0.699048	-0.699048	-0.699048	-0.699048	6.6409517
11	-0.664095	-0.664095	-0.664095	-0.664095	6.3089041
11.5	-0.63089	-0.63089	-0.63089	-0.63089	5.9934589
12	-0.599346	-0.599346	-0.599346	-0.599346	5.693786
12.5	-0.569379	-0.569379	-0.569379	-0.569379	5.4090967
13	-0.54091	-0.54091	-0.54091	-0.54091	5.1386418
69	-0.00173	-0.00173	-0.00173	-0.00173	0.0164396
69.5	-0.001644	-0.001644	-0.001644	-0.001644	0.0156177
70	-0.001562	-0.001562	-0.001562	-0.001562	0.0148368
70.5	-0.001484	-0.001484	-0.001484	-0.001484	0.0140949
71	-0.001409	-0.001409	-0.001409	-0.001409	0.0133902

SEL (i+5,j-1)					
t (hari)	fungsi				c (mg/m <sup>3</sup> )
	k <sub>1</sub>	k <sub>2</sub>	k <sub>3</sub>	k <sub>4</sub>	
0					18.4
0.5	-1.84	-1.84	-1.84	-1.84	17.48
1	-1.748	-1.748	-1.748	-1.748	16.606
1.5	-1.6606	-1.6606	-1.6606	-1.6606	15.7757
2	-1.57757	-1.57757	-1.57757	-1.57757	14.986915
2.5	-1.498692	-1.498692	-1.498692	-1.498692	14.237569
3	-1.423757	-1.423757	-1.423757	-1.423757	13.525691
3.5	-1.352569	-1.352569	-1.352569	-1.352569	12.849406
4	-1.284941	-1.284941	-1.284941	-1.284941	12.206936
4.5	-1.220694	-1.220694	-1.220694	-1.220694	11.596589
5	-1.159659	-1.159659	-1.159659	-1.159659	11.01676
5.5	-1.101676	-1.101676	-1.101676	-1.101676	10.465922
6	-1.046592	-1.046592	-1.046592	-1.046592	9.9426256
6.5	-0.994263	-0.994263	-0.994263	-0.994263	9.4454943
7	-0.944549	-0.944549	-0.944549	-0.944549	8.9732196
7.5	-0.897322	-0.897322	-0.897322	-0.897322	8.5245586
8	-0.852456	-0.852456	-0.852456	-0.852456	8.0983307
8.5	-0.809833	-0.809833	-0.809833	-0.809833	7.6934142
9	-0.769341	-0.769341	-0.769341	-0.769341	7.3087435
9.5	-0.730874	-0.730874	-0.730874	-0.730874	6.9433063
10	-0.694331	-0.694331	-0.694331	-0.694331	6.596141
10.5	-0.659614	-0.659614	-0.659614	-0.659614	6.2663339
11	-0.626633	-0.626633	-0.626633	-0.626633	5.9530172
11.5	-0.595302	-0.595302	-0.595302	-0.595302	5.6553664
12	-0.565537	-0.565537	-0.565537	-0.565537	5.372598
12.5	-0.53726	-0.53726	-0.53726	-0.53726	5.1039681
13	-0.510397	-0.510397	-0.510397	-0.510397	4.8487697
69	-0.001633	-0.001633	-0.001633	-0.001633	0.0155123
69.5	-0.001551	-0.001551	-0.001551	-0.001551	0.0147367
70	-0.001474	-0.001474	-0.001474	-0.001474	0.0139998
70.5	-0.0014	-0.0014	-0.0014	-0.0014	0.0132998
71	-0.00133	-0.00133	-0.00133	-0.00133	0.0126348

SEL (i+1,j+2)					
t (hari)	fungsi				c (mg/m <sup>3</sup> )
	k <sub>1</sub>	k <sub>2</sub>	k <sub>3</sub>	k <sub>4</sub>	
0					19
0.5	-1.9	-1.9	-1.9	-1.9	18.05
1	-1.805	-1.805	-1.805	-1.805	17.1475
1.5	-1.71475	-1.71475	-1.71475	-1.71475	16.290125
2	-1.629013	-1.629013	-1.629013	-1.629013	15.475619
2.5	-1.547562	-1.547562	-1.547562	-1.547562	14.701838
3	-1.470184	-1.470184	-1.470184	-1.470184	13.966746
3.5	-1.396675	-1.396675	-1.396675	-1.396675	13.268409
4	-1.326841	-1.326841	-1.326841	-1.326841	12.604988
4.5	-1.260499	-1.260499	-1.260499	-1.260499	11.974739
5	-1.197474	-1.197474	-1.197474	-1.197474	11.376002
5.5	-1.1376	-1.1376	-1.1376	-1.1376	10.807202
6	-1.08072	-1.08072	-1.08072	-1.08072	10.266842
6.5	-1.026684	-1.026684	-1.026684	-1.026684	9.7534996
7	-0.97535	-0.97535	-0.97535	-0.97535	9.2658246
7.5	-0.926582	-0.926582	-0.926582	-0.926582	8.8025334
8	-0.880253	-0.880253	-0.880253	-0.880253	8.3624067
8.5	-0.836241	-0.836241	-0.836241	-0.836241	7.9442864
9	-0.794429	-0.794429	-0.794429	-0.794429	7.5470721
9.5	-0.754707	-0.754707	-0.754707	-0.754707	7.1697184
10	-0.716972	-0.716972	-0.716972	-0.716972	6.8112325
10.5	-0.681123	-0.681123	-0.681123	-0.681123	6.4706709
11	-0.647067	-0.647067	-0.647067	-0.647067	6.1471374
11.5	-0.614714	-0.614714	-0.614714	-0.614714	5.8397805
12	-0.583978	-0.583978	-0.583978	-0.583978	5.5477915
12.5	-0.554779	-0.554779	-0.554779	-0.554779	5.2704019
13	-0.52704	-0.52704	-0.52704	-0.52704	5.0068818
69	-0.001686	-0.001686	-0.001686	-0.001686	0.0160181
69.5	-0.001602	-0.001602	-0.001602	-0.001602	0.0152172
70	-0.001522	-0.001522	-0.001522	-0.001522	0.0144563
70.5	-0.001446	-0.001446	-0.001446	-0.001446	0.0137335
71	-0.001373	-0.001373	-0.001373	-0.001373	0.0130468

t (hari)	SEL (i+2,j+2)				c (mg/m <sup>3</sup> )
	k <sub>1</sub>	k <sub>2</sub>	k <sub>3</sub>	k <sub>4</sub>	
0					18.7
0.5	-1.87	-1.87	-1.87	-1.87	17.765
1	-1.7765	-1.7765	-1.7765	-1.7765	16.87675
1.5	-1.687675	-1.687675	-1.687675	-1.687675	16.032913
2	-1.603291	-1.603291	-1.603291	-1.603291	15.231267
2.5	-1.523127	-1.523127	-1.523127	-1.523127	14.469704
3	-1.44697	-1.44697	-1.44697	-1.44697	13.746218
3.5	-1.374622	-1.374622	-1.374622	-1.374622	13.058907
4	-1.305891	-1.305891	-1.305891	-1.305891	12.405962
4.5	-1.240596	-1.240596	-1.240596	-1.240596	11.785664
5	-1.178566	-1.178566	-1.178566	-1.178566	11.196381
5.5	-1.119638	-1.119638	-1.119638	-1.119638	10.636562
6	-1.063656	-1.063656	-1.063656	-1.063656	10.104734
6.5	-1.010473	-1.010473	-1.010473	-1.010473	9.599497
7	-0.95995	-0.95995	-0.95995	-0.95995	9.1195221
7.5	-0.911952	-0.911952	-0.911952	-0.911952	8.663546
8	-0.866355	-0.866355	-0.866355	-0.866355	8.2303687
8.5	-0.823037	-0.823037	-0.823037	-0.823037	7.8188503
9	-0.781885	-0.781885	-0.781885	-0.781885	7.4279078
9.5	-0.742791	-0.742791	-0.742791	-0.742791	7.0565124
10	-0.705651	-0.705651	-0.705651	-0.705651	6.7036867
10.5	-0.670369	-0.670369	-0.670369	-0.670369	6.3685024
11	-0.63685	-0.63685	-0.63685	-0.63685	6.0500773
11.5	-0.605008	-0.605008	-0.605008	-0.605008	5.7475734
12	-0.574757	-0.574757	-0.574757	-0.574757	5.4601948
12.5	-0.546019	-0.546019	-0.546019	-0.546019	5.187185
13	-0.518719	-0.518719	-0.518719	-0.518719	4.9278258
69	-0.001659	-0.001659	-0.001659	-0.001659	0.0157652
69.5	-0.001577	-0.001577	-0.001577	-0.001577	0.0149769
70	-0.001498	-0.001498	-0.001498	-0.001498	0.0142281
70.5	-0.001423	-0.001423	-0.001423	-0.001423	0.0135167
71	-0.001352	-0.001352	-0.001352	-0.001352	0.0128408

SEL (i+3,j+2)					
t (hari)	fungsi				c (mg/m <sup>3</sup> )
	k <sub>1</sub>	k <sub>2</sub>	k <sub>3</sub>	k <sub>4</sub>	
0					18.5
0.5	-1.85	-1.85	-1.85	-1.85	17.575
1	-1.7575	-1.7575	-1.7575	-1.7575	16.69625
1.5	-1.669625	-1.669625	-1.669625	-1.669625	15.861438
2	-1.586144	-1.586144	-1.586144	-1.586144	15.068366
2.5	-1.506837	-1.506837	-1.506837	-1.506837	14.314947
3	-1.431495	-1.431495	-1.431495	-1.431495	13.5992
3.5	-1.35992	-1.35992	-1.35992	-1.35992	12.91924
4	-1.291924	-1.291924	-1.291924	-1.291924	12.273278
4.5	-1.227328	-1.227328	-1.227328	-1.227328	11.659614
5	-1.165961	-1.165961	-1.165961	-1.165961	11.076633
5.5	-1.107663	-1.107663	-1.107663	-1.107663	10.522802
6	-1.05228	-1.05228	-1.05228	-1.05228	9.9966616
6.5	-0.999666	-0.999666	-0.999666	-0.999666	9.4968285
7	-0.949683	-0.949683	-0.949683	-0.949683	9.0219871
7.5	-0.902199	-0.902199	-0.902199	-0.902199	8.5708878
8	-0.857089	-0.857089	-0.857089	-0.857089	8.1423434
8.5	-0.814234	-0.814234	-0.814234	-0.814234	7.7352262
9	-0.773523	-0.773523	-0.773523	-0.773523	7.3484649
9.5	-0.734846	-0.734846	-0.734846	-0.734846	6.9810416
10	-0.698104	-0.698104	-0.698104	-0.698104	6.6319896
10.5	-0.663199	-0.663199	-0.663199	-0.663199	6.3003901
11	-0.630039	-0.630039	-0.630039	-0.630039	5.9853706
11.5	-0.598537	-0.598537	-0.598537	-0.598537	5.6861021
12	-0.56861	-0.56861	-0.56861	-0.56861	5.401797
12.5	-0.54018	-0.54018	-0.54018	-0.54018	5.1317071
13	-0.513171	-0.513171	-0.513171	-0.513171	4.8751217
69	-0.001642	-0.001642	-0.001642	-0.001642	0.0155966
69.5	-0.00156	-0.00156	-0.00156	-0.00156	0.0148167
70	-0.001482	-0.001482	-0.001482	-0.001482	0.0140759
70.5	-0.001408	-0.001408	-0.001408	-0.001408	0.0133721
71	-0.001337	-0.001337	-0.001337	-0.001337	0.0127035

SEL (i+4,j+2)					
t (hari)	fungsi				c (mg/m <sup>3</sup> )
	k <sub>1</sub>	k <sub>2</sub>	k <sub>3</sub>	k <sub>4</sub>	
0					18.4
0.5	-1.84	-1.84	-1.84	-1.84	17.48
1	-1.748	-1.748	-1.748	-1.748	16.606
1.5	-1.6606	-1.6606	-1.6606	-1.6606	15.7757
2	-1.57757	-1.57757	-1.57757	-1.57757	14.986915
2.5	-1.498692	-1.498692	-1.498692	-1.498692	14.237569
3	-1.423757	-1.423757	-1.423757	-1.423757	13.525691
3.5	-1.352569	-1.352569	-1.352569	-1.352569	12.849406
4	-1.284941	-1.284941	-1.284941	-1.284941	12.206936
4.5	-1.220694	-1.220694	-1.220694	-1.220694	11.596589
5	-1.159659	-1.159659	-1.159659	-1.159659	11.01676
5.5	-1.101676	-1.101676	-1.101676	-1.101676	10.465922
6	-1.046592	-1.046592	-1.046592	-1.046592	9.9426256
6.5	-0.994263	-0.994263	-0.994263	-0.994263	9.4454943
7	-0.944549	-0.944549	-0.944549	-0.944549	8.9732196
7.5	-0.897322	-0.897322	-0.897322	-0.897322	8.5245586
8	-0.852456	-0.852456	-0.852456	-0.852456	8.0983307
8.5	-0.809833	-0.809833	-0.809833	-0.809833	7.6934142
9	-0.769341	-0.769341	-0.769341	-0.769341	7.3087435
9.5	-0.730874	-0.730874	-0.730874	-0.730874	6.9433063
10	-0.694331	-0.694331	-0.694331	-0.694331	6.596141
10.5	-0.659614	-0.659614	-0.659614	-0.659614	6.2663339
11	-0.626633	-0.626633	-0.626633	-0.626633	5.9530172
11.5	-0.595302	-0.595302	-0.595302	-0.595302	5.6553664
12	-0.565537	-0.565537	-0.565537	-0.565537	5.372598
12.5	-0.53726	-0.53726	-0.53726	-0.53726	5.1039681
13	-0.510397	-0.510397	-0.510397	-0.510397	4.8487697
69	-0.001633	-0.001633	-0.001633	-0.001633	0.0155123
69.5	-0.001551	-0.001551	-0.001551	-0.001551	0.0147367
70	-0.001474	-0.001474	-0.001474	-0.001474	0.0139998
70.5	-0.0014	-0.0014	-0.0014	-0.0014	0.0132998
71	-0.00133	-0.00133	-0.00133	-0.00133	0.0126348

SEL (i+5,j+2)					
t (hari)	fungsi				c (mg/m <sup>3</sup> )
	k <sub>1</sub>	k <sub>2</sub>	k <sub>3</sub>	k <sub>4</sub>	
0					18.3
0.5	-1.83	-1.83	-1.83	-1.83	17.385
1	-1.7385	-1.7385	-1.7385	-1.7385	16.51575
1.5	-1.651575	-1.651575	-1.651575	-1.651575	15.689963
2	-1.568996	-1.568996	-1.568996	-1.568996	14.905464
2.5	-1.490546	-1.490546	-1.490546	-1.490546	14.160191
3	-1.416019	-1.416019	-1.416019	-1.416019	13.452182
3.5	-1.345218	-1.345218	-1.345218	-1.345218	12.779573
4	-1.277957	-1.277957	-1.277957	-1.277957	12.140594
4.5	-1.214059	-1.214059	-1.214059	-1.214059	11.533564
5	-1.153356	-1.153356	-1.153356	-1.153356	10.956886
5.5	-1.095689	-1.095689	-1.095689	-1.095689	10.409042
6	-1.040904	-1.040904	-1.040904	-1.040904	9.8885896
6.5	-0.988859	-0.988859	-0.988859	-0.988859	9.3941601
7	-0.939416	-0.939416	-0.939416	-0.939416	8.9244521
7.5	-0.892445	-0.892445	-0.892445	-0.892445	8.4782295
8	-0.847823	-0.847823	-0.847823	-0.847823	8.054318
8.5	-0.805432	-0.805432	-0.805432	-0.805432	7.6516021
9	-0.76516	-0.76516	-0.76516	-0.76516	7.269022
9.5	-0.726902	-0.726902	-0.726902	-0.726902	6.9055709
10	-0.690557	-0.690557	-0.690557	-0.690557	6.5602924
10.5	-0.656029	-0.656029	-0.656029	-0.656029	6.2322778
11	-0.623228	-0.623228	-0.623228	-0.623228	5.9206639
11.5	-0.592066	-0.592066	-0.592066	-0.592066	5.6246307
12	-0.562463	-0.562463	-0.562463	-0.562463	5.3433991
12.5	-0.53434	-0.53434	-0.53434	-0.53434	5.0762292
13	-0.507623	-0.507623	-0.507623	-0.507623	4.8224177
69	-0.001624	-0.001624	-0.001624	-0.001624	0.015428
69.5	-0.001543	-0.001543	-0.001543	-0.001543	0.0146566
70	-0.001466	-0.001466	-0.001466	-0.001466	0.0139237
70.5	-0.001392	-0.001392	-0.001392	-0.001392	0.0132276
71	-0.001323	-0.001323	-0.001323	-0.001323	0.0125662

SEL (i+1,j-2)					
t (hari)	fungsi				c (mg/m <sup>3</sup> )
	k <sub>1</sub>	k <sub>2</sub>	k <sub>3</sub>	k <sub>4</sub>	
0					19.2
0.5	-1.92	-1.92	-1.92	-1.92	18.24
1	-1.824	-1.824	-1.824	-1.824	17.328
1.5	-1.7328	-1.7328	-1.7328	-1.7328	16.4616
2	-1.64616	-1.64616	-1.64616	-1.64616	15.63852
2.5	-1.563852	-1.563852	-1.563852	-1.563852	14.856594
3	-1.485659	-1.485659	-1.485659	-1.485659	14.113764
3.5	-1.411376	-1.411376	-1.411376	-1.411376	13.408076
4	-1.340808	-1.340808	-1.340808	-1.340808	12.737672
4.5	-1.273767	-1.273767	-1.273767	-1.273767	12.100789
5	-1.210079	-1.210079	-1.210079	-1.210079	11.495749
5.5	-1.149575	-1.149575	-1.149575	-1.149575	10.920962
6	-1.092096	-1.092096	-1.092096	-1.092096	10.374914
6.5	-1.037491	-1.037491	-1.037491	-1.037491	9.856168
7	-0.985617	-0.985617	-0.985617	-0.985617	9.3633596
7.5	-0.936336	-0.936336	-0.936336	-0.936336	8.8951916
8	-0.889519	-0.889519	-0.889519	-0.889519	8.450432
8.5	-0.845043	-0.845043	-0.845043	-0.845043	8.0279104
9	-0.802791	-0.802791	-0.802791	-0.802791	7.6265149
9.5	-0.762651	-0.762651	-0.762651	-0.762651	7.2451892
10	-0.724519	-0.724519	-0.724519	-0.724519	6.8829297
10.5	-0.688293	-0.688293	-0.688293	-0.688293	6.5387832
11	-0.653878	-0.653878	-0.653878	-0.653878	6.2118441
11.5	-0.621184	-0.621184	-0.621184	-0.621184	5.9012519
12	-0.590125	-0.590125	-0.590125	-0.590125	5.6061893
12.5	-0.560619	-0.560619	-0.560619	-0.560619	5.3258798
13	-0.532588	-0.532588	-0.532588	-0.532588	5.0595858
69	-0.001704	-0.001704	-0.001704	-0.001704	0.0161867
69.5	-0.001619	-0.001619	-0.001619	-0.001619	0.0153774
70	-0.001538	-0.001538	-0.001538	-0.001538	0.0146085
70.5	-0.001461	-0.001461	-0.001461	-0.001461	0.0138781
71	-0.001388	-0.001388	-0.001388	-0.001388	0.0131842

SEL (i+2,j-2)					
t (hari)	fungsi				c (mg/m <sup>3</sup> )
	k <sub>1</sub>	k <sub>2</sub>	k <sub>3</sub>	k <sub>4</sub>	
0					19
0.5	-1.9	-1.9	-1.9	-1.9	18.05
1	-1.805	-1.805	-1.805	-1.805	17.1475
1.5	-1.71475	-1.71475	-1.71475	-1.71475	16.290125
2	-1.629013	-1.629013	-1.629013	-1.629013	15.475619
2.5	-1.547562	-1.547562	-1.547562	-1.547562	14.701838
3	-1.470184	-1.470184	-1.470184	-1.470184	13.966746
3.5	-1.396675	-1.396675	-1.396675	-1.396675	13.268409
4	-1.326841	-1.326841	-1.326841	-1.326841	12.604988
4.5	-1.260499	-1.260499	-1.260499	-1.260499	11.974739
5	-1.197474	-1.197474	-1.197474	-1.197474	11.376002
5.5	-1.1376	-1.1376	-1.1376	-1.1376	10.807202
6	-1.08072	-1.08072	-1.08072	-1.08072	10.266842
6.5	-1.026684	-1.026684	-1.026684	-1.026684	9.7534996
7	-0.97535	-0.97535	-0.97535	-0.97535	9.2658246
7.5	-0.926582	-0.926582	-0.926582	-0.926582	8.8025334
8	-0.880253	-0.880253	-0.880253	-0.880253	8.3624067
8.5	-0.836241	-0.836241	-0.836241	-0.836241	7.9442864
9	-0.794429	-0.794429	-0.794429	-0.794429	7.5470721
9.5	-0.754707	-0.754707	-0.754707	-0.754707	7.1697184
10	-0.716972	-0.716972	-0.716972	-0.716972	6.8112325
10.5	-0.681123	-0.681123	-0.681123	-0.681123	6.4706709
11	-0.647067	-0.647067	-0.647067	-0.647067	6.1471374
11.5	-0.614714	-0.614714	-0.614714	-0.614714	5.8397805
12	-0.583978	-0.583978	-0.583978	-0.583978	5.5477915
12.5	-0.554779	-0.554779	-0.554779	-0.554779	5.2704019
13	-0.52704	-0.52704	-0.52704	-0.52704	5.0068818
69	-0.001686	-0.001686	-0.001686	-0.001686	0.0160181
69.5	-0.001602	-0.001602	-0.001602	-0.001602	0.0152172
70	-0.001522	-0.001522	-0.001522	-0.001522	0.0144563
70.5	-0.001446	-0.001446	-0.001446	-0.001446	0.0137335
71	-0.001373	-0.001373	-0.001373	-0.001373	0.0130468

SEL (i+3,j-2)					
t (hari)	fungsi				c (mg/m <sup>3</sup> )
	k <sub>1</sub>	k <sub>2</sub>	k <sub>3</sub>	k <sub>4</sub>	
0					18.7
0.5	-1.87	-1.87	-1.87	-1.87	17.765
1	-1.7765	-1.7765	-1.7765	-1.7765	16.87675
1.5	-1.687675	-1.687675	-1.687675	-1.687675	16.032913
2	-1.603291	-1.603291	-1.603291	-1.603291	15.231267
2.5	-1.523127	-1.523127	-1.523127	-1.523127	14.469704
3	-1.44697	-1.44697	-1.44697	-1.44697	13.746218
3.5	-1.374622	-1.374622	-1.374622	-1.374622	13.058907
4	-1.305891	-1.305891	-1.305891	-1.305891	12.405962
4.5	-1.240596	-1.240596	-1.240596	-1.240596	11.785664
5	-1.178566	-1.178566	-1.178566	-1.178566	11.196381
5.5	-1.119638	-1.119638	-1.119638	-1.119638	10.636562
6	-1.063656	-1.063656	-1.063656	-1.063656	10.104734
6.5	-1.010473	-1.010473	-1.010473	-1.010473	9.599497
7	-0.95995	-0.95995	-0.95995	-0.95995	9.1195221
7.5	-0.911952	-0.911952	-0.911952	-0.911952	8.663546
8	-0.866355	-0.866355	-0.866355	-0.866355	8.2303687
8.5	-0.823037	-0.823037	-0.823037	-0.823037	7.8188503
9	-0.781885	-0.781885	-0.781885	-0.781885	7.4279078
9.5	-0.742791	-0.742791	-0.742791	-0.742791	7.0565124
10	-0.705651	-0.705651	-0.705651	-0.705651	6.7036867
10.5	-0.670369	-0.670369	-0.670369	-0.670369	6.3685024
11	-0.63685	-0.63685	-0.63685	-0.63685	6.0500773
11.5	-0.605008	-0.605008	-0.605008	-0.605008	5.7475734
12	-0.574757	-0.574757	-0.574757	-0.574757	5.4601948
12.5	-0.546019	-0.546019	-0.546019	-0.546019	5.187185
13	-0.518719	-0.518719	-0.518719	-0.518719	4.9278258
69	-0.001659	-0.001659	-0.001659	-0.001659	0.0157652
69.5	-0.001577	-0.001577	-0.001577	-0.001577	0.0149769
70	-0.001498	-0.001498	-0.001498	-0.001498	0.0142281
70.5	-0.001423	-0.001423	-0.001423	-0.001423	0.0135167
71	-0.001352	-0.001352	-0.001352	-0.001352	0.0128408

SEL (i+4,j-2)					
t (hari)	fungsi				c (mg/m <sup>3</sup> )
	k <sub>1</sub>	k <sub>2</sub>	k <sub>3</sub>	k <sub>4</sub>	
0					18.6
0.5	-1.86	-1.86	-1.86	-1.86	17.67
1	-1.767	-1.767	-1.767	-1.767	16.7865
1.5	-1.67865	-1.67865	-1.67865	-1.67865	15.947175
2	-1.594718	-1.594718	-1.594718	-1.594718	15.149816
2.5	-1.514982	-1.514982	-1.514982	-1.514982	14.392325
3	-1.439233	-1.439233	-1.439233	-1.439233	13.672709
3.5	-1.367271	-1.367271	-1.367271	-1.367271	12.989074
4	-1.298907	-1.298907	-1.298907	-1.298907	12.33962
4.5	-1.233962	-1.233962	-1.233962	-1.233962	11.722639
5	-1.172264	-1.172264	-1.172264	-1.172264	11.136507
5.5	-1.113651	-1.113651	-1.113651	-1.113651	10.579682
6	-1.057968	-1.057968	-1.057968	-1.057968	10.050698
6.5	-1.00507	-1.00507	-1.00507	-1.00507	9.5481627
7	-0.954816	-0.954816	-0.954816	-0.954816	9.0707546
7.5	-0.907075	-0.907075	-0.907075	-0.907075	8.6172169
8	-0.861722	-0.861722	-0.861722	-0.861722	8.186356
8.5	-0.818636	-0.818636	-0.818636	-0.818636	7.7770382
9	-0.777704	-0.777704	-0.777704	-0.777704	7.3881863
9.5	-0.738819	-0.738819	-0.738819	-0.738819	7.018777
10	-0.701878	-0.701878	-0.701878	-0.701878	6.6678382
10.5	-0.666784	-0.666784	-0.666784	-0.666784	6.3344462
11	-0.633445	-0.633445	-0.633445	-0.633445	6.0177239
11.5	-0.601772	-0.601772	-0.601772	-0.601772	5.7168377
12	-0.571684	-0.571684	-0.571684	-0.571684	5.4309959
12.5	-0.5431	-0.5431	-0.5431	-0.5431	5.1594461
13	-0.515945	-0.515945	-0.515945	-0.515945	4.9014738
69	-0.001651	-0.001651	-0.001651	-0.001651	0.0156809
69.5	-0.001568	-0.001568	-0.001568	-0.001568	0.0148968
70	-0.00149	-0.00149	-0.00149	-0.00149	0.014152
70.5	-0.001415	-0.001415	-0.001415	-0.001415	0.0134444
71	-0.001344	-0.001344	-0.001344	-0.001344	0.0127722

SEL (i+1,j)					
t (hari)	fungsi				c (mg/m <sup>3</sup> )
	k <sub>1</sub>	k <sub>2</sub>	k <sub>3</sub>	k <sub>4</sub>	
0					187.96533
0.5	0	0	0	0	187.96533
1	17.836407	17.390497	17.401645	16.966325	196.66425
1.5	22.62095	22.055426	22.069564	21.517472	207.69662
2	20.830997	20.310222	20.323242	19.814835	217.85601
2.5	16.117762	15.714818	15.724891	15.331517	225.71674
3	10.474747	10.212879	10.219425	9.9637762	230.82533
3.5	4.9350141	4.8116388	4.8147232	4.694278	233.23217
4	-0.015027	-0.014651	-0.014661	-0.014294	233.22484
4.5	-4.191909	-4.087111	-4.089731	-3.987423	231.18042
5	-7.573096	-7.383769	-7.388502	-7.203671	227.48698
5.5	-10.21548	-9.96009	-9.966474	-9.717153	222.50483
6	-12.20961	-11.90437	-11.912	-11.61401	216.55013
6.5	-13.65495	-13.31357	-13.32211	-12.98884	209.89054
7	-14.64709	-14.28091	-14.29007	-13.93259	202.74707
7.5	-15.27201	-14.89021	-14.89976	-14.52702	195.29882
8	-15.60398	-15.21388	-15.22363	-14.8428	187.68867
8.5	-15.70552	-15.31288	-15.3227	-14.93939	180.029
9	-15.62835	-15.23764	-15.24741	-14.86598	172.40696
9.5	-15.41466	-15.0293	-15.03893	-14.66272	164.88914
10	-15.09856	-14.72109	-14.73053	-14.36203	157.52549
10.5	-14.70734	-14.33966	-14.34885	-13.9899	150.35263
11	-14.26275	-13.90618	-13.9151	-13.567	143.39661
11.5	-13.78196	-13.43741	-13.44602	-13.10966	136.67507
12	-13.27844	-12.94648	-12.95478	-12.6307	130.1991
12.5	-12.7627	-12.44363	-12.45161	-12.14012	123.97466
13	-12.24286	-11.93678	-11.94444	-11.64563	118.00375
69	-0.041153	-0.040124	-0.04015	-0.039145	0.3813397
69.5	-0.039095	-0.038118	-0.038142	-0.037188	0.3622728
70	-0.037141	-0.036212	-0.036235	-0.035329	0.3441591
70.5	-0.035283	-0.034401	-0.034423	-0.033562	0.3269512
71	-0.033519	-0.032681	-0.032702	-0.031884	0.3106036

SEL (i+2,j)					
t (hari)	fungsi				c (mg/m <sup>3</sup> )
	k <sub>1</sub>	k <sub>2</sub>	k <sub>3</sub>	k <sub>4</sub>	
0					142.6266
0.5	0	0	0	0	142.6266
1	0	0	0	0	142.6266
1.5	2.7365056	2.6680929	2.6698033	2.6030154	143.96121
2	5.6537652	5.512421	5.5159546	5.3779674	146.71858
2.5	7.7065562	7.5138923	7.5187089	7.3306208	150.47711
3	8.621171	8.4056417	8.4110299	8.2006195	154.68171
3.5	8.4850918	8.2729645	8.2782677	8.0711784	158.81993
4	7.5266073	7.3384422	7.3431463	7.15945	162.4907
4.5	6.0024742	5.8524124	5.8561639	5.709666	165.41814
5	4.1456827	4.0420406	4.0446316	3.9434511	167.44002
5.5	2.1455713	2.091932	2.093273	2.0409077	168.48642
6	0.1444681	0.1408564	0.1409467	0.1374208	168.55688
6.5	-1.757971	-1.714022	-1.715121	-1.672215	167.69951
7	-3.497497	-3.41006	-3.412246	-3.326885	165.99376
7.5	-5.037521	-4.911583	-4.914731	-4.791784	163.53693
8	-6.362039	-6.202988	-6.206964	-6.05169	160.43413
8.5	-7.469679	-7.282937	-7.287606	-7.105299	156.79112
9	-8.368942	-8.159719	-8.164949	-7.960695	152.70954
9.5	-9.074541	-8.847677	-8.853349	-8.631873	148.28384
10	-9.604688	-9.36457	-9.370573	-9.136159	143.59958
10.5	-9.979144	-9.729666	-9.735903	-9.492349	138.73269
11	-10.21787	-9.962421	-9.968807	-9.719427	133.74938
11.5	-10.34011	-10.08161	-10.08807	-9.835709	128.70645
12	-10.36388	-10.10478	-10.11126	-9.858313	123.65193
12.5	-10.30558	-10.04794	-10.05438	-9.802864	118.62583
13	-10.17995	-9.925452	-9.931814	-9.68336	113.66101
69	-0.041485	-0.040448	-0.040474	-0.039462	0.3844202
69.5	-0.039411	-0.038426	-0.03845	-0.037489	0.3651992
70	-0.037441	-0.036505	-0.036528	-0.035614	0.3469393
70.5	-0.035569	-0.034679	-0.034702	-0.033833	0.3295923
71	-0.03379	-0.032945	-0.032966	-0.032142	0.3131127

SEL (i+3,j)					
t (hari)	fungsi				c (mg/m <sup>3</sup> )
	k <sub>1</sub>	k <sub>2</sub>	k <sub>3</sub>	k <sub>4</sub>	
0					108.20732
0.5	0	0	0	0	108.20732
1	0	0	0	0	108.20732
1.5	0	0	0	0	108.20732
2	0.4195745	0.4090852	0.4093474	0.3991072	108.41195
2.5	1.2016435	1.1716024	1.1723535	1.1430259	108.998
3	2.1404039	2.0868938	2.0882316	2.0359924	110.04188
3.5	3.0296784	2.9539364	2.9558299	2.8818869	111.51948
4	3.7183701	3.6254108	3.6277348	3.5369833	113.33295
4.5	4.1209207	4.0178977	4.0204733	3.9198971	115.34274
5	4.2084301	4.1032194	4.1058496	4.0031376	117.39522
5.5	3.9935618	3.8937228	3.8962188	3.7987509	119.3429
6	3.5154505	3.4275643	3.4297614	3.3439625	121.05741
6.5	2.8271444	2.7564657	2.7582327	2.6892327	122.43622
7	1.9862504	1.9365941	1.9378355	1.8893586	123.40493
7.5	1.0485846	1.02237	1.0230253	0.9974333	123.91633
8	0.0642929	0.0626856	0.0627257	0.0611566	123.94768
8.5	-0.92416	-0.901056	-0.901633	-0.879078	123.49697
9	-1.882679	-1.835612	-1.836789	-1.79084	122.57877
9.5	-2.785366	-2.715731	-2.717472	-2.649492	121.22033
10	-3.613809	-3.523464	-3.525722	-3.437523	119.45786
10.5	-4.356113	-4.24721	-4.249932	-4.143616	117.33336
11	-5.005813	-4.880668	-4.883797	-4.761624	114.89199
11.5	-5.560815	-5.421794	-5.42527	-5.289551	112.17995
12	-6.022396	-5.871836	-5.8756	-5.728616	109.2428
12.5	-6.394337	-6.234479	-6.238475	-6.082414	106.12424
13	-6.682173	-6.515119	-6.519295	-6.356209	102.86531
69	-0.041821	-0.040775	-0.040801	-0.039781	0.3875276
69.5	-0.03973	-0.038736	-0.038761	-0.037792	0.3681512
70	-0.037743	-0.0368	-0.036823	-0.035902	0.3497437
70.5	-0.035856	-0.03496	-0.034982	-0.034107	0.3322565
71	-0.034063	-0.033212	-0.033233	-0.032402	0.3156437

SEL (i+4,j)					
t (hari)	fungsi				c (mg/m <sup>3</sup> )
	k <sub>1</sub>	k <sub>2</sub>	k <sub>3</sub>	k <sub>4</sub>	
0					82.081645
0.5	0	0	0	0	82.081645
1	0	0	0	0	82.081645
1.5	0	0	0	0	82.081645
2	0	0	0	0	82.081645
2.5	0.0642903	0.062683	0.0627232	0.0611541	82.113
3	0.2354285	0.2295428	0.2296899	0.223944	82.22782
3.5	0.5158409	0.5029449	0.5032673	0.4906776	82.479399
4	0.8758718	0.853975	0.8545224	0.8331457	82.906566
4.5	1.2687036	1.236986	1.237779	1.2068147	83.52532
5	1.643866	1.6027693	1.6037968	1.5636761	84.327043
5.5	1.9566552	1.9077388	1.9089617	1.8612071	85.281315
6	2.1733378	2.1190044	2.1203627	2.0673197	86.341264
6.5	2.2729913	2.2161666	2.2175872	2.162112	87.449815
7	2.2470477	2.1908715	2.1922759	2.1374339	88.545713
7.5	2.0974966	2.0450592	2.0463701	1.9951781	89.568674
8	1.8344784	1.7886165	1.789763	1.7449903	90.46336
8.5	1.473769	1.4369247	1.4378458	1.4018767	91.182126
9	1.0344641	1.0086025	1.009249	0.9840016	91.68664
9.5	0.5370265	0.5236008	0.5239364	0.5108296	91.948551
10	0.0017539	0.0017101	0.0017112	0.0016684	91.949406
10.5	-0.552335	-0.538527	-0.538872	-0.525391	91.680029
11	-1.10824	-1.080534	-1.081227	-1.054179	91.139534
11.5	-1.651406	-1.61012	-1.611153	-1.570848	90.334134
12	-2.169894	-2.115647	-2.117003	-2.064044	89.275864
12.5	-2.654376	-2.588017	-2.589676	-2.524892	87.98131
13	-3.097985	-3.020535	-3.022472	-2.946861	86.470405
69	-0.042159	-0.041105	-0.041131	-0.040102	0.3906621
69.5	-0.040051	-0.03905	-0.039075	-0.038097	0.371129
70	-0.038048	-0.037097	-0.037121	-0.036192	0.3525725
70.5	-0.036146	-0.035242	-0.035265	-0.034383	0.3349439
71	-0.034339	-0.03348	-0.033502	-0.032664	0.3181967

SEL (i+5,j)					
t (hari)	fungsi				c (mg/m <sup>3</sup> )
	k <sub>1</sub>	k <sub>2</sub>	k <sub>3</sub>	k <sub>4</sub>	
0					62.254203
0.5	0	0	0	0	62.254203
1	0	0	0	0	62.254203
1.5	0	0	0	0	62.254203
2	0	0	0	0	62.254203
2.5	0	0	0	0	62.254203
3	0.0098448	0.0095986	0.0096048	0.0093645	62.259005
3.5	0.0439082	0.0428105	0.042838	0.0417663	62.280419
4	0.1140338	0.1111829	0.1112542	0.1084711	62.336034
4.5	0.2251324	0.2195041	0.2196448	0.2141502	62.445832
5	0.3739545	0.3646056	0.3648393	0.3557125	62.628212
5.5	0.5501779	0.5364234	0.5367673	0.5233395	62.896537
6	0.738719	0.720251	0.7207127	0.7026834	63.256814
6.5	0.9223742	0.8993149	0.8998914	0.8773797	63.706661
7	1.0842093	1.0571041	1.0577817	1.0313202	64.235437
7.5	1.209397	1.1791621	1.179918	1.1504011	64.825266
8	1.2864086	1.2542484	1.2550524	1.223656	65.452655
8.5	1.3075956	1.2749057	1.2757229	1.2438094	66.090377
9	1.2692695	1.2375377	1.238331	1.2073529	66.709407
9.5	1.1714108	1.1421255	1.1428576	1.1142679	67.280711
10	1.0171372	0.9917088	0.9923445	0.96752	67.776775
10.5	0.8120454	0.7917442	0.7922518	0.7724328	68.172814
11	0.5635141	0.5494263	0.5497785	0.5360252	68.447643
11.5	0.2800357	0.2730349	0.2732099	0.2663753	68.584218
12	-0.029383	-0.028648	-0.028667	-0.02795	68.569888
12.5	-0.355726	-0.346833	-0.347055	-0.338373	68.396398
13	-0.690369	-0.67311	-0.673541	-0.656692	68.059701
69	-0.0425	-0.041438	-0.041464	-0.040427	0.3938237
69.5	-0.040375	-0.039366	-0.039391	-0.038406	0.3741326
70	-0.038356	-0.037397	-0.037421	-0.036485	0.355426
70.5	-0.036439	-0.035528	-0.03555	-0.034661	0.3376547
71	-0.034617	-0.033751	-0.033773	-0.032928	0.320772

SEL (i+1,j+1)					
t (hari)	fungsi				c (mg/m <sup>3</sup> )
	k <sub>1</sub>	k <sub>2</sub>	k <sub>3</sub>	k <sub>4</sub>	
0					107.3104
0.5	0	0	0	0	107.3104
1	-0.298851	-0.29138	-0.291567	-0.284273	107.16464
1.5	3.7008851	3.608363	3.6106761	3.5203513	108.96959
2	7.0888585	6.911637	6.9160676	6.7430551	112.42686
2.5	8.5994917	8.3845044	8.3898791	8.1799977	116.62089
3	8.3681234	8.1589203	8.1641504	7.9599159	120.70207
3.5	6.9354785	6.7620916	6.7664263	6.5971572	124.08454
4	4.8476352	4.7264443	4.7294741	4.6111615	126.44876
4.5	2.5263936	2.4632338	2.4648128	2.403153	127.6809
5	0.2527966	0.2464767	0.2466347	0.2404649	127.80419
5.5	-1.80911	-1.763882	-1.765013	-1.720859	126.92187
6	-3.579873	-3.490376	-3.492613	-3.405242	125.17595
6.5	-5.035671	-4.909779	-4.912926	-4.790025	122.72002
7	-6.18618	-6.031526	-6.035392	-5.884411	119.70299
7.5	-7.059111	-6.882634	-6.887046	-6.714759	116.26022
8	-7.690116	-7.497863	-7.502669	-7.314983	112.50971
8.5	-8.116611	-7.913696	-7.918769	-7.720673	108.55119
9	-8.374277	-8.16492	-8.170154	-7.965769	104.467
9.5	-8.495293	-8.282911	-8.28822	-8.080882	100.3238
10	-8.507649	-8.294958	-8.300275	-8.092635	96.174573
10.5	-8.435081	-8.224204	-8.229476	-8.023607	92.060735
11	-8.297343	-8.089909	-8.095095	-7.892588	88.014074
11.5	-8.11064	-7.907874	-7.912943	-7.714993	84.058468
12	-7.888113	-7.69091	-7.69584	-7.503321	80.21139
12.5	-7.640309	-7.449301	-7.454076	-7.267605	76.485168
13	-7.375621	-7.19123	-7.19584	-7.015829	72.888035
69	-0.025576	-0.024937	-0.024953	-0.024329	0.2370017
69.5	-0.024298	-0.02369	-0.023705	-0.023112	0.2251517
70	-0.023083	-0.022506	-0.02252	-0.021957	0.2138941
70.5	-0.021929	-0.02138	-0.021394	-0.020859	0.2031994
71	-0.020832	-0.020311	-0.020324	-0.019816	0.1930394

SEL (i+2,j+1)					
t (hari)	fungsi				c (mg/m <sup>3</sup> )
	k <sub>1</sub>	k <sub>2</sub>	k <sub>3</sub>	k <sub>4</sub>	
0					114.17618
0.5	-2.31E-14	-2.31E-14	-2.31E-14	-1.42E-14	114.17618
1	0	0	0	0	114.17618
1.5	-0.045821	-0.044676	-0.044704	-0.043586	114.15383
2	1.1783949	1.148935	1.1496715	1.1209113	114.72854
2.5	3.0686773	2.9919604	2.9938783	2.9189834	116.22515
3	4.8463798	4.7252203	4.7282493	4.6099673	118.58876
3.5	6.0284797	5.8777677	5.8815355	5.7344029	121.52888
4	6.4452487	6.2841175	6.2881458	6.1308414	124.67227
4.5	6.1376158	5.9841754	5.9880114	5.8382152	127.66562
5	5.2531395	5.121811	5.1250942	4.9968848	130.2276
5.5	3.9725304	3.8732172	3.8757	3.7787454	132.16503
6	2.4671386	2.4054601	2.4070021	2.3467885	133.36827
6.5	0.879113	0.8571352	0.8576846	0.8362288	133.79702
7	-0.684362	-0.667253	-0.667681	-0.650978	133.46325
7.5	-2.149239	-2.095508	-2.096851	-2.044396	132.41505
8	-3.469402	-3.382666	-3.384835	-3.30016	130.72301
8.5	-4.620527	-4.505014	-4.507902	-4.395132	128.46955
9	-5.594288	-5.454431	-5.457928	-5.321392	125.74118
9.5	-6.393425	-6.23359	-6.237586	-6.081546	122.62307
10	-7.027847	-6.85215	-6.856543	-6.685019	119.19555
10.5	-7.511681	-7.323889	-7.328584	-7.145252	115.53206
11	-7.861154	-7.664625	-7.669538	-7.477677	111.69813
11.5	-8.093106	-7.890779	-7.895837	-7.698314	107.75108
12	-8.224024	-8.018424	-8.023564	-7.822846	103.74017
12.5	-8.269428	-8.062692	-8.067861	-7.866035	99.707126
13	-8.243528	-8.03744	-8.042592	-7.841399	95.68671
69	-0.035279	-0.034397	-0.034419	-0.033558	0.3269121
69.5	-0.033515	-0.032677	-0.032698	-0.03188	0.3105665
70	-0.03184	-0.031044	-0.031063	-0.030286	0.2950382
70.5	-0.030248	-0.029491	-0.02951	-0.028772	0.2802863
71	-0.028735	-0.028017	-0.028035	-0.027333	0.266272

SEL (i+3,j+1)					
t (hari)	fungsi				c (mg/m <sup>3</sup> )
	k <sub>1</sub>	k <sub>2</sub>	k <sub>3</sub>	k <sub>4</sub>	
0					98.168571
0.5	0	0	0	0	98.168571
1	0	0	0	0	98.168571
1.5	0	0	0	0	98.168571
2	-0.007021	-0.006846	-0.00685	-0.006679	98.165147
2.5	0.2741823	0.2673277	0.2674991	0.2608073	98.298867
3	0.9047236	0.8821055	0.8826709	0.86059	98.740106
3.5	1.7519789	1.7081794	1.7092744	1.6665151	99.594556
4	2.6189937	2.5535188	2.5551557	2.4912359	100.87185
4.5	3.3332572	3.2499257	3.252009	3.1706567	102.4975
5	3.7836012	3.6890111	3.6913759	3.5990324	104.34279
5.5	3.9230581	3.8249817	3.8274336	3.7316865	106.25608
6	3.7557075	3.6618148	3.6641621	3.5724994	108.08776
6.5	3.3192135	3.2362332	3.2383077	3.1572982	109.70656
7	2.668992	2.6022672	2.6039353	2.5387952	111.00825
7.5	1.8661977	1.8195428	1.8207092	1.7751623	111.9184
8	0.969737	0.9454935	0.9460996	0.922432	112.39135
8.5	0.0316456	0.0308545	0.0308743	0.0301019	112.40678
9	-0.905051	-0.882425	-0.88299	-0.860901	111.96538
9.5	-1.806819	-1.761649	-1.762778	-1.71868	111.08419
10	-2.649095	-2.582868	-2.584524	-2.519869	109.79221
10.5	-3.415227	-3.329846	-3.331981	-3.248628	108.12658
11	-4.095196	-3.992816	-3.995375	-3.895427	106.12933
11.5	-4.684321	-4.567213	-4.570141	-4.455814	103.84476
12	-5.182049	-5.052498	-5.055736	-4.929262	101.31745
12.5	-5.590889	-5.451117	-5.454611	-5.318159	98.590739
13	-5.91552	-5.767632	-5.771329	-5.626953	95.705706
69	-0.039348	-0.038364	-0.038389	-0.037429	0.3646162
69.5	-0.037381	-0.036446	-0.03647	-0.035557	0.3463854
70	-0.035512	-0.034624	-0.034646	-0.033779	0.3290661
70.5	-0.033736	-0.032893	-0.032914	-0.03209	0.3126128
71	-0.032049	-0.031248	-0.031268	-0.030486	0.2969821

SEL (i+4,j+1)					
t (hari)	fungsi				c (mg/m <sup>3</sup> )
	k <sub>1</sub>	k <sub>2</sub>	k <sub>3</sub>	k <sub>4</sub>	
0					78.536457
0.5	-1.07E-14	-1.07E-14	-1.07E-14	-1.07E-14	78.536457
1	-1.07E-14	-1.07E-14	-1.07E-14	-1.07E-14	78.536457
1.5	-1.07E-14	-1.07E-14	-1.07E-14	-1.07E-14	78.536457
2	-1.07E-14	-1.07E-14	-1.07E-14	-1.07E-14	78.536457
2.5	-0.001075	-0.001048	-0.001049	-0.001023	78.535933
3	0.0563203	0.0549123	0.0549475	0.0535729	78.5634
3.5	0.2251193	0.2194914	0.2196321	0.2141377	78.673192
4	0.5155201	0.5026321	0.5029543	0.4903724	78.924614
4.5	0.8962387	0.8738328	0.8743929	0.8525191	79.361715
5	1.3122806	1.2794736	1.2802938	1.2482659	80.001722
5.5	1.703783	1.6611884	1.6622533	1.6206704	80.832667
6	2.0193007	1.9688182	1.9700802	1.9207967	81.817491
6.5	2.2225167	2.1669538	2.1683428	2.1140995	82.901425
7	2.2937921	2.2364473	2.2378809	2.181898	84.020121
7.5	2.2285121	2.1727992	2.1741921	2.1198024	85.106979
8	2.0338933	1.9830459	1.9843171	1.9346774	86.09892
8.5	1.7253952	1.6822603	1.6833387	1.6412283	86.940406
9	1.3233978	1.2903128	1.29114	1.2588408	87.585834
9.5	0.8504563	0.8291949	0.8297264	0.80897	88.000607
10	0.3292206	0.3209901	0.3211959	0.3131608	88.161169
10.5	-0.219018	-0.213542	-0.213679	-0.208334	88.054353
11	-0.775244	-0.755863	-0.756347	-0.737426	87.676262
11.5	-1.323216	-1.290136	-1.290963	-1.258668	87.030922
12	-1.849649	-1.803407	-1.804563	-1.75942	86.128838
12.5	-2.344165	-2.28556	-2.287026	-2.229813	84.985576
13	-2.799111	-2.729133	-2.730883	-2.662567	83.620433
69	-0.041174	-0.040145	-0.04017	-0.039165	0.3815342
69.5	-0.039115	-0.038137	-0.038162	-0.037207	0.3624575
70	-0.037159	-0.03623	-0.036254	-0.035347	0.3443346
70.5	-0.035301	-0.034419	-0.034441	-0.033579	0.3271179
71	-0.033536	-0.032698	-0.032719	-0.0319	0.310762

SEL (i+1,j-1)					
t (hari)	fungsi				c (mg/m <sup>3</sup> )
	k <sub>1</sub>	k <sub>2</sub>	k <sub>3</sub>	k <sub>4</sub>	
0					107.40499
0.5	0	0	0	0	107.40499
1	-0.306521	-0.298857	-0.299049	-0.291568	107.2555
1.5	3.6792978	3.5873154	3.5896149	3.4998171	109.04991
2	7.059724	6.8832309	6.8876433	6.7153419	112.49298
2.5	8.5696018	8.3553617	8.3607177	8.1515659	116.67242
3	8.3416917	8.1331494	8.138363	7.9347736	120.74072
3.5	6.9142571	6.7414006	6.7457221	6.576971	124.11284
4	4.8317673	4.7109731	4.713993	4.5960677	126.46932
4.5	2.5151998	2.4523198	2.4538918	2.3925052	127.696
5	0.2453042	0.2391716	0.2393249	0.233338	127.81563
5.5	-1.81387	-1.768523	-1.769656	-1.725387	126.931
6	-3.582728	-3.49316	-3.495399	-3.407958	125.18368
6.5	-5.03727	-4.911338	-4.914487	-4.791546	122.72698
7	-6.186999	-6.032324	-6.036191	-5.885189	119.70954
7.5	-7.05948	-6.882993	-6.887405	-6.71511	116.26659
8	-7.690254	-7.497998	-7.502804	-7.315114	112.51601
8.5	-8.116657	-7.913741	-7.918814	-7.720717	108.55747
9	-8.374313	-8.164955	-8.170189	-7.965803	104.47327
9.5	-8.495363	-8.282979	-8.288289	-8.080949	100.33003
10	-8.507774	-8.295079	-8.300397	-8.092754	96.180743
10.5	-8.435265	-8.224383	-8.229655	-8.023782	92.066816
11	-8.297583	-8.090143	-8.095329	-7.892816	88.020038
11.5	-8.110929	-7.908156	-7.913225	-7.715268	84.064291
12	-7.888442	-7.691231	-7.696161	-7.503634	80.217053
12.5	-7.640669	-7.449652	-7.454428	-7.267947	76.490655
13	-7.376003	-7.191603	-7.196213	-7.016193	72.893336
69	-0.025578	-0.024939	-0.024955	-0.024331	0.2370203
69.5	-0.0243	-0.023692	-0.023707	-0.023114	0.2251693
70	-0.023085	-0.022507	-0.022522	-0.021958	0.2139108
70.5	-0.02193	-0.021382	-0.021396	-0.020861	0.2032152
71	-0.020834	-0.020313	-0.020326	-0.019817	0.1930545

SEL (i+2,j-1)					
t (hari)	fungsi				c (mg/m <sup>3</sup> )
	k <sub>1</sub>	k <sub>2</sub>	k <sub>3</sub>	k <sub>4</sub>	
0					114.17521
0.5	0	0	0	0	114.17521
1	0	0	0	0	114.17521
1.5	-0.046967	-0.045793	-0.045823	-0.044676	114.1523
2	1.172549	1.1432353	1.1439682	1.1153506	114.72416
2.5	3.0578773	2.9814304	2.9833416	2.9087102	116.21551
3	4.8326088	4.7117936	4.714814	4.5968681	118.5724
3.5	6.0142264	5.8638707	5.8676296	5.7208449	121.50557
4	6.4324979	6.2716855	6.2757058	6.1187126	124.64274
4.5	6.1275332	5.9743448	5.9781745	5.8286244	127.63117
5	5.2461456	5.114992	5.1182708	4.9902321	130.18974
5.5	3.9685194	3.8693065	3.8717868	3.7749301	132.12521
6	2.4657045	2.4040619	2.405603	2.3454244	133.32775
6.5	0.8797262	0.8577331	0.8582829	0.8368121	133.7568
7	-0.682239	-0.665183	-0.665609	-0.648958	133.42407
7.5	-2.146085	-2.092433	-2.093774	-2.041397	132.37741
8	-3.465612	-3.378972	-3.381138	-3.296555	130.68721
8.5	-4.616408	-4.500998	-4.503883	-4.391214	128.43576
9	-5.590063	-5.450311	-5.453805	-5.317373	125.70946
9.5	-6.389249	-6.229518	-6.233511	-6.077574	122.59338
10	-7.02382	-6.848225	-6.852615	-6.68119	119.16782
10.5	-7.507866	-7.32017	-7.324862	-7.141623	115.5062
11	-7.857581	-7.661142	-7.666053	-7.474279	111.67401
11.5	-8.089788	-7.887544	-7.8926	-7.695158	107.72857
12	-8.220959	-8.015435	-8.020573	-7.81993	103.71916
12.5	-8.266604	-8.059939	-8.065106	-7.863349	99.687493
13	-8.240932	-8.034909	-8.040059	-7.838929	95.668343
69	-0.035274	-0.034392	-0.034414	-0.033553	0.3268604
69.5	-0.03351	-0.032672	-0.032693	-0.031875	0.3105173
70	-0.031834	-0.031039	-0.031059	-0.030282	0.2949915
70.5	-0.030243	-0.029487	-0.029506	-0.028767	0.2802419
71	-0.028731	-0.028012	-0.02803	-0.027329	0.2662298

SEL (i+3,j-1)					
t (hari)	fungsi				c (mg/m <sup>3</sup> )
	k <sub>1</sub>	k <sub>2</sub>	k <sub>3</sub>	k <sub>4</sub>	
0					98.155045
0.5	0	0	0	0	98.155045
1	0	0	0	0	98.155045
1.5	0	0	0	0	98.155045
2	-0.007192	-0.007012	-0.007017	-0.006841	98.151537
2.5	0.2728979	0.2660754	0.266246	0.2595856	98.284631
3	0.9016858	0.8791437	0.8797072	0.8577005	98.724388
3.5	1.7472542	1.7035729	1.7046649	1.662021	99.576534
4	2.6131905	2.5478607	2.549494	2.4857158	100.851
4.5	3.3271915	3.2440117	3.2460912	3.164887	102.47369
5	3.7780245	3.6835739	3.6859351	3.5937277	104.31626
5.5	3.9185117	3.8205489	3.822998	3.7273618	106.22734
6	3.7524863	3.6586741	3.6610194	3.5694353	108.05745
6.5	3.3173963	3.2344614	3.2365348	3.1555696	109.67536
7	2.6684995	2.601787	2.6034548	2.5383267	110.9768
7.5	1.8668543	1.8201829	1.8213497	1.7757868	111.88728
8	0.9713221	0.947039	0.9476461	0.9239398	112.361
8.5	0.0339313	0.033083	0.0331042	0.0322761	112.37755
9	-0.902277	-0.87972	-0.880284	-0.858262	111.9375
9.5	-1.803739	-1.758646	-1.759773	-1.715751	111.05781
10	-2.64586	-2.579713	-2.581367	-2.516792	109.7674
10.5	-3.411952	-3.326653	-3.328786	-3.245513	108.10338
11	-4.091969	-3.98967	-3.992227	-3.892358	106.1077
11.5	-4.681203	-4.564173	-4.567099	-4.452848	103.82465
12	-5.17908	-5.049603	-5.05284	-4.926438	101.29878
12.5	-5.588095	-5.448393	-5.451885	-5.315501	98.573437
13	-5.912911	-5.765089	-5.768784	-5.624472	95.689676
69	-0.039344	-0.038361	-0.038385	-0.037425	0.3645804
69.5	-0.037377	-0.036443	-0.036466	-0.035554	0.3463513
70	-0.035508	-0.034621	-0.034643	-0.033776	0.3290338
70.5	-0.033733	-0.032889	-0.032911	-0.032087	0.3125821
71	-0.032046	-0.031245	-0.031265	-0.030483	0.296953

SEL (i+4,j-1)					
t (hari)	fungsi				c (mg/m <sup>3</sup> )
	k <sub>1</sub>	k <sub>2</sub>	k <sub>3</sub>	k <sub>4</sub>	
0					78.524005
0.5	0	0	0	0	78.524005
1	0	0	0	0	78.524005
1.5	0	0	0	0	78.524005
2	0	0	0	0	78.524005
2.5	-0.001101	-0.001073	-0.001074	-0.001047	78.523468
3	0.0560563	0.0546549	0.0546899	0.0533218	78.550807
3.5	0.2243507	0.2187419	0.2188821	0.2134066	78.660224
4	0.5140967	0.5012443	0.5015656	0.4890185	78.910952
4.5	0.8941956	0.8718407	0.8723996	0.8505756	79.347057
5	1.309809	1.2770638	1.2778824	1.2459149	79.985858
5.5	1.7011567	1.6586277	1.659691	1.6181721	80.815522
6	2.0168004	1.9663804	1.9676409	1.9184184	81.799127
6.5	2.2203772	2.1648678	2.1662555	2.1120644	82.882018
7	2.2921755	2.2348711	2.2363038	2.1803603	83.999925
7.5	2.2275035	2.1718159	2.1732081	2.1188431	85.086291
8	2.0335105	1.9826727	1.9839437	1.9343133	86.078046
8.5	1.7256046	1.6824645	1.683543	1.6414274	86.919633
9	1.3241319	1.2910286	1.2918562	1.2595391	87.56542
9.5	0.8516293	0.8303386	0.8308709	0.8100858	87.980764
10	0.3307405	0.322472	0.3226787	0.3146066	88.142068
10.5	-0.21724	-0.211809	-0.211945	-0.206643	88.036119
11	-0.773291	-0.753959	-0.754442	-0.735569	87.65898
11.5	-1.32116	-1.288131	-1.288957	-1.256713	87.014643
12	-1.847548	-1.80136	-1.802514	-1.757423	86.113583
12.5	-2.342068	-2.283516	-2.28498	-2.227819	84.971343
13	-2.797056	-2.727129	-2.728877	-2.660612	83.607203
69	-0.041172	-0.040142	-0.040168	-0.039163	0.3815147
69.5	-0.039113	-0.038135	-0.03816	-0.037205	0.362439
70	-0.037158	-0.036229	-0.036252	-0.035345	0.344317
70.5	-0.0353	-0.034417	-0.034439	-0.033578	0.3271012
71	-0.033535	-0.032696	-0.032717	-0.031899	0.3107461